



**Vlaanderen**  
is milieu

# Milieuschadetekosten van verschillende technologieën voor woningverwarming



# Milieuschadekosten van verschillende technologieën voor woningverwarming

Sander de Bruyn, Reinier van der Veen, Marisa Korteland, Marijn Bijleveld

CE Delft

**Studie uitgevoerd in opdracht van MIRA,  
Milieurapport Vlaanderen**

Maart 2019





## INHOUDSTAFEL

DOCUMENTBESCHRIJVING .....	4
Inhoudstafel.....	5
Inhoudstafel figuren .....	8
Inhoudstafel tabellen .....	9
Samenvatting.....	13
Summary .....	19
1 Inleiding.....	25
1.1 Aanleiding .....	25
1.2 Doel van het project en subdoelen.....	25
1.3 Methodologische aanpak op hoofdlijnen .....	26
1.4 Afbakening .....	27
1.5 Leeswijzer.....	27
2 Kwantificering van de milieuschadetekosten .....	30
2.1 Inleiding.....	30
2.2 Waarderingsgrondslagen voor milieueffecten .....	30
2.3 Overzicht van literatuur rondom milieuschadetekosten .....	31
2.3.1 Grote Europese onderzoeksprojecten naar de impact-pathwaybenadering .....	31
2.3.2 Milieuprijzen en schadetekostenkentalen .....	32
2.3.3 VITO (2010) .....	33
2.3.4 Ricardo-AEA (2014) .....	34
2.3.5 CE Delft (2017a) .....	34
2.3.6 MethodenKonvention (2012) .....	35
2.3.7 Irish damage costs.....	36
2.3.8 Discussie en conclusie.....	36
2.4 Verbijzondering naar woningverwarming in Vlaanderen van schadetekosten van fijn stof, SO <sub>2</sub> , NO <sub>x</sub> , NMVOS en NH <sub>3</sub> .....	37
2.4.1 Methodiek op hoofdlijnen .....	37
2.4.2 Aanpassing Concentration Response Functies .....	38
2.4.3 Aanpassing bevolkingsopbouw .....	39
2.4.4 Aanpassing achtergrondconcentraties .....	39
2.4.5 Aanpassing van de waardering .....	40
2.4.6 Toepassing karakterisatiefactoren.....	41
2.4.7 Differentiatie naar woningverwarming .....	42
2.5 Gehanteerde milieuschadetekosten in deze studie.....	43
2.5.1 Resultaten: gemiddelden voor Vlaanderen .....	43
2.5.2 Resultaten: specifiek voor woningverwarming.....	44



3	Bepalen van de huidige emissies van woningverwarming .....	45
3.1	Inleiding.....	45
3.2	Methodiek voor bepaling emissies .....	45
3.3	Gebruikte gegevens voor de berekening van de directe emissies .....	48
3.3.1	Aantal wooneenheden per energiedrager.....	48
3.3.2	Totaal verbruik per energiedrager .....	50
3.3.3	Toedeling energieverbruik aan de verwarmingstoestellen .....	51
3.3.4	Emissiefactoren.....	54
3.4	Resultaten: directe emissies .....	55
3.4.1	Emissies voor 2015.....	55
3.4.2	CO <sub>2</sub> -emissies van houtstook .....	58
3.5	Bepaling van de indirecte emissies .....	60
3.6	Emissiefactoren indirecte emissies.....	62
3.7	Resultaten: omvang indirecte emissies woningverwarming Vlaanderen.....	65
4	Inschatten van emissies van woningverwarming in 2030 .....	70
4.1	Inleiding.....	70
4.2	Aantal wooneenheden in 2030.....	70
4.2.1	Nieuwbouw .....	71
4.2.2	Vervanging van installaties .....	72
4.3	Totaal verbruik per energiedrager in 2030 .....	74
4.4	Verbruiksaandelen per energiedrager in 2030 .....	76
4.5	Verwachte directe emissies in 2030 .....	76
4.6	Verwachte indirecte emissies in 2030 .....	78
5	Berekening van milieuschadekosten .....	82
5.1	Inleiding.....	82
5.2	Milieuschadekosten per installatie per eenheid warmte .....	82
5.2.1	Vergelijking van de milieuschadekosten voor de meest recente typen toestellen .....	83
5.2.2	Vergelijking van de milieuschadekosten voor verschillende leeftijden.....	84
5.2.3	Vergelijking van de milieuschadekosten voor verschillende soorten hout .....	86
5.3	Totale milieuschadekosten van woningverwarming in Vlaanderen .....	88
5.3.1	Resultaten 2015: Milieuschadekosten directe emissies .....	88
5.3.2	Resultaten 2015: Milieuschadekosten totale emissies.....	91
5.3.3	Resultaten 2030: Milieuschadekosten directe emissies .....	94
5.3.4	Resultaten 2030: Milieuschadekosten totale emissies.....	96
6	Scenarioanalyse .....	99
6.1	Inleiding.....	99
6.2	Scenario 1 – Aanpassing vervangingsgraad alle installaties .....	99
6.3	Scenario 2 – Handhaving huidige brandstofmix in 2030 .....	101



6.4	Scenario 3 – Vergelijking houtinstallaties en houttypen en overschakeling op lokale pellets ....	102
6.5	Scenario 4 – Rookgasreiniging bij houtinstallaties.....	102
6.5.1	Katalysator bij houtkachels .....	103
6.5.2	Filter bij houtkachels en -ketels .....	103
6.6	Scenario 5 – Nieuwste installatietypen en geen gebruik van open haarden .....	104
7	Conclusies .....	106
	Referenties .....	111
bijlage 1	Definities .....	116
bijlage 2	Emissiefactoren van energiedragers.....	118
bijlage 3	Overzicht studies schadekosten.....	132
bijlage 4	Extra uitwerkingen milieuschadekosten.....	135
bijlage 5	Rendementen houtgestookte installaties.....	141



## INHOUDSTAFEL FIGUREN

figuur 1:	overzicht van milieuschadeprijzen van diverse technieken en leeftijdsklassen van verwarmingstoestellen in euro's per GJ geleverde warmte (logaritmische schaal) .....	15
figuur 2:	overzicht van milieuschadeprijzen van diverse technieken van verwarmingstoestellen in euro's per GJ geleverde warmte: meest moderne toestellen (normale schaal).....	16
figuur 3:	milieuschadeprijzen door totale emissies voor woningverwarming in Vlaanderen in 2015 gerekend met de centrale waarde voor milieuschadeprijzen – verdeling over emissiestoffen ....	17
figuur 4:	milieuschadeprijzen door totale emissies voor woningverwarming in Vlaanderen in 2015 gerekend met de centrale waarde voor milieuschadeprijzen – verdeling over energiedragers ...	17
figure 5:	environmental damage costs of space-heating technologies by type and age class (€/GJ heat output, logarithmic scale).....	21
figure 6:	environmental damage costs of space-heating technologies: most advanced appliances (€/GJ heat output, normal scale) .....	22
figure 7:	environmental damage costs of total emissions from domestic space heating in Flanders in 2015, calculated using central damage-cost value: breakdown by pollutant.....	23
figure 8:	environmental damage costs of total emissions from domestic space heating in Flanders in 2015, calculated using central damage-cost value: breakdown by energy carrier.....	23
figuur 9:	aanpak in deze studie voor bepaling milieuschadeprijzen: onderlinge vergelijking installatietype en energiedrager en totaal voor Vlaanderen .....	27
figuur 10:	aanpak bij berekening van emissies .....	46
figuur 11:	aandelen energiedragers/warmtetechnieken in totaal aantal wooneenheden voor hoofdverwarming in Vlaamse huishoudens in 2015 .....	49
figuur 12:	aandeel van energiedragers in directe emissies van woningverwarming in Vlaanderen in 2015 ..	55
figuur 13:	gemiddelde bijdrage van houtinstallatietypen aan directe emissies van PM <sub>2,5</sub> door houtverbranding voor woningverwarming in Vlaanderen in 2015 (percentages).....	58
figuur 14:	tijdsverloop en koolstofgehalte in bos, bij diverse schaalgrootte en mate van boskap (AEBIOM et al., 2013) .....	59
figuur 15:	voorbeeld van proceskaart: de indirecte CO <sub>2</sub> -emissies afkomstig uit de voor keten van aardgas.	65
figuur 16:	aandeel van energiedragers in indirecte emissies van woningverwarming in Vlaanderen in 2015 .....	67
figuur 17:	aandeel van energiedragers in totale emissies van woningverwarming in Vlaanderen in 2015 ...	69
figuur 18:	aandelen energiedragers/warmtetechnieken voor hoofdverwarming in Vlaamse huishoudens in 2030 .....	74
figuur 19:	milieuschadeprijzen door directe emissies voor woningverwarming in Vlaanderen in 2015 gerekend met de centrale waarde voor milieuschadeprijzen – verdeling over emissiestoffen ....	90
figuur 20:	milieuschadeprijzen door directe emissies voor woningverwarming in Vlaanderen in 2015 gerekend met de centrale waarde voor milieuschadeprijzen – verdeling over energiedragers ...	90
figuur 21:	milieuschadeprijzen door totale emissies voor woningverwarming in Vlaanderen in 2015 gerekend met de centrale waarde voor milieuschadeprijzen – verdeling over emissiestoffen ....	92

////////////////////////////////////



figuur 22: milieuschadeposten door totale emissies voor woningverwarming in Vlaanderen in 2015 gerekend met de centrale waarde voor milieuschadeposten – verdeling over energiedragers ...	93
figuur 23: aandelen houtinstallaties in de milieuschadeposten van de totale emissies van houtverbruik voor woningverwarming in Vlaanderen in 2015 .....	94
figuur 24: milieuschadeposten door directe emissies voor woningverwarming in Vlaanderen in 2030 gerekend met de centrale waarde voor milieuschadeposten – verdeling over emissiestoffen ....	96
figuur 25: milieuschadeposten door directe emissies voor woningverwarming in Vlaanderen in 2030 gerekend met de centrale waarde voor milieuschadeposten – verdeling over energiedragers ...	96
figuur 26: milieuschadeposten door totale emissies voor woningverwarming in Vlaanderen in 2030 gerekend met de centrale waarde voor milieuschadeposten – verdeling over emissiestoffen ....	98
figuur 27: milieuschadeposten door totale emissies voor woningverwarming in Vlaanderen in 2030 gerekend met de centrale waarde voor milieuschadeposten – verdeling over energiedragers ...	98
figuur 28: overzicht van milieuschadeposten van diverse technieken en leeftijdsklassen van verwarmingstoestellen in euro's per GJ geleverde warmte (logaritmische schaal) .....	107
figuur 29: overzicht van milieuschadeposten van diverse technieken van verwarmingstoestellen in euro's per GJ geleverde warmte: meest moderne toestellen (normale schaal).....	108

## INHOUDSTAFEL TABELLEN

tabel 1: overzicht van berekende schadepostenkengetallen woningverwarming Vlaanderen, uitsluitend waarden voor emissies die > 0,1% van de totale milieuschadeposten veroorzaken .....	14
tabel 2: overzicht van de ontwikkeling van milieuschadeposten (M€/jaar) door ruimteverwarming bij diverse varianten en vergeleken ten opzichte van de huidige schadeposten .....	18
Table 3: damage cost indices calculated for emissions from domestic heating in Flanders (only for emissions causing > 0.1% of total environmental damage costs).....	20
Table 4: trends in environmental damage costs (M€/a) due to domestic space heating in alternative variants compared with current estimates.....	24
tabel 5: overzicht van schadeschattingen gedifferentieerd naar hoogte van de schoorsteen voor Duitsland en EU27 volgens de MethodenKonvention (UBA, 2012) in euro's (2010) per ton.....	35
tabel 6: overzicht van voornaamste databronnen en scope van de aanpassingen op de NEEDS-resultaten in deze studie .....	38
tabel 7: aanpassingen waarderingsstructuur.....	41
tabel 8: overzicht gehanteerde schadepostenverhoudingen uit Duitsland in euro's (2010) per ton emissie ...	42
tabel 9: gemiddelde schadeposten in Vlaanderen voor emissies naar lucht vanuit een gemiddelde schoorsteen op een gemiddelde locatie, prijzen in € <sub>2015</sub> /kg emissie.....	43
tabel 10: schadeposten speciaal voor woningverwarming in Vlaanderen voor directe emissies door woningverwarming .....	44
tabel 11: aantal wooneenheden en totaal verbruik per energiedrager voor woningverwarming in Vlaanderen in 2015 .....	49
tabel 12: inverse rendementen van elektriciteitsverbruikende installaties (CE Delft, 2017b) .....	50
tabel 13: percentages wooneenheden per installatietype voor alle energiedragers (VITO, 2011; VITO, 2017a).....	52



tabel 37: milieuschadeposten per energiedrager voor woningverwarming in Vlaanderen in 2015, in mln euro's gerekend met de centrale waarde voor milieuschadeposten, totale emissies .....	92
tabel 38: milieuschadeposten van houtinstallaties uitgesplitst naar houttype in Vlaanderen in 2015 in mln euro's gerekend met de centrale waarde voor milieuschadeposten, totale emissies .....	93
tabel 39: milieuschadeposten ten gevolge van directe emissies per energiedrager voor woningverwarming in Vlaanderen in 2030 in mln euro's gerekend met de centrale waarde voor milieuschadeposten	95
tabel 40: milieuschadeposten ten gevolge van totale emissies (direct én indirect) per energiedrager voor woningverwarming in Vlaanderen in 2030 in mln euro's gerekend met de centrale waarde voor milieuschadeposten .....	97
tabel 41: vergelijking milieuschadeposten van een halvering van de vervangingsgraad ten opzichte van het 2030-scenario voor woningverwarming in Vlaanderen in 2030 in mln euro's gerekend met de centrale waarde voor milieuschadeposten .....	100
tabel 42: vergelijking milieuschadeposten van diverse vervangingsgraden voor alleen houtgestookte installaties voor woningverwarming in Vlaanderen in 2030 ten opzichte van het 2030-scenario in mln euro's gerekend met de centrale waarde voor milieuschadeposten .....	100
tabel 43: totale milieuschadeposten voor woningverwarming in Vlaanderen in 2030, in mln euro's gerekend met de centrale waarde voor milieuschadeposten, vergelijking 2030-scenario met een fictief scenario waarbij de brandstofmix voor woning-verwarming onveranderd blijft.....	101
tabel 44: totale milieuschadeposten voor woningverwarming in Vlaanderen, in mln euro's gerekend met de centrale waarde voor milieuschadeposten, vergelijking huidige situatie en scenario 3 (alleen lokale houtpellets in houtinstallaties) .....	102
tabel 45: totale milieuschadeposten voor woningverwarming in Vlaanderen, in mln euro's gerekend met de centrale waarde voor milieuschadeposten, vergelijking huidige situatie en scenario 4a (katalysator bij houtkachels) .....	103
tabel 46: totale milieuschadeposten voor woningverwarming in Vlaanderen, in mln euro's gerekend met de centrale waarde voor milieuschadeposten, vergelijking huidige situatie en scenario 4b (filter bij houtkachels en -ketels) .....	104
tabel 47: totale milieuschadeposten voor woningverwarming in Vlaanderen, in mln euro's gerekend met de centrale waarde voor milieuschadeposten, vergelijking huidige situatie en scenario 5 (nieuwste installatietypen en geen gebruik open haarden) .....	105
tabel 48: overzicht van de ontwikkeling van milieuschadeposten (M€/jaar) door ruimteverwarming bij diverse varianten en vergeleken ten opzichte van de huidige schadeposten .....	109
tabel 49: overzicht emissiestoffen (VITO, 2017a; VMM, 2017a) .....	119
tabel 50: overzicht van emissiefactordata van huishoudelijke verwarmingsinstallaties uit verschillende bronnen.....	120
tabel 51: vergelijking van emissiefactoren in kg/PJ voor open haard en houtkachels in verschillende bronnen. De brede ranges worden veroorzaakt door variaties in metingen, veroorzaakt door verschillende meetcondities en installatiekenmerken. ....	123
tabel 52: verwachte aandelen van technologieën in elektriciteitsproductie in België in 2030 (Federaal Planbureau 2017; eigen aannames) .....	125
tabel 53: emissiefactoren voor directe emissies van aardgas (kg/PJ) (VMM, 2017a) .....	127
tabel 54: emissiefactoren voor directe emissies van stookolie (kg/PJ) (VMM, 2017a) .....	128



tabel 55: emissiefactoren voor directe emissies van hout – gemiddelden* voor verschillende houttypen (kg/PJ) (VMM, 2017a) .....	129
tabel 56: emissiefactoren voor directe emissies van hout – gemiddelden* voor verschillende installatietypen (kg/PJ) (VMM, 2017a) .....	130
tabel 57: emissiefactoren voor directe emissies van propaan/butaan/LPG en steenkool, en voor indirecte emissies van elektriciteit (kg/PJ) (VMM, 2017a).....	131
tabel 58: overzicht van de aanpassingen aan de berekeningen van milieuprijzen voor België in NEEDS (2008) voor deze studie .....	136
tabel 59: waardering in €/t emissies in het jaar 2010 voor menselijke gezondheid met prijzen uit het jaar 2000 volgens de NEEDS Excel-tool.....	136
tabel 60: factoren gebruikt voor ophoging van de schadekosten voor gezondheid uit NEEDS door veranderingen in de CRF, bevolkingsomvang en bevolkingssamenstelling .....	138
tabel 61: overzicht van prijzen gehanteerd in de berekening van milieuschadeprijzen in NEEDS (2008) en de huidige studie gebaseerd op CE Delft (2017a).....	139
tabel 62: emissies van luchtvervuilende emissies, aanname modellering MET-NO en actuele waarden.....	139
tabel 63: inschatting schadelijkheid van emissies op het thema menselijke gezondheid in vergelijking met de NEEDS-modelresultaten voor 2010 .....	140
tabel 64: rendementen van houtverbrandingsinstallaties.....	141

## SAMENVATTING

Woningverwarming draagt bij aan luchtverontreiniging in de bebouwde omgeving. Luchtverontreiniging, en dan met name de uitstoot van kleine stofdeeltjes ( $PM_{2,5}$ ) is door de WHO bestempeld als een belangrijke doodsoorzaak in veel landen. Luchtvervuiling is vooral schadelijk in de bebouwde omgeving, omdat mensen daar wonen en werken en zo de vervuilde lucht inademen. Naast de gezondheidsschade leidt luchtverontreiniging door woningverwarming ook tot schade aan ecosystemen en gebouwen en draagt het verstoken van fossiele brandstoffen bij aan klimaatverandering.

In de economische wetenschap is er in toenemende mate aandacht voor het kwantificeren én het monetair waarderen van deze schade. Deze schade kan bestaan uit veel categorieën ziektes aan de luchtwegen en het cardiovasculaire systeem bij emissies van fijn stof en andere stoffen, negatieve impacts op ecosystemen en menselijke gezondheid door het ontstaan van ozonsmog, schade aan gebouwen en cultureel erfgoed door fijn stof en andere pollutanten, schade aan de natuur door de vermestende werking van stikstofoxiden ( $NO_x$ ) en de kosten van het voorkomen van klimaatverandering. Door deze schade leidt luchtverontreiniging tot een lagere welvaart. Deze studie onderzoekt de milieuschadetekosten ten gevolge van woningverwarming in Vlaanderen met als doel inzicht te krijgen welke milieuschadetekosten samenhangen met woningverwarming in Vlaanderen en hoe de onderlinge verhouding in milieuschadetekosten is voor de verschillende manieren om een woning te verwarmen.

De bepaling van de milieuschadetekosten valt in principe uiteen in vier stappen:

- 1 Emissies: hoeveel emissies ontstaan er daadwerkelijk bij woningverwarming uitgesplitst per verwarmingstechniek en brandstofsoort?
- 2 Verspreiding: Waar komen deze emissies terecht?
- 3 Effecten: Welke effecten hebben deze emissies op mensen, dieren en ecosystemen?
- 4 Waardering: Hoe waarderen we deze effecten?

Een onderzoek waarbij alle vier de stappen worden doorlopen is normaliter zeer arbeidsintensief en afhankelijk van verspreidings- en dosis-responsemodellen. Daarom worden in de meeste onderzoeken naar milieuschadetekosten Stappen 2 tot 4 samengenomen in zogeheten ‘Schadetekostenkengetallen’. Deze kengetallen geven per land specifieke gemiddelden voor de relatie tussen emissies op een gemiddelde locatie, via verspreiding tot de waardering van de effecten. Schadetekostenkengetallen worden uitgedrukt in €/kg emissies.

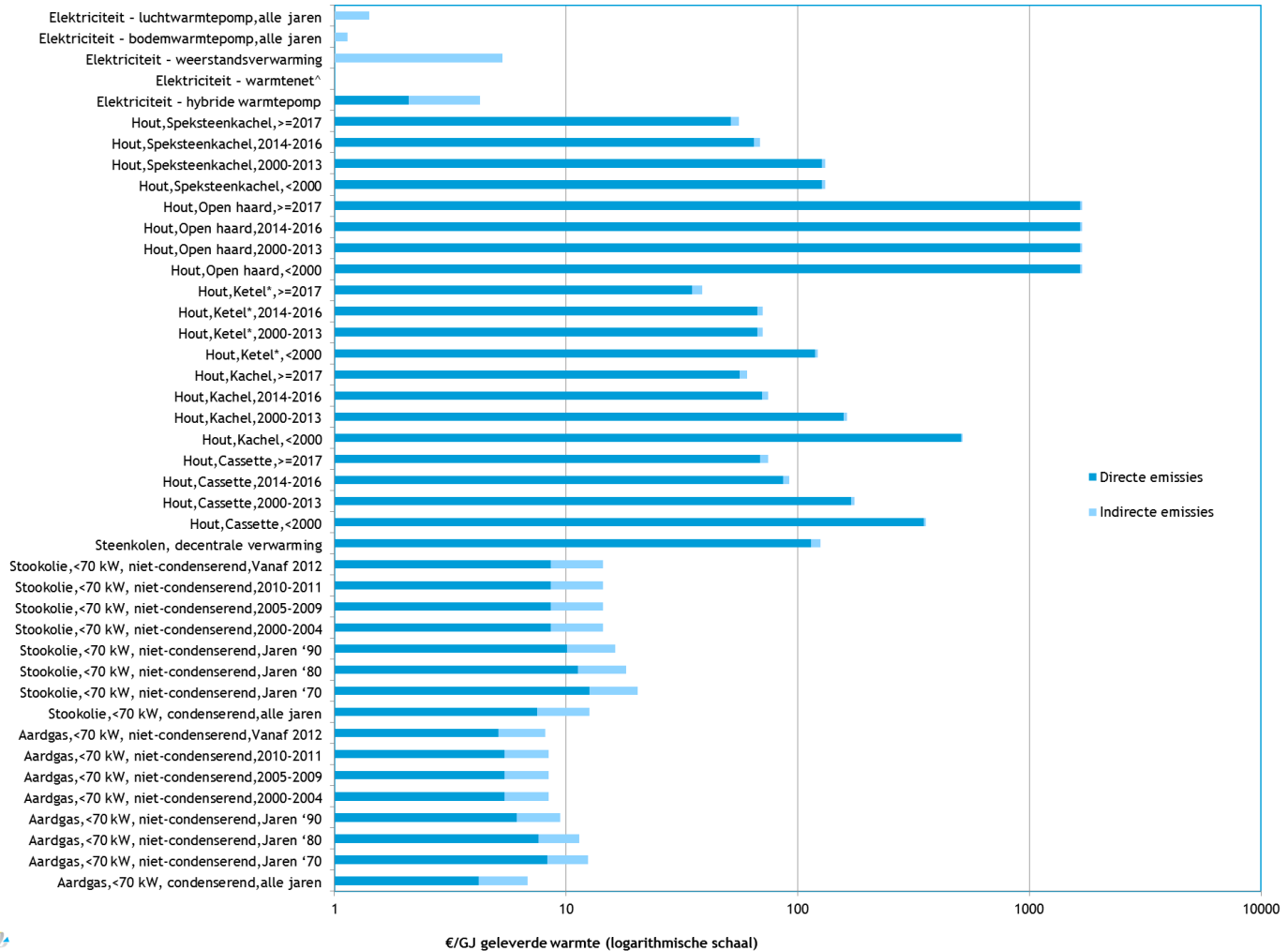
In dit onderzoek is er op basis van bestaande literatuur naar schadetekostenkengetallen en de nieuwste WHO-inzichten over de schadelijkheid van milieuvuiling een berekening gemaakt van de meest toepasselijke milieuschadetekosten voor woningverwarming in Vlaanderen. Tabel 1 geeft de schadetekostenkengetallen weer die op basis van dit onderzoek zijn berekend. De schadetekosten van  $PM_{2,5}$ ,  $PM_{10}$  en  $NO_x$  verschillen tussen stedelijke en landelijke omgeving, waarbij schadetekosten in stedelijke gebieden hoger zijn dan die op het platteland. Dat komt door de hogere bevolkingsdichtheid in stedelijke gebieden.





haarden is ongeveer 250 maal schadelijker dan verwarming met moderne condenserende gasgestookte toestellen.

figuur 1: overzicht van milieuschadeprijzen van diverse technieken en leeftijdsklassen van verwarmingstoestellen in euro's per GJ geleverde warmte (logaritmische schaal)

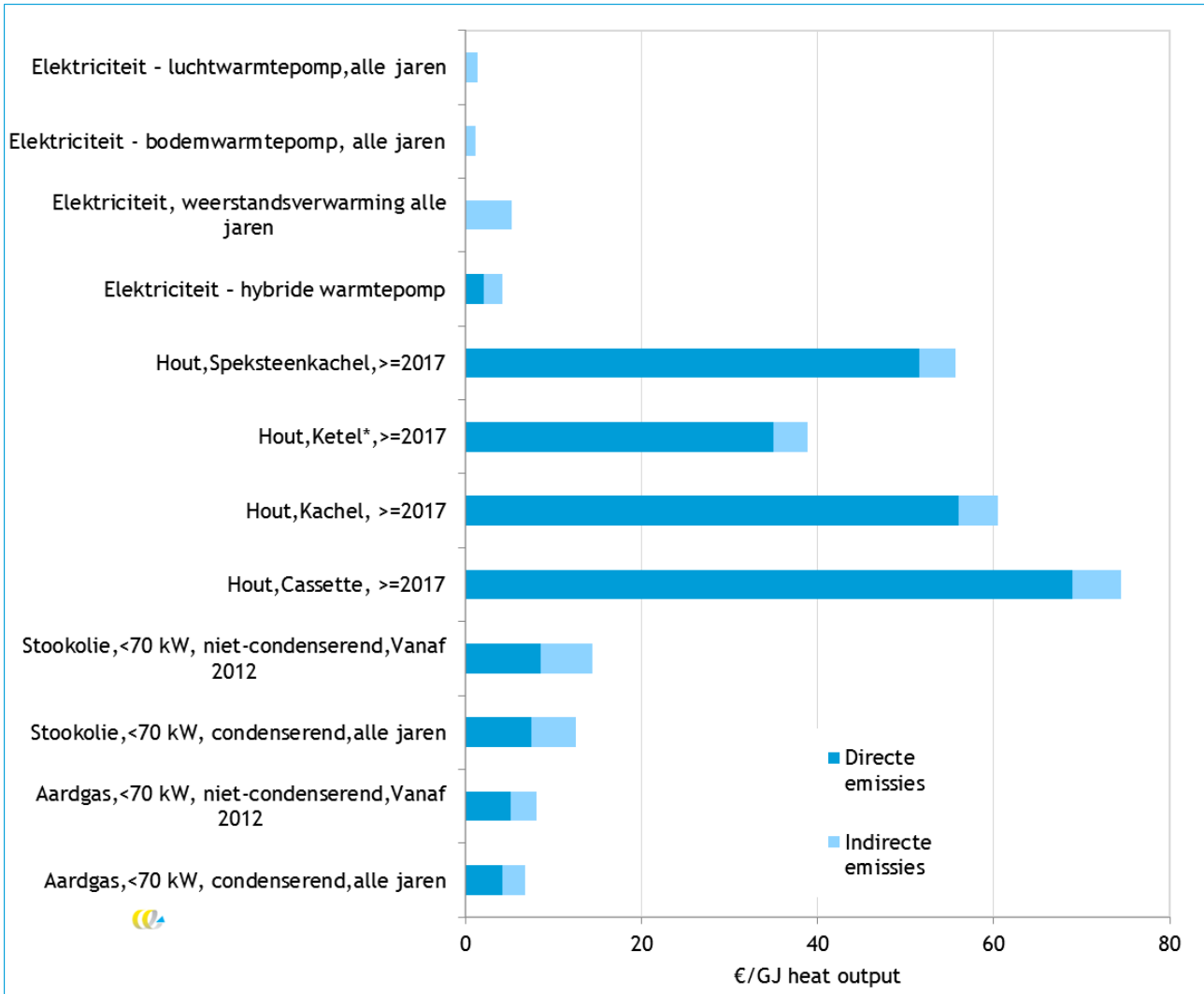


Noten: \* Voor houtgestookte ketels is een gemiddelde genomen van de brandstof met de hoogste emissies en de brandstof met de laagste emissies. Effecten van houtgestookte installaties zijn inclusief schadeprijzen voor (biogene) CO<sub>2</sub>-emissies.  
 ^ Het elektriciteitsverbruik van een warmtenet betreft de elektriciteit die nodig is om aard- of restwarmte te leveren aan huishoudens. Er is geen rekening gehouden met een dervingsfactor voor eventuele rendementsverliezen bij de installatie die restwarmte levert.

In figuur 2 is eenzelfde onderverdeling gemaakt, maar dan alleen met de nieuwste toestellen die per brandstof kunnen worden ingezet. Hieruit blijkt dat de toestellen die gebruik maken van warmtepompen de laagste milieuschadeprijzen kennen. Uit deze figuur blijkt ook dat de houtgestookte toestellen voor ruimteverwarming, ook de meest moderne kachels en ketels, nog steeds milieuschadeprijzen kennen die een factor 5 tot 12 hoger zijn dan de milieuschadeprijzen van de schoonste gasgestookte alternatieven (een condenserende ketel).



figuur 2: overzicht van milieuschadecosten van diverse technieken van verwarmingstoestellen in euro's per GJ geleverde warmte: meest moderne toestellen (normale schaal)



Noot: \* Voor houtgestookte ketels is een gemiddelde genomen van de brandstof met de hoogste emissies en de brandstof met de laagste emissies. Effecten van houtgestookte installaties zijn inclusief schadecosten voor (biogene) CO<sub>2</sub>-emissies.

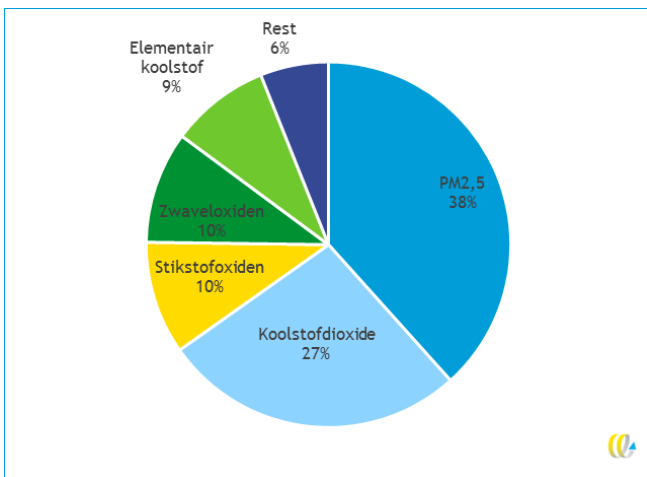
Op basis van deze cijfers en de voorkomens van de diverse technieken in de Vlaamse huishoudens, is een inschatting gemaakt van de totale milieuschadecosten in Vlaanderen. In 2015 bedroeg de totale milieuschadecost ten gevolge van woningverwarming in Vlaanderen 2,6 miljard, waarbij 2,1 miljard het gevolg is van directe emissies en ongeveer 0,5 miljard het gevolg van de in dit onderzoek onderzochte indirecte emissies. In figuur 3 is de verdeling van de totale kosten over emissiestoffen te zien, en in figuur 4 de verdeling over energiedragers. De grootste oorzaak van de milieuschadecosten betreft emissies van fijn stof (PM<sub>2,5</sub>) die ongeveer 38% van de berekende milieuschadecosten beslaat voor de totale emissies. Daarnaast is ook CO<sub>2</sub> belangrijk voor ongeveer 27% van de totale milieuschadecosten. Het gebruik van hout als middel voor woningverwarming is in zijn totaliteit verantwoordelijk voor ongeveer 50% van de totale milieuschadecosten (en 60% van de milieuschade door de directe emissies). Dit ondanks het feit dat houtstook maar wordt toegepast in 1,6% van de huishoudens als hoofdverwarming en in 19,1% van de huishoudens als bij- of sfeerverwarming. Als de CO<sub>2</sub>-emissies van houtstook niet worden meegerekend



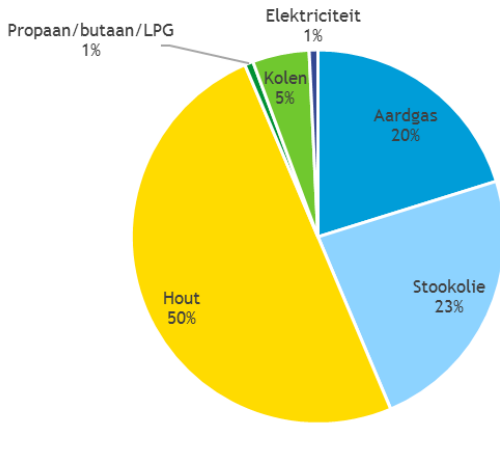


(vanwege het feit dat dezelfde hoeveelheid CO<sub>2</sub> bij de groei van het hout uit de atmosfeer is gehaald) zullen de totale milieuschadecosten met ca. 3,0% (80 miljoen euro) dalen. De resultaten van de milieuschadecosten worden daarom niet beïnvloed door de keuze hoe om te gaan met CO<sub>2</sub>-emissies van biomassa.

figuur 3: milieuschadecosten door totale emissies voor woningverwarming in Vlaanderen in 2015 gerekend met de centrale waarde voor milieuschadecosten – verdeling over emissiestoffen



figuur 4: milieuschadecosten door totale emissies voor woningverwarming in Vlaanderen in 2015 gerekend met de centrale waarde voor milieuschadecosten – verdeling over energiedragers



Van alle houtgestookte toestellen zijn open haarden veruit de meest milieuvriendelijke. Eén GJ warmte geleverd door een open haard kent ruim 1.600 maal hogere milieuschadecosten dan één GJ warmte geleverd door een warmtepomp. Het gebruik van open haarden in Vlaanderen is in totaliteit verantwoordelijk voor ongeveer 5% van de totale milieuschadecosten, 130 miljoen euro per jaar.

Tot op zekere hoogte is er bij het gebruik van hout als woningverwarming een verschil in de diverse soorten hout die verstoekt kunnen worden. Het verstoken van pellets leidt over het algemeen tot de laagste milieuschadecosten, behalve bij de nieuwste ketels, waar het verstoken van houtafval tot de laagste kosten leidt. Het verstoken van houtafval in de nieuwste ketels leidt met milieuschadecosten van € 33,71 per GJ



geleverde warmte tot de laagst mogelijke milieuschadecosten bij het verbranden van hout. Toch zijn hierbij de milieuschadecosten nog steeds een factor 5 hoger dan een modern condenserend gasgestookt toestel. Het verschil tussen lokale pellets en pellets uit Canada en Noord-Amerika zijn de indirecte emissies. Hierdoor liggen de schadecosten van pellets uit Canada en Noord-Amerika ongeveer 10% hoger bij alle nieuwste installatietypen (met uitzondering van de open haard).

In diverse scenario's en toekomstverwachtingen is verder onderzocht wat het effect is van aanpassingen in de berekeningen. Deze kunnen relevant zijn voor verdere studie. Tabel 2 geeft een overzicht van deze scenario's en toekomstverwachtingen die zijn gehanteerd in deze studie en hun invloed op de totale milieuschadecosten.

tabel 2: overzicht van de ontwikkeling van milieuschadecosten (M€/jaar) door ruimteverwarming bij diverse varianten en vergeleken ten opzichte van de huidige schadecosten

	Directe emissies	Totale emissies	Reductie totale emissies t.o.v. 2015
1. Huidige situatie 2015	2.131	2.644	
2. Huidige situatie 2015 zonder CO <sub>2</sub> -kosten houtverbranding	2.051	nb	-4%*
3. Situatie 2030 na invoering Energieplan	1.691	2.131	-19%
4. Situatie 2030 met vervangingsgraad naar 10%	1.097	1.536	-42%/-28%^
5. Situatie 2015 als er alleen pellets worden verstoekt bij houtinstallaties	1.729	2.242	-15%
6. Situatie 2015 als alle houtkachels worden uitgerust met katalysator	1.932	2.444	-8%
7. Situatie 2015 als open haarden niet langer worden gebruikt en alle toestellen vervangen worden door de nieuwste technieken binnen hun soort	1.137	1.647	-38%

nb = niet beschouwd in deze studie

\* Reductie ten opzichte van de directe emissies, niet totale emissies.

^ -28% is de reductie ten opzichte van 2030 na invoering van het Energieplan.

Volgens het scenario 2030 zijn de jaarlijkse milieuschadecosten van de totale emissies gedaald met ongeveer 19% ten opzichte van de huidige situatie. Dit komt deels door de natuurlijke vervanging van verwarmingstoestellen en deels door de invoering van het Energieplan. De vervangingsgraad is van deze invloeden waarschijnlijk dominant. Indien de vervangingsgraad een factor 2-4 zou worden verhoogd naar 10% per jaar, zouden de milieuschadecosten met ongeveer 42% dalen ten opzichte van de huidige situatie (of 28% ten opzichte van de situatie in 2030 na invoering van het Energieplan). Indien alleen nog maar pellets worden verstoekt in de hout verbruikende installaties, zouden de milieuschadecosten met 15% dalen. Indien men alle huidige houtkachels zou uitrusten met katalysatoren zouden de schadecosten met 8% dalen.

Een significante daling kan worden verkregen als men alle verwarmingstoestellen vervangt door de meest moderne varianten binnen elke brandstofklasse en men tegelijkertijd geen open haarden meer zou gebruiken. Een dergelijke variant zou de milieuschadecosten met 38% doen dalen ten opzichte van de huidige situatie (33% door de vervanging van alle oude toestellen en 5% door het niet gebruiken van open haarden).



## SUMMARY

Domestic heating is one of the factors contributing to air pollution in the built environment. According to the World Health Organization, WHO, air pollution is one of the main causes of death in many countries, particularly emissions of particulates (PM<sub>2.5</sub>). This pollution is particularly problematic in the built environment, where people live and work and are constantly inhaling polluted air. Besides damage to health, air pollution resulting from domestic heating also damages ecosystems and buildings, while burning fossil fuels contributes to climate change.

In economic science increasing efforts are being made to quantify this damage and express it monetarily. This damage manifests itself in a range of respiratory and cardiovascular disorders due to emissions of particulates and other pollutants, adverse effects on ecosystems and human health due to photochemical oxidant formation (smog), damage to buildings and heritage sites due to particulates and other pollutants, damage to nature due to the eutrophying effects of nitrogen deposition, and the costs of mitigating climate change. All these forms of pollution-related damage imply a loss of economic welfare. The present study estimates the environmental damage costs associated with domestic heating in Flanders, to improve understanding of this damage and of how these costs differ across the various technologies used for heating Flemish homes.

Calculating environmental damage costs is essentially a four-step process:

- 1 Emissions: what quantitative emissions are in fact associated with home heating, broken down by heating method and fuel type?
- 2 Dispersion: where do these emissions go?
- 3 Impacts: what effect do they have on humans, animals and ecosystems?
- 4 Valuation: how are these impacts to be valued?

A study encompassing all four of these steps is normally very labour-intensive, requiring elaboration of both dispersion and dose-response models. In most studies of environmental damage costs steps 2 to 4 are therefore collapsed into so-called '*Damage cost indices*': country-specific averages for the relationship between emissions at an average location, via dispersion through to valuation of impacts that are expressed in €/kg emission.

On the basis of the available literature on damage cost indices and the most recent WHO understanding on the damage caused by environmental pollution, this study calculates the most appropriate environmental damage costs for domestic heating in Flanders.

Table 3 reports the damage cost indices calculated on the basis of the present study. The damage costs of PM<sub>2.5</sub>, PM<sub>10</sub> and NO<sub>x</sub> differ for the urban and rural environment, the former being higher because of the higher population density in towns and cities.



Table 3: damage cost indices calculated for emissions from domestic heating in Flanders (only for emissions causing > 0.1% of total environmental damage costs)

Atmospheric emission	Central value	Range**
CO <sub>2</sub>	€ 0.057	€ 0.037-0.094
CH <sub>4</sub>	€ 1.77	€ 0.47-2.92
Black carbon (>10% PM <sub>2.5</sub> )*	€ 717	€ 512-1101
PM <sub>2.5</sub> space heating, urban*	€ 183	€ 131-281
PM <sub>2.5</sub> space heating, rural*	€ 84	€ 60-129
PM <sub>2.5</sub> unspecified*	€ 79.7	€ 56.9-122.4
PM <sub>10</sub> space heating, urban*	€ 104	€ 74-161
PM <sub>10</sub> space heating, rural*	€ 47	€ 33-73
PM <sub>10</sub> unspecified*	€ 55.7	€ 39.8-86.1
NO <sub>x</sub> space heating, urban	€ 32	€ 23-51
NO <sub>x</sub> space heating, rural	€ 16	€ 11-25
NO <sub>x</sub> unspecified	€ 22.8	€ 15.7-36.6
SO <sub>2</sub>	€ 20.9	€ 14.8-32.8
NH <sub>3</sub>	€ 34.8	€ 23.1-58.6
NM VOC	€ 2.8	€ 2.1-4.2
CO	€ 0.13	€ 0.09-0.20
Pb	€ 5908	€ 3967-6596

Note: Figures are rounded to three floating-point decimals, apart from space-heating emissions of PM<sub>2.5</sub>, PM<sub>10</sub> and NO<sub>x</sub>, which are rounded to an integer because of the wide uncertainty margins.

\* To avoid double-counting, in the calculations PM<sub>10</sub> was broken down into three fractions: (a) elementary carbon, if this fraction was > 10% of PM<sub>2.5</sub> emissions; (b) PM<sub>2.5</sub> minus the black carbon fraction if the latter was >10%; (c) the PM<sub>10</sub> fraction not included in PM<sub>2.5</sub>.

\*\* Range gives the uncertainty in the valuation of environmental impacts.

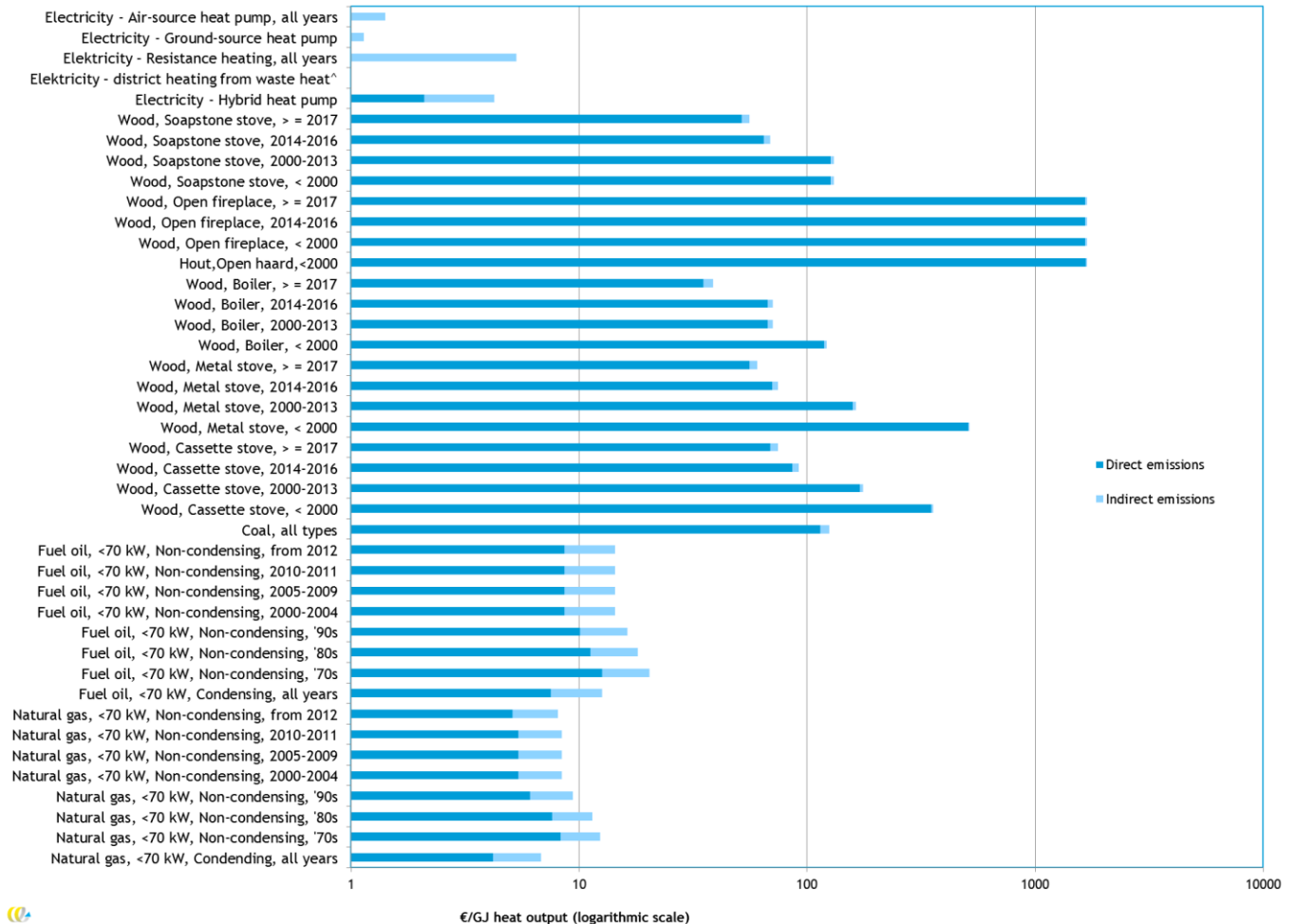
Domestic heating emissions were calculated for each individual heating method and for Flanders as a whole. Direct and indirect emissions were distinguished. Direct emissions are those leaving rooftop chimneys and thus occurring in Flanders. Indirect emissions are those occurring during the production of energy carriers, such as methane emissions from natural gas extraction, and will often also lead to damage outside Flanders. Indoor emissions due to unenclosed space-heating systems are not included in this study.

Multiplying quantitative emissions by damage cost indices yields figures for environmental damage costs. Figure 5, with a *logarithmic* scale, summarizes the damage costs associated with the various kinds of space heating, broken down by technology and age class. Wood-burning heating systems generally have far higher environmental damage costs than systems using natural gas or fuel oil. The figure also shows that there are enormous differences in damage costs across the various technologies and fuels. Open fireplaces are by far the most polluting form of domestic space heating – about 250 times worse than a modern condensing gas-fired appliance. Figure 6, with a *normal* scale, provides a similar breakdown, but now restricted to the latest models of appliance for each respective fuel. As can be seen, heat-pump systems



have the lowest environmental damage costs. The figure also shows that even the most advanced wood-burning stoves and boilers still have 5-12 times higher damage costs than the cleanest gas-burning alternatives (condensing boilers).

figure 5: environmental damage costs of space-heating technologies by type and age class (€/GJ heat output, logarithmic scale)

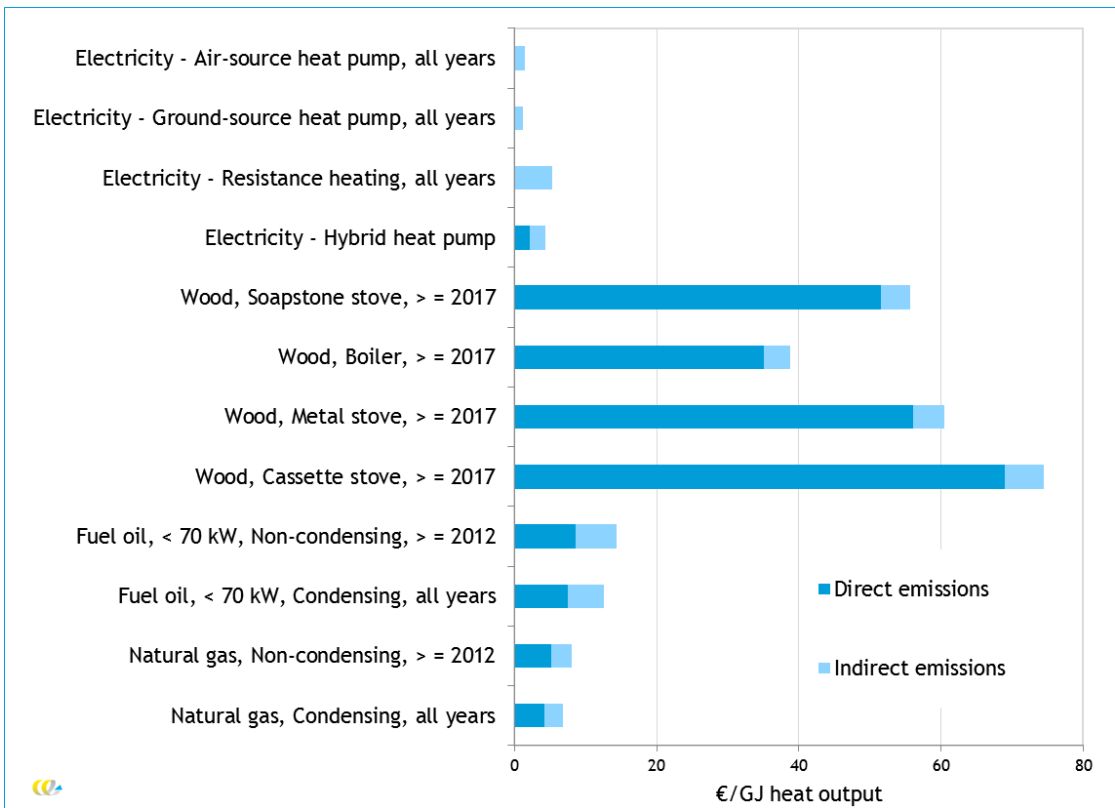


Notes: \* For wood-fired boilers, the average was taken of fuels with highest and lowest emissions. The impacts of wood-fired appliances include those of CO<sub>2</sub> emissions.  
 ^ The electricity consumption of a heat network relates to the electricity needed to supply geothermal or residual heat to households. No loss factor has been taken into account for any efficiency losses at the installation that supplies residual heat.

Combining these figures and statistics on use of the various heating appliances by Flemish households, total environmental damage costs were estimated. In 2015 the damage costs associated with domestic space heating in Flanders totalled 2.6 billion euro, of which 2.1 billion euro are due to direct emissions and around 0.5 billion euro to the indirect emissions included in the present study.



figure 6: environmental damage costs of space-heating technologies: most advanced appliances (€/GJ heat output, normal scale)



Note: for wood-fired boilers, the average was taken of fuels with highest and lowest emissions. The impacts of wood-fired appliances include those of CO<sub>2</sub> emissions.

Figure 7 shows the respective contributions of the various pollutants to total costs, while figure 8 provides a breakdown by energy carrier. Particulate emissions (PM<sub>2.5</sub>) are the single largest factor in environmental damage costs, contributing about 38% with respect to total emissions. In second place come CO<sub>2</sub> emissions, accounting for around 27% of total environmental costs. Wood-burning for space heating in its various forms accounts for about 50% of total damage costs (and 60% of environmental damage due to direct emissions). This is despite wood-burning being used by a mere 1.6% of Flemish households as the main form of heating and by 19.1% of households as supplementary heating or ‘mood heating’. If the CO<sub>2</sub> emissions of wood-burning are excluded (because the same amount of CO<sub>2</sub> was absorbed from the atmosphere during tree growth) the environmental damage costs decline by about 3.0% (€ 80 mln./year). The damage costs are therefore essentially unaffected by how the CO<sub>2</sub> emissions of biomass are calculated.



figure 7: environmental damage costs of total emissions from domestic space heating in Flanders in 2015, calculated using central damage-cost value: breakdown by pollutant

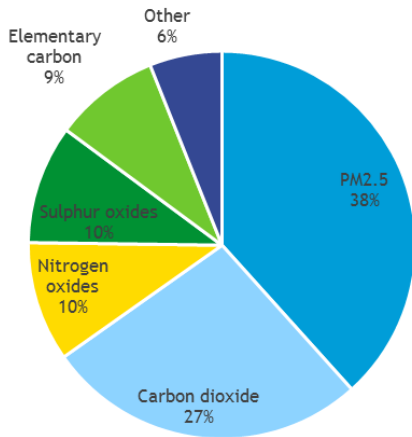
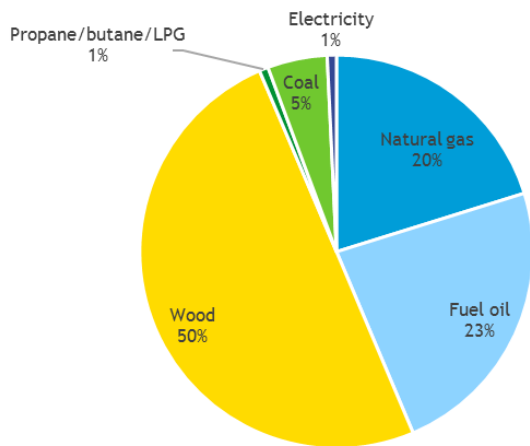


figure 8: environmental damage costs of total emissions from domestic space heating in Flanders in 2015, calculated using central damage-cost value: breakdown by energy carrier



Open fireplaces are by far the most polluting form of wood-burning: one GJ of heat supplied by an open fireplace causes over 1,600 times higher environmental damage costs than one GJ of heat from a ground source heat pump. Open fireplaces are used above all as ‘mood heating’, however. Overall, their use in Flanders accounts for about 5% of aggregate environmental damage costs: € 130 mln./year.

There is a certain amount of difference depending on the kind of wood fuel used for domestic space heating. Wood pellets generally have the lowest environmental damage costs, except with the latest boilers, where waste wood has the lowest costs: € 33.71/ GJ heat output, the very lowest for any kind of wood-burning. Even so, these damage costs still exceed those of a modern condensing gas-fired appliance by a factor 5. The difference between locally produced pellets and those imported from Canada or the US



derives from the indirect emissions, which make the damage costs of imported pellets burned in any of the latest appliances (apart from open hearths) around 10% higher.

Under various scenarios and projections, the impact of modelling adjustments was also examined. These may be relevant for further study. Table 4 summarizes these scenarios and projections and reports their impact on the total environmental damage costs.

Table 4: trends in environmental damage costs (M€/a) due to domestic space heating in alternative variants compared with current estimates

	Direct emissions	Total emissions	Reduction in total emissions rel. to 2015
Current situation, 2015	2.131	2.644	
Current situation, 2015, excl. CO <sub>2</sub> costs of wood-burning	2.051	n.a.	-4%*
2030, after roll-out of National Energy Plan	1.691	2.131	-19%
2030, replacement rate to 10%	1.097	1.536	-42%/-28%^
2015, only pellets in wood-burning appliances	1.729	2.242	-15%
2015, all wood-burning appliances with catalytic converter	1.932	2.444	-8%
2015, zero open fireplaces plus across-the-board replacement by latest appliances	1.137	1.647	-38%

n.a. = not applicable in this study

\* Reduction relative to direct emissions.

^ -28% compared to the situation in 2030, after the roll-out of the National Energy Plan.

In the 2030 scenario, the annual environmental damage costs associated with the sum total of emissions are about 19% less than they are today. This improvement is due partly to the natural replacement of heating appliances and partly to roll-out of the National Energy Plan, with the rate of replacement probably the dominant factor. With the replacement rate raised by a factor 2-4 to 10% per annum, damage costs would decline by around 42% compared with the current situation. If all wood-burning appliances were to burn only pellets, damage costs would be about 15% lower. If all today's wood-burning appliances were fitted with a catalytic converter, damage costs would drop by 8%.

The most significant reduction would be achieved by replacing every domestic heating appliance by the latest variant for the fuel concerned and at the same time discontinuing use of open fireplaces altogether. This variant would reduce the environmental damage costs by 38% compared with the current situation (33% due to replacement of outmoded appliances, 5% to phase-out of open hearths).





# 1 INLEIDING

## 1.1 Aanleiding

Woningverwarming is een activiteit die leidt tot luchtverontreinigende emissies die op hun beurt leiden tot negatieve milieueffecten. Negatieve milieueffecten leiden tot maatschappelijke schade (schade aan de gezondheid, ecosystemen, gebouwen, het klimaat). Deze schade leidt tot een verlies aan welvaart, zowel voor de huidige generatie als voor de toekomstige generatie. De schade kan ook in geld worden uitgedrukt zodat het welvaartsverlies monetair gewaardeerd wordt. Dergelijke informatie kan worden betrokken bij maatschappelijk relevante beslissingen zoals kosten-batenanalyses of investeringsanalyses.

Luchtverontreiniging, en dan met name de uitstoot van kleine stofdeeltjes ( $PM_{2,5}$ ) is door de WHO bestempeld als een belangrijke doodsoorzaak in veel landen. Wereldwijd sterven er jaarlijks 7 miljoen mensen door het inademen van vervuilde lucht, volgens de WHO. Vervuilde lucht is daarmee een belangrijke doodsoorzaak, belangrijker dan zaken als ondervoeding, overgewicht of alcohol en drugsgebruik (Health Effects Institute, 2018). Luchtvervuiling is vooral schadelijk in de bebouwde omgeving, omdat mensen daar wonen en de vervuilde lucht inademen. Naast transport is woningverwarming een belangrijke determinant van luchtvervuiling in steden.

Vlaanderen heeft zich tot doel gesteld om de algemene luchtkwaliteit te verbeteren, zoals opgenomen in het Regeerakkoord 2014-2019 en het Luchtbeleidsplan 2030, de Europese richtlijn over luchtkwaliteit 2008/50/EG en het Protocol van Göteborg. Daarbij is er de laatste tijd steeds meer aandacht gekomen voor de invloed van houtgestookte verwarmingstoestellen op de luchtkwaliteit. Binnen de emissies door gebouwenverwarming heeft houtverbranding een aanzienlijk aandeel, vooral op het rechtstreeks uitgestoten fijn stof (primaire  $PM_{10}$  en  $PM_{2,5}$ ). Dat aandeel zou kunnen toenemen als men in het klimaatbeleid meer gebruik gaat maken van biomassa als bron voor woningverwarming.

Tegen deze achtergrond heeft de Vlaamse Milieumaatschappij aan CE Delft gevraagd een studie uit te voeren naar de omvang van de milieuschadeprijzen door woningverwarming in Vlaanderen, zowel nu als in de nabije toekomst en naar de onderlinge vergelijking van de milieuschadeprijzen voor de verschillende technieken en energiedragers die worden gebruikt voor woningverwarming. De onderhavige rapportage geeft verslag van deze studie.

## 1.2 Doel van het project en subdoelen

Het project heeft tot doel om de milieuschadeprijzen te bepalen door woningverwarming in Vlaanderen, zowel per techniek als voor het totaal van Vlaanderen.

Als onderdeel van dit doel zijn in dit project de volgende activiteiten ondernomen:

- onderzoek naar de literatuur rondom milieuschadeprijzen en het bepalen van de voor Vlaanderen meest relevante set van milieuschadeprijzen ten gevolge van woningverwarming;
- het bepalen van de emissies per techniek van woningverwarming;
- het berekenen van de milieukosten per woningverwarmingstechniek;

- het berekenen van de totale milieuschadeposten door woningverwarming in Vlaanderen;
- het vergelijken op milieuschadeposten van diverse relevante scenario's die meer inzicht kunnen bieden in beleidsmatige opties in de toekomst.

### 1.3 Methodologische aanpak op hoofdlijnen

De methodiek die wordt gehanteerd in deze studie is het berekenen van de milieuschadeposten, zowel op het niveau van de individuele technieken om een woning te verwarmen, als op het niveau van de totale milieuschadeposten van Vlaanderen.

De berekening voor beide outputs kent grotendeels overlappende berekeningen. De berekening is in essentie een matrixvermenigvuldiging waarbij technische gegevens over emissies van installaties wordt gekoppeld aan sociale gegevens over hoe vaak deze installaties voorkomen in Vlaanderen en hoe vaak ze worden gebruikt én milieu-economische informatie over de effecten van milieuvervuiling en de schade die wordt veroorzaakt aan de milieuvervuiling.

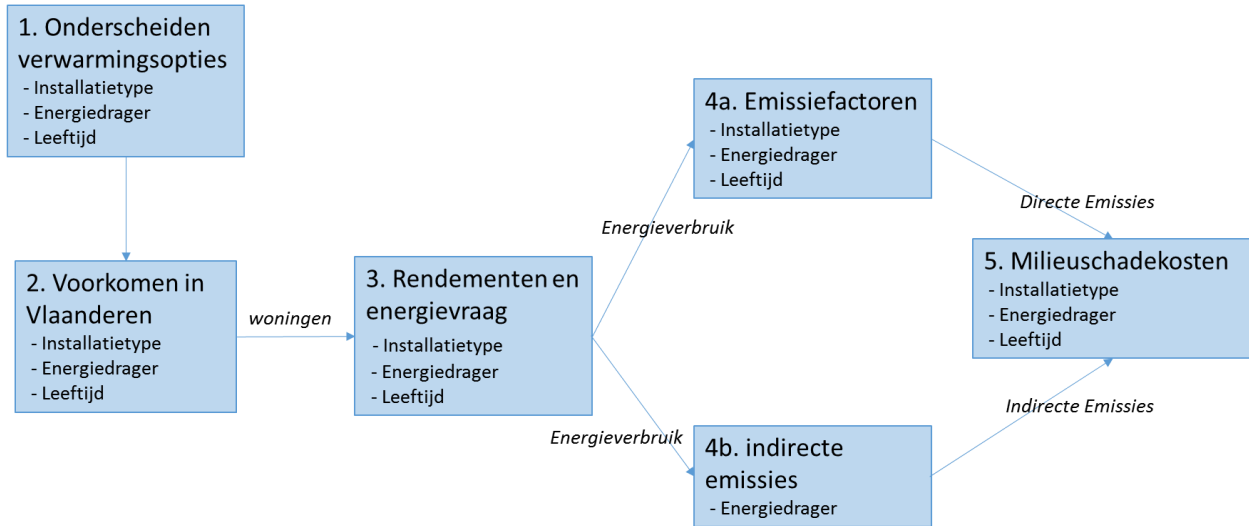
Centraal bij de berekeningen in dit rapport staat een indeling van verwarmingstoestellen in:

- installatietypen
- energiedragers
- leeftijdsklassen

We volgen hierbij dus de indeling uit VITO (2017a). Installatietypen zijn de technische installaties waarmee warmte wordt opgewekt. We maken hierbij een onderscheid naar ketels, alleenstaande gesloten verwarming (kachels), open haarden, etc. Energiedragers zijn de brandstoffen of elektriciteit waarop de installaties warmte kunnen opwekken. Tot slot delen we de verwarmingstoestellen ook nog in naar leeftijdsklassen. Deze indeling wordt vervolgens in stap 2 gebruikt om gegevens te verzamelen over het aantal wooneenheden dat in Vlaanderen gebruik maakt van deze verwarmingsopties (zie figuur 1 voor uitleg over de gekozen aanpak). Vervolgens onderzoeken we de energievraag in deze wooneenheden en koppelen we die informatie aan de rendementen van de verwarmingsinstallaties om het energieverbruik te bepalen. Het energieverbruik vormt vervolgens enerzijds input voor de emissiefactoren (per installatietype, energiedrager en leeftijdsklasse) waardoor de totale directe emissies kunnen worden berekend. Anderzijds vormt het energieverbruik ook input voor de bepaling van de indirecte emissies die optreden in de keten van brandstofwinning tot levering aan de deur van de consument. De directe en indirecte emissies die optreden vormen vervolgens input van de milieuschadeposten waardoor de totale milieuschadeposten in Vlaanderen kunnen worden berekend. Daarnaast kan de milieuschadeposten ook worden uitgedrukt per verwarmingstoestel om zo een vergelijking te kunnen maken welke verwarmingstoestellen de hoogste milieuschadeposten kennen en welke verwarmingstoestellen de laagste milieuschadeposten kennen.



figuur 9: aanpak in deze studie voor bepaling milieuschadetekosten: onderlinge vergelijking installatietype en energiedrager en totaal voor Vlaanderen



## 1.4 Afbakening

De studie is uitgevoerd met de volgende afbakeningen:

- Onder woningverwarming wordt de gebouwenverwarming binnen de residentiële sector verstaan, zoals gedefinieerd bij de Emissie Inventaris Lucht van de VMM.
- Er wordt uitsluitend gekeken naar emissies van luchtverontreiniging. Emissies in de bodem (olie) of water worden niet meegenomen.
- De luchtvervuilende emissies die in deze studie beschouwd worden zijn emissies van fijn stof (PM<sub>2,5</sub>, PM<sub>10</sub>, black carbon); NO<sub>x</sub>, SO<sub>2</sub>, NH<sub>3</sub>, CO, PAKs (benzo(a)pyreen), dioxines, NMVOS, broeikasgassen (CO<sub>2</sub>, CH<sub>4</sub>, N<sub>2</sub>O, roet) en zware metalen (As, Cd, Cr, Cu, Hg, Pb, Ni, Se en Zn).
- We voeren berekeningen uit voor de huidige situatie (2014-2016) met een doorkijkje naar de toekomst in 2030. Er worden geen historische data verzameld over emissies in bijvoorbeeld het jaar 2000.
- In deze studie beschouwen we enkel de effecten van woningverwarming op luchtverontreiniging in de buitenlucht en op het klimaat. Eventuele effecten van woningverwarming op het binnenmilieu wordt in deze studie niet gekwantificeerd omdat daar onvoldoende gegevens over voorhanden zijn. Bedacht moet worden dat WHO (2018) berekende dat wereldwijd ongeveer 40% van de jaarlijkse doden door luchtverontreiniging ontstaan door verontreiniging van het binnenmilieu. Dit is echter vooral het geval in ontwikkelingslanden waar mensen vaak nog op biomassa in niet geventileerde huizen koken.

## 1.5 Leeswijzer

Het restant van het onderzoek valt in twee delen uiteen. Deel I, de hoofdstukken 2 tot en met 4, vormt het methodologische achtergronddeel van dit rapport. De hoofdstukken 5 en 6 behandelen de resultaten van dit onderzoek. In het methodologische deel bevat hoofdstuk 2 uitleg over de berekening van de milieuschadetekosten van Vlaanderen. De theorie van milieuschadetekosten wordt behandeld, een overzicht van studies met milieuschadetekosten wordt gepresenteerd en een op Vlaanderen gerichte berekening van de



milieuschadeposten die wordt gehanteerd in dit rapport wordt toegelicht. Hoofdstuk 3 bevat vervolgens een analyse van de huidige emissies in Vlaanderen door woningverwarming. Dit hoofdstuk kijkt allereerst naar de gebruikte technieken, warmtelevering en emissies die ontstaan ten gevolge van de vraag naar woningverwarming in Vlaanderen. Hoofdstuk 4 kijkt vervolgens naar de emissies in het scenario van 2030 die ontstaan als de bestaande plannen rondom de energietransitie tot uitvoering worden gebracht.

In het resultatendeel worden de resultaten op de milieuschadeposten van woningverwarming in Vlaanderen gepresenteerd. Hoofdstuk 5 bevat vervolgens een analyse van de schadeposten ten gevolge van zowel de huidige als toekomstige vraag naar woningverwarming: zowel de schadeposten per eenheid geleverde warmte voor de diverse technieken als de totale schadeposten voor Vlaanderen worden beschouwd. In hoofdstuk 6 worden enkele scenario's gepresenteerd en geanalyseerd op hun schadeposten. Uiteindelijk bevat hoofdstuk 7 conclusies en aanbevelingen die op basis van deze studie kunnen worden getrokken.

Er zijn twee soorten bijlagen bij dit project: de bijlage in deze rapportage bevat uitwerkingen op het gebied van het overzicht van schadeposten in de literatuur, emissiefactoren, een overzicht van aanvullende data voor het bepalen van de milieuschadeposten in Vlaanderen en een overzicht van de berekende rendementen voor houtgestookte installaties. Daarnaast bevat de rapportage een digitale bijlage waarin gedetailleerde tabellen zijn opgenomen die te groot waren om op papier gedrukt te worden. Terwijl de belangrijkste tabellen wel te vinden zijn in deze rapportage, bevat de digitale bijlage op sommige vlakken een grotere mate van detail. Deze digitale bijlage is te vinden op de website van de VMM en van CE Delft.



# Deel I

## Methodologie



## 2 KWANTIFICERING VAN DE MILIEUSCHADEKOSTEN

### 2.1 Inleiding

Milieuschadekosten zijn de financieel gewaardeerde negatieve effecten van milieuvervuiling. Milieuvervuiling heeft effecten op zogeheten 'end-points'. Men onderscheidt in de literatuur diverse end-points, zoals menselijke gezondheid (mortaliteit en morbiditeit), diverse vormen van ecosystemediensten, schade aan gebouwen en materialen, grondstofuitputting en hinder (geluidshinder en visuele hinder) (CE Delft, 2017a). Milieuschadekosten geven dan de welvaartsverliezen weer die optreden ten gevolge van milieuvervuiling op deze end-points.

Bij de bepaling van milieuschadekosten van emissies, zoals die van woningverwarming, spelen altijd vier aspecten een belangrijke rol:

- 1 De emissies zelf: hoeveel emissies ontstaan er daadwerkelijk bij woningverwarming?
- 2 De verspreiding van die emissies over het milieu: waar komen die emissies terecht?
- 3 De effecten van die emissies op de receptoren: mensen, dieren en ecosystemen waar deze emissies terechtkomen en die tot negatieve effecten op hun functioneren leidt.
- 4 De waardering van deze negatieve effecten.

Idealiter worden elk van deze vier aspecten gemeten en bepaald. Dit zou echter een enorme onderzoekslast betekenen die al snel het onderzoeksbudget zou uitputten. Daarom wordt er vaak gewerkt met een combinatie van emissiefactoren en schadekostenkengetallen. Emissiefactoren geven dan de emissies van een activiteit weer, veelal bepaald op basis van verbruikte brandstoffen. De emissies van woningverwarming worden bepaald in hoofdstuk 3. Kengetallen vatten dan de stappen 2-4 hierboven samen en geven dus een samengesteld effect van verspreiding, dosis-effectrelaties en waardering van emissies samen. De bepaling van deze kengetallen is onderwerp van dit hoofdstuk.

### 2.2 Waarderingsgrondslagen voor milieueffecten

Milieuvervuiling leidt tot ziekte en vroegtijdig overlijden bij mensen. De WHO heeft diverse malen uitgebreid verslag gedaan van de gezondheidseffecten van luchtverontreiniging (WHO, 2005; 2011; 2013; 2014). Deze effecten zijn aangetoond in epidemiologisch onderzoek. Indien volgens epidemiologisch onderzoek een verhoogde concentratie van een specifieke vervuilende stof leidt tot een zekere stijging van het aantal gevallen van een zekere ziekte (en indien deze ziekte de gemiddelde levensverwachting van mensen met een bepaald aantal jaren vermindert) kunnen we volgens medische statistieken komen tot een aantal verloren jaren als gevolg van een ziekte. Op deze manier zijn veel effecten van luchtverontreiniging in de epidemiologische literatuur gekwantificeerd.

Naast epidemiologisch onderzoek bestaat er ook toxicologisch onderzoek. De gezondheidseffecten van diverse toxische stoffen zijn uitgebreid beschreven door zowel de WHO (zie bijvoorbeeld WHO, 2010) als een breed scala van toxicologische literatuur.



Andere belangrijke projecten waren ExternE, MethodEx (Methods and data on environmental and health externalities) en CASES (Cost Assessment for Sustainable Energy Systems). De projecten hebben geresulteerd in een model (Ecosense) en een Exceltool die gebruikt kunnen worden bij het inschatten van externe kosten van een reeks van luchtvervuilende emissies in diverse Europese landen. Er zijn in deze projecten echter geen eenduidige waarden voor emissies van woningverwarming ontwikkeld. De focus lag primair op de sector energieproductie, al zijn voor anderen sectoren, zoals industrie, land- en tuinbouw en afval, in het project MethodEx ook kostenschattingen ontwikkeld.

Naast NEEDS, is er in Europa een tweede benadering geweest om milieuschadecosten te berekenen: CAFE-CBA. Dit model is verder ontwikkeld door onder meer Holland (2014), IIASA (2014) en gebruikt bij de beleidsvoorbereiding rondom de Europese afspraken over grensoverschrijdende luchtverontreiniging.

Zowel NEEDS als CAFE-CBA gaan uit van de zogeheten impact-pathwaybenadering (IPA) waarbij de relatie tussen emissies, via atmosferisch transport naar dosiseffectrelaties werd gebracht. Vervolgens werden de effecten monetair gewaardeerd. In feite bestaan NEEDS en CAFE-CBA uit vier aan elkaar gekoppelde modellen/databases:

- 1 Emissiedatabases (en/of voorspellingen).
- 2 Verspreidingsmodellen die de vertaalslag maakt van emissies naar concentraties en een combinatie is van meteorologische modellen met modellen die effecten in de atmosferische chemie beschrijven.
- 3 Concentration Response Functies (CRFs) die de vertaalslag maakt van concentratie naar fysieke effecten op end-points zoals gezondheid, ecosysteemdiensten en gebouwen.
- 4 Monetaire waardering van deze fysieke effecten.

In het Handboek Schaduwrijzen 2010 van CE Delft (CE Delft, 2010) worden beide methoden in meer detail beschreven.

### 2.3.2 Milieuprijzen en schadecostenkennallen

Op basis van deze Europese onderzoeksprojecten hebben diverse onderzoekers getracht om eenheidskosten per kg vervuiling af te leiden. Dit gebeurt bijna altijd, zonder uitzondering, op basis van de ExternE/NEEDS-projecten. Dit komt omdat deze projecten een grotere mate van transparantie bezitten over, bijvoorbeeld, de concentration/response functies dan de CAFE-CBA-projecten die een sterker modelmatig karakter hebben. Hierdoor is het lastiger om die resultaten te beoordelen op hun mate van wetenschappelijke kwaliteit en relevantie en aan te passen aan de nieuwste wetenschappelijke inzichten. Door de meer modulaire opbouw van het NEEDS-project is daarbij een dergelijke aanpassing wel mogelijk.

De volgende literatuur is door ons gebruikt in het kader van het onderzoek:

- Vito (2010). Leo De Nocker, Hans Michiels, Felix Deutsch, Wouter Lefebvre, Jurgen Buekers, Rudi Torfs, Actualisering van de externe milieuschadecosten (algemeen voor Vlaanderen) met betrekking tot luchtverontreiniging en klimaatverandering. Studie uitgevoerd in opdracht van de Vlaamse Milieumaatschappij, MIRA, MIRA/2010/03, VITO.
- Ricardo-AEA (2014), Update of the Handbook on External Costs of Transport.
- CE Delft (2017a), Handboek Milieuprijzen 2017: Methodische onderbouwing van kengetallen gebruikt voor waardering van emissies en milieu-impacts. Dit handboek wordt in Nederland voorgeschreven voor gebruik in maatschappelijke kosten-batenanalyses (MKBAs) en andere waarden van milieu-impacts.







### 2.3.6 MethodenKonvention (2012)<sup>3</sup>

De publicatie Methodenkonvention uit 2012 (UBA, 2012) maakt gebruik van NEEDS en het model dat in het kader van NEEDS is opgesteld (EcoSense). Op basis hiervan worden specifieke schadekosten in Euros (prijsniveau 2010) voor Duitsland ontwikkeld voor emissies van PM<sub>2,5</sub>/PM<sub>10</sub>, NO<sub>x</sub>, SO<sub>2</sub>, NH<sub>3</sub>, NMVOS en CO<sub>2</sub>. Alle berekeningen en uitgangspunten zijn conform NEEDS. Naast NEEDS wordt ook de toepassing van NEEDS in het Exiopol-onderzoek meegenomen.

In vergelijking met andere publicaties besteedt het document meer aandacht aan de differentiatie van de schadekosten afhankelijk van de hoogte van schoorsteen en de bevolkingsdichtheid waarbij ook de schoorsteenemissies voor woningverwarming worden meegenomen. Hierna staat de tabel B6 uit de Methodenkonvention vermeld die deze differentiatie geeft (tabel 5).

tabel 5: overzicht van schadeschattingen gedifferentieerd naar hoogte van de schoorsteen voor Duitsland en EU27 volgens de MethodenKonvention (UBA, 2012) in euro's (2010) per ton

€ 2010/t Emission	Schadeschattingen voor Duitsland		Schadeschattingen voor EU27	
	Stedelijk	Landelijk	Stedelijk	Landelijk
PM <sub>2,5</sub> (Elektriciteit)	30.600	30.600	18.600	18.600
PMcoarse (Elektriciteit)	1.200	1.200	700	700
PM <sub>10</sub> (Elektriciteit)	21.800	21.800	13.200	13.200
PM <sub>2,5</sub> (Industrie)	56.000	55.400	33.500	33.000
PMcoarse (Industrie)	3.200	2.900	2.100	1.900
PM <sub>10</sub> (Industrie)	40.100	39.700	24.100	23.700
PM <sub>2,5</sub> (Ruimteverwarming)	127.200	58.500	85.000	39.200
PMcoarse (Ruimteverwarming)	11.400	2.900	8.600	2.200
PM <sub>10</sub> (Ruimteverwarming)	92.500	41.800	62.100	28.100
NO <sub>x</sub> (Elektriciteit)	12.300	12.300	8.000	8.000
NO <sub>x</sub> (Industrie/Ruimteverwarming)	15.400	15.400	10.500	10.500
SO <sub>2</sub> (Elektriciteit)	12.400	12.400	9.200	9.200
SO <sub>2</sub> (Industrie/Ruimteverwarming)	13.200	13.200	10.100	10.100
NMVOS (allen)	1.700	1.700	1.500	1.500
NH <sub>3</sub> (allen)	26.800	26.800	19.100	19.100

Deze verhoudingen kunnen ook relevant zijn voor de ontwikkeling van een specifieke set van schadekosten in dit project voor Vlaanderen.

We merken overigens op dat UBA (2012) geen definitie geeft van wat stedelijk is en landelijk. In overleg met de auteurs moeten we stedelijk opvatten als een gemiddelde van de schadekosten in gebieden die een meer dan gemiddelde bevolkingsdichtheid hebben en landelijk als een gemiddelde voor gebieden die een minder dan gemiddelde bevolkingsdichtheid hebben.

<sup>3</sup> Eind 2018 is de nieuwe MethodenKonvention 3.0 gelanceerd. Deze MethodenKonvention is pas aan het einde van de looptijd van het huidige onderzoek beschikbaar gekomen en daarom niet meegenomen bij de beoordeling van de methoden voor kostenschattingen.

### 2.3.7 Irish damage costs

Voor Ierland heeft consultancybureau ENVECON ook schadekosten berekend. Men heeft zich hier *niet* gebaseerd op NEEDS maar gebruik gemaakt van een econometrisch gravitatiemodel dat de relatie tussen emissies en concentraties heeft ingeschat voor Ierland. Een consequentie van deze benadering is dat emissies die buiten Ierland terecht zijn gekomen (vermoedelijk) niet meetellen als schadekost. Dit is een fundamenteel andere aanpak dan de hierboven geschetste benaderingen op basis van de Externe-onderzoeken (zoals NEEDS) waarbij er een uniforme waardering werd gekozen onafhankelijk van de vraag of de schade in binnen- of buitenland optrad.

Het onderzoek heeft zowel effecten op gezondheid, biodiversiteit alsmede gewassen en gebouwen berekend voor de klassieke emittenten: SO<sub>2</sub>, NO<sub>x</sub>, PM<sub>2,5</sub>, NH<sub>3</sub> en NMVOS. Voor de effecten op gezondheid is men uitsluitend uitgegaan van de gezondheidseffecten van fijn stof en ozon: er zijn geen directe gezondheidseffecten van NO<sub>x</sub> meegenomen. In vergelijking met andere studies mist het handboek transparantie over gebruikte methodes, cijfers en aannames.

In vergelijking met andere onderzoeken wordt hier wel impacts van ozonvorming op biodiversiteit (bv. huidmondjes van bladeren) gekwantificeerd – een effect dat meestal niet wordt meegenomen. Daarnaast kent het onderzoek ook een onderscheid in schadelijkheid van emissies uitgesplitst naar diverse dichtheden van bevolking. Daarbij valt op dat de variatie in schadelijkheid niet het grootst is voor PM<sub>2,5</sub> (zoals gebruikelijk in studies), maar in NH<sub>3</sub>. Hier wordt geen verklaring voor gegeven in de rapportage.

### 2.3.8 Discussie en conclusie

De diverse handboeken kennen elk hun voor- en nadelen. Het handboek van VITO (VITO, 2010) heeft als pluspunt dat het specifiek op Vlaanderen is gericht. Het Milieuprijzen Handboek (CE Delft, 2017a) heeft als belangrijk voordeel dat het volledig gebruik maakt van de laatste gezondheidsinzichten van de WHO en dat alle emissies van schadekosten kunnen worden voorzien, de MethodenKonvention (UBA, 2012) heeft als voordeel dat er onderscheid wordt gemaakt tussen de diverse bronnen van emissies en het Ierse milieuprijzenhandboek is, tot slot, het enige handboek dat biodiversiteitsimpacts voor NMVOS-kwantificeert.

Daarnaast kennen alle methoden ook diverse nadelen. Als grootste nadeel van alle methoden behalve het VITO-onderzoek betreft de toepasbaarheid: de emissiekengetallen zijn niet direct toepasbaar op Vlaanderen. Daarentegen kent het VITO-handboek weer als nadeel dat het niet is gebaseerd op de 2013 WHO-standaards voor het kwantificeren van impacts op gezondheid en dat niet alle vervuiling die relevant is voor dit onderzoek ermee wordt gekwantificeerd.

Mede daarom hebben we besloten in dit onderzoek om de waarden uit het Handboek Milieuprijzen te gebruiken in dit onderzoek: dit is de enige bron waarbij waarderingen voor alle gevraagde stoffen te vinden is. Om het nadeel van de niet-specifiek op Vlaanderen gerichte situatie te ondervangen hebben we voor de meest belangrijke schadekosten, PM<sub>2,5</sub>/PM<sub>10</sub>, SO<sub>2</sub>, NO<sub>x</sub>, NH<sub>3</sub> en NMVOS, een specifiek op Vlaanderen toegespitste berekening uitgevoerd. Voor de andere emissiestoffen is dit niet mogelijk in het kader van dit onderzoek.

In paragraaf 2.4 geven we aan hoe we de specifieke Vlaamse waarden voor PM<sub>2,5</sub>/PM<sub>10</sub>, SO<sub>2</sub>, NO<sub>x</sub>, NH<sub>3</sub> en NMVOS hebben berekend. In paragraaf 2.5 geven we een overzicht van de numerieke waarde van de milieuschadecosten die we in deze studie gebruiken.



## 2.4 Verbijzondering naar woningverwarming in Vlaanderen van schadekosten van fijn stof, SO<sub>2</sub>, NO<sub>x</sub>, NMVOS en NH<sub>3</sub>

In dit project zijn er specifieke emissieschadekosten voor emissies van fijn stof, SO<sub>2</sub>, NO<sub>x</sub>, NMVOS en NH<sub>3</sub> ingeschat voor woningverwarming in Vlaanderen. Dit is op een vergelijkbare manier gedaan als in het Handboek Milieuprijzen, maar dan toegepast op Vlaanderen. In deze paragraaf geven we meer inzicht in de aanpassingen die zijn gedaan om tot deze schadekosten te komen. In bijlage 1 staat een meer uitgebreide toelichting op de aanpassingen die zijn ondernomen.

### 2.4.1 Methodiek op hoofdlijnen

Uitgangspunt bij deze berekening van de milieuprijzen specifiek voor woningverwarming in Vlaanderen is het NEEDS-model. Voor het vaststellen van milieuschadekosten gebruiken we in dit project een Excel-toepassing die door de universiteit van Stuttgart is ontwikkeld in het kader van NEEDS/CASES. Deze Excel-toepassing werkt met invoer van het ecologisch-economisch model van EcoSense. De Exceltool geeft milieuschadekosten voor ongeveer 40 specifieke landen, waaronder België. Op deze milieuschadekosten voor België zijn zes aanpassingen gedaan. Deze aanpassingen zijn op hoofdlijnen dezelfde als in het Handboek Milieuprijzen, alleen worden ze nu aangepast aan de Vlaamse context. De zes aanpassingen zijn als volgt te omschrijven:

- 1 CRF-functies zijn aangepast aan de nieuwste WHO studies (WHO, 2013 en 2014). Deze aanpassing is vollediger dan in het Handboek Milieuprijzen is doorgevoerd en komt overeen met de EU28-versie van het Handboek Milieuprijzen (CE Delft, 2018). In bijlage 4 staat dit beschreven.
- 2 De bevolkingsomvang en -structuur van Vlaanderen is gebaseerd op de meest recente gegevens.
- 3 De invloed van de (Belgische) achtergrondconcentratie is geschat aan de hand van de relatie tussen schade en emissies voor verschillende emissiescenario's uit NEEDS (2008). Op basis hiervan kunnen we, door alle andere factoren hetzelfde te laten, inschatten welke invloed een verandering in emissies heeft op de schadelijkheid van deze emissies. Die schadelijkheid is dan het gevolg van de verandering in de achtergrondconcentratie.
- 4 De waardering is aangepast aan de waardering die in het Handboek Milieuprijzen is aangenomen en bovendien aangepast aan het prijspeil van 2015.
- 5 De gevonden waarderingen zijn uitgebreid naar een schatting voor alle relevante milieugevaarlijke stoffen aan de hand van ReCiPe-karakterisatiefactoren. Dit is hetzelfde als in het Handboek Milieuprijzen (CE Delft, 2017a).
- 6 Vervolgens is er voor emissies die samenhangen met fijn stof een onderverdeling naar de hoogte van de schoorsteen aangebracht, aan de hand van de relatie tussen de nationale gemiddelde cijfers voor Duitsland en de specifieke schadelijkheid voor schoorsteenemissies (3 tot 20 meter hoogte) voor ruimteverwarming. Hierbij wordt ook een onderscheid gemaakt tussen emissies in landelijke en stedelijke gebieden.
- 7 De aanpassingen en gebruikte werkwijze en data in deze studie is op hoofdlijnen te geven door de volgende tabel.

Tabel 6 geeft op hoofdlijnen de aanpassingen weer aan de NEEDS-modellering. Ook is daarbij vermeld in hoeverre er sprake is van een Europese, Belgische of Vlaamse context.

tabel 6: overzicht van voornaamste databronnen en scope van de aanpassingen op de NEEDS-resultaten in deze studie

	Deze studie	Scope van betrokken data
1 Concentratieresponsefuncties	Gebaseerd op WHO (2013)	Europees/wereldwijd
2 Bevolkingsopbouw	Gebaseerd op Statbel	Vlaamse gewest
3 Achtergrondconcentraties	Gebaseerd op modellering van NEEDS	België (er is geen informatie over Vlaanderen beschikbaar binnen het NEEDS-model)
4a Aanpassing waardering gezondheid	Gebaseerd op Handboek Milieuprijzen (CE Delft, 2017a)	West-Europees gemiddelde cijfer
4b Aanpassing waardering biodiversiteit	Gebaseerd op Kuik et al. (2008)	Vlaanderen bevolkingsdichtheid en Nature 2000-gebieden
5a Relatief gewicht van stoffen op midpointthema	Gebaseerd op methode uit Handboek Milieuprijzen (CE Delft, 2017a)	Vlaanderen m.u.v. humane toxiciteit (waarvoor Nederlandse cijfers zijn betrokken)
5b Karakterisatiefactoren	ReCiPe net als in het Handboek Milieuprijzen	West-Europees gemiddelde
6 Verbijzondering naar emissies woningverwarming	MethodenKonvention 2.0 (UBA, 2012)	Duitsland

Uiteraard zou het beter zijn als bij elke aanpassing er data specifiek voor Vlaanderen kon worden gebruikt, maar dat is niet mogelijk omdat deze data er niet zijn. Door een aantal componenten in de modellering zoveel mogelijk toe te passen op de situatie in Vlaanderen en voor de andere componenten West-Europese gemiddelden te gebruiken wordt er wel toegewerkt naar een situatie waarin de Vlaamse context van de schadekosten wordt gemaximaliseerd.

Hieronder worden de aanpassingen op de NEEDS-resultaten verder toegelicht, in bijlage 4 staan de aanpassingen in meer kwantitatief detail vermeld.

#### 2.4.2 Aanpassing Concentration Response Functies

De Concentration Response Functions (CRFs) zijn in het NEEDS-model gebaseerd op de stand van zaken rondom de schadelijkheid van luchtverontreiniging rond 2005. Toen had de WHO een grote studie gebaseerd rondom de schadelijkheid van luchtverontreiniging (WHO, 2005). Recent is er in de context van WHO meer inzicht gekomen in de schadelijkheid van milieuvervuilende stoffen (WHO 2013, 2014). Daarom zijn de CRFs die zijn gehanteerd in NEEDS (2008a) niet altijd meer actueel. In dit onderzoek zijn de CRFs die in NEEDS zijn gehanteerd bekeken en is bediscussieerd of ze volledig zijn. Op basis daarvan is besloten dat in het NEEDS-project geen effecten van chronische smog zitten verwerkt en dat de NEEDS-resultaten dus geen adequate afspiegeling vormen van de huidige stand van zaken in de wetenschap rondom schadelijkheid van luchtvervuiling. Op basis hiervan zijn de CRFs voor NMVOS en NO<sub>x</sub> naar boven toe bijgesteld.

Alle CRFs die zijn gehanteerd in dit project zijn aangepast naar de aanbevolen waarden op basis van WHO (2013) en WHO (2014). Het betreffen hier waarden die worden aanbevolen voor Europees gebruik. In het recente EU28 Handboek Milieuprijzen van CE Delft (CE Delft, 2017a) staat precies beschreven welke aanpassingen zijn gedaan. Voor Vlaanderen is het percentage van de bevolking dat leeft in gebieden waar de jaarlijkse concentratie van NO<sub>2</sub> boven de 20 µg/m<sup>3</sup> ligt, 34% in 2015<sup>4</sup>. Dit getal is genomen bij de bepaling van de impact van de CRF.

<sup>4</sup> Zie MIRA-indicator (of info Frans Fierens): [Aandeel van de bevolking blootgesteld aan te hoge NO2-concentratie in lucht](#)

### 2.4.3 Aanpassing bevolkingsopbouw

De bevolkingsopbouw is gebaseerd op de gegevens van het Vlaamse gewest via Statbel. De informatie betreft het jaar 2018. De leeftijdscohorten zijn van belang omdat sommige vormen van luchtvervuiling alleen ouderen treffen terwijl andere vormen van luchtvervuiling alleen effecten hebben op de beroepsbevolking (zoals ziekteverzuim en het gerelateerde verlies aan arbeidsproductiviteit). De leeftijdscohorten worden voor het Vlaamse gewest gebaseerd op informatie uit Eurostat die is aangeleverd door Statbel. De leeftijdscohorten en omvang van de bevolking geeft de situatie van 1 januari 2018 weer. De beroepsbevolking is gebaseerd op de gegevens van Statbel over het percentage van de bevolking dat één of meer uur per week een betaalde baan heeft. Deze informatie is dezelfde als in Eurostat.

De invloed van de aanpassing van de bevolkingsopbouw betekent dat de schadeposten iets hoger worden doordat de effecten van vervuiling zwaarder wegen bij de oudere bevolking. In bijlage 4 staat een gevoeligheidsanalyse van de impact van de aanpassing van de bevolkingsopbouw op de schadeposten.

### 2.4.4 Aanpassing achtergrondconcentraties

Delen van het NEEDS-model, zoals het verspreidingsmodel en het model van de atmosferische chemie, zijn voor ons niet herleidbaar. Maar omdat er van het NEEDS-project veel modelruns beschikbaar zijn voor schattingen van emissiereductiescenario's, is de onderliggende modelstructuur tot op zekere mate te herleiden. Besloten is om uit te gaan van de emissiescenario's 2010 en 2020 uit de Exceltool van NEEDS (en gebruikt in het verspreidingsmodel Ecosense). Vervolgens is de daadwerkelijke emissie van 2015 geschaald op het verschil tussen 2010 en 2020 waarden. De resultaten daarvan zijn voorgelegd en besproken met experts op het gebied van atmosferische chemie en verklaringen voor een stijging of daling van de schadeposten per kg stof zijn van een argumentatie voorzien. Op deze manier is er een aanpassing gemaakt voor de lagere achtergrondconcentraties van de schadelijke stoffen anno 2015 en de invloed daarvan op de schadeschattingen.

Deze manier van werken laat zien dat de schadeposten van  $PM_{2,5}$  en  $PM_{10}$  lineair verlopen met de emissies, maar dat de schadepost (per kg emissie) van vooral  $SO_2$  en  $NO_x$  toeneemt bij lagere emissies van deze stoffen. De reden heeft te maken met de vorming van secundair fijn stof. Belangrijkste vormen van secundair fijn stof zijn ammoniumsulfaat ( $(NH_4)_2SO_4$ ) en ammoniumnitraat ( $NH_4NO_3$ ). Beide stoffen ontstaan via een aantal reacties uit de luchtverontreinigingscomponenten ammoniak ( $NH_3$ ), stikstofoxiden ( $NO_x$ ) en zwaveldioxide ( $SO_2$ ). De hoeveelheid ammoniak is de belangrijkste determinant in de vorming van secundaire aerosolen: als de hoeveelheid ammoniak vermindert, vermindert ook de schadelijkheid van  $SO_2$  en  $NO_x$  – ook als de emissies van die stoffen niet afnemen. Als, aan de andere kant, de emissies van  $SO_2$  en  $NO_x$  verminderen zonder een meer dan evenredige vermindering van  $NH_3$ , dan zal de schadepost van deze stoffen toenemen, omdat er 'relatief' meer secundair stof gevormd zal worden per hoeveelheid uitgestoten  $SO_2$  en  $NO_x$ . Voor Vlaanderen nemen de emissies van deze drie stoffen af tussen 2010 en 2020, maar deze afname is vooral groter bij  $NO_x$  en  $SO_2$ . Het gedeelte dat reageert met  $NH_3$  daalt niet even sterk. Hierdoor is er dus naar verhouding meer  $NH_3$  waarmee  $NO_x$  of  $SO_2$  kan reageren in de lucht. Dit is de primaire reden dat een daling in emissies  $NO_x$  en  $SO_2$ , als het niet vergezeld gaat met een nog sterkere daling in  $NH_3$ , leidt tot hogere schadeposten per kg emissie voor deze stoffen. Zolang  $NH_3$  niet versterkt wordt aangepakt bij emissiebestrijding zal dit voor Vlaanderen voortduren.

De schadeposten van NMVOS nemen af bij lagere concentraties omdat dit betekent dat de emissie van NMVOS vaker bijdraagt aan concentraties die onder de drempelwaarde komt te liggen van 35 ppb. Onder deze drempelwaarde zijn er geen gezondheidseffecten te verwachten volgens WHO (2005).



In bijlage 3 wordt een overzicht gegeven van de gehanteerde invloed van deze aanpassing op de eindresultaten.

#### 2.4.5 Aanpassing van de waardering

De volgende effecten worden in het Handboek Milieuprijzen (CE Delft, 2017a) monetair gewaardeerd:

- Mortaliteitseffecten: vroegtijdig overlijden gebaseerd op een waardering van de VOLY (Value of Life Years). De centrale waarde in het Handboek Milieuprijzen is op basis van een literatuuroverzicht bepaald op € 70.000 per jaar. Deze waarde wordt ook verondersteld in de update van de Methoden-Konvention van de UBA (UBA, 2018, forthcoming) en is ook gebruikt in de Europese waardering van de impacts van transportemissies (CE Delft, INFRAS, forthcoming). In het Handboek Milieuprijzen worden ook onder- en bovenwaardes geformuleerd (een ondergrens van € 50.000 en een bovengrens van € 100.000).
- Morbiditeitseffecten: ziektelast ten gevolge van milieuvervuiling, gewaardeerd met een waardering voor een QALY (Quality Adjusted Life Years). De QALY waardering in het Handboek Milieuprijzen bedraagt € 70.000 per jaar. In het Handboek Milieuprijzen is besloten voor de onder- en centrale waarde eenzelfde waardering voor de QALY op te nemen, maar voor de bovenwaarde uit te gaan van € 110.000/QALY. Deze benadering volgen we hier ook. Voor bepaalde ziektekosten, zoals medicijngebruik, kankergevallen ten gevolge van straling of humane toxiciteit, zuigelingensterfte, IQ, etc., zijn de waarderingen uit het Handboek Milieuprijzen gevolgd. Deze zijn gebaseerd op de literatuur en bevatten een West-Europees gemiddelde. Voor precieze beschrijving van de waarderingen voor morbiditeit verwijzen we naar het handboek. Voor een overzicht van deze waarderingen, zie bijlage 3.
- Voor de waardering van biodiversiteitsimpacts (uitgedrukt in PDF = Potentially Disappeared Fraction) gebruiken we, net als in het Handboek Milieuprijzen, de herstelkosten uit NEEDS (2006) als centrale waarde en de mediane en gemiddelde waarde uit Kuik et al. (2008) als de onder- en bovenwaarde. De herstelkosten zijn verondersteld hetzelfde te zijn als in Nederland. Voor de onder- en bovenwaarde is wel een specifieke Vlaamse waardering gekozen door de Vlaamse bevolkingsdichtheid (485 cap/km<sup>2</sup>) en de gemiddelde grootte van de 55 Vlaamse Natura 2000-gebieden in te vullen in de meta-analyse vergelijking van Kuik et al. (2008). Dit leidt tot een iets hogere waardering voor biodiversiteit in Vlaanderen dan het gemiddelde van Nederland. Daarbij moet opgemerkt worden dat de schadekosten van biodiversiteitsverlies veel onzekerder zijn dan die van gezondheid. De totale bijdrage van milieuvervuiling aan biodiversiteitsverlies is overigens maar gering en het grootste deel van de totale schadekosten van milieuvervuiling wordt bepaald door de impacts op menselijke gezondheid. Verlies aan landbouwgewassen is gewaardeerd met dezelfde prijzen als in het Handboek Milieuprijzen CE Delft (2017a).

Tabel 7 geeft een overzicht van de aanpassingen in de waardering.





tabel 7: aanpassingen waarderingsstructuur

Prijspeil	In NEEDS (2008)	Deze studie
	Prijzen 2008	Prijzen 2015
Waardering mortaliteitseffecten	VOLY van € 40.000 chronisch, vermoedelijk in prijsniveau 2005. Dit komt overeen met een waardering voor België van ongeveer € 48.000.	Waardering van een centrale waarde van € 70.000 met € 50.000 als onderwaarde en € 100.000 als bovenwaarde, in prijzen 2015.
Waardering morbiditeitseffecten	Waardering van diverse ziektegevallen en IQ-effecten overeenkomend met een waardering voor een QALY van ongeveer € 40.000 (prijsniveau 2000/2005).	Waardering van diverse ziektegevallen en IQ-effecten overeenkomend met een waardering van een QALY van gemiddeld € 70.000 met een range van € 50.000 tot € 110.000.
Waardering ecosystemen	€ 0,56/PDF/m <sup>2</sup> gebaseerd op gemiddelde Europese waardering uit Kuik et al. (2008).	Een range van € 0,22/PDF/m <sup>2</sup> tot € 1,70/PDF/m <sup>2</sup> (prijzen 2015) gebaseerd op eigen berekeningen voor Vlaanderen op basis van de vergelijking in Kuik et al. (2008). Als centrale waarde is € 0,66 gekozen.

De waardering van CO<sub>2</sub>-emissies verdient nog een aparte vermelding. In Nederland was de waardering voor CO<sub>2</sub>-emissies voorgeschreven door de overheid doordat de Tweede Kamer het advies van de werkgroep Discontovoet overnam waarin, naast een voorgeschreven discontovoet in maatschappelijke kosten-batenanalyses ook een voorgeschreven CO<sub>2</sub>-prijs stond vermeld. De gedachte hierachter was dat niet alleen de discontovoet grote impact heeft op kosten-batenanalyses maar de CO<sub>2</sub>-prijs ook, en dat er een relatie bestaat tussen de hoogte van de discontovoet en de hoogte van de CO<sub>2</sub>-prijs.

Voor België geldt deze verplichting niet. Daarom volgen we voor België niet het Handboek Milieuprijzen uit 2017 maar dezelfde redenering als in het eerdere Handboek Schaduwrijzen (2010) is gebruikt waarbij preventiekosten werden genomen als basis voor de waardering van CO<sub>2</sub>-emissies met een centrale waardering voor de vastgestelde Europese beleidsdoelen voor 2030 en als hoge variant het optimale emissiepad dat de EU zou moeten volgen wil zij de 2-gradendoelstelling halen. De marginale kosten behorend bij beide emissiepaden is berekend voor Europa in Aalbers et al., (2016). Als onderwaarde nemen we de gemiddelde schadekosten volgens Gerlach en van den Bijgaart (2015). Deze bedragen € 37/tCO<sub>2</sub>.

Bij de toepassing van waarderingsfactoren is ervoor gezorgd dat alle waarderingsfactoren worden weergegeven in het prijsspeil van 2015. Eventuele omrekeningen, zoals bij de waardering van biodiversiteit, is gebeurd aan de hand van gegevens over de geharmoniseerde consumentenprijsindex van Eurostat. Voor biodiversiteit is tevens een relatieve prijsstijging van 1% per jaar aangenomen, conform de uitgangspunten in het Handboek Milieuprijzen (CE Delft, 2017a)<sup>5</sup>.

#### 2.4.6 Toepassing karakterisatiefactoren

Via het aangepaste NEEDS-model (zie aanpassingen stap 1-4) worden de schadekosten van NO<sub>x</sub>, SO<sub>2</sub>, NH<sub>3</sub>, PM<sub>2,5</sub>, PM<sub>10</sub>, NH<sub>3</sub> en NMVOS berekend. De uitkomsten van de herziene berekeningen dienen vervolgens, net als in het Handboek Milieuprijzen, als input in het ReCiPe-karakterisatiemodel. Hierbij worden er, aan de hand van de waarderingsfactoren voor deze stoffen, een waarde uitgerekend voor de midpoints: fijn stofvorming, smogvorming (fotochemische oxidantvorming) en verzuring. Midpoints is het fysisch-chemisch

<sup>5</sup> Bij een inkomensgroei van 2% komt dit overeen met een inkomenselasticiteit van 0,5.

niveau waarin de effecten van de stoffen onderling kunnen worden vergeleken. Daarbij is dezelfde routine gehanteerd als in het Handboek Milieuprijzen (CE Delft, 2017a). Dit verdelen is gebeurd aan de hand van de daadwerkelijke emissies in Vlaanderen (totalen) in 2015, zoals weergegeven op [Emissies luchtverontreiniging en broeikasgassen](#).

Voor humane toxiciteit hebben we geen aparte berekening uitgevoerd maar de waardering uit Nederland genomen die is gebaseerd op een West-Europees gemiddelde. Dit is overeenkomstig NEEDS (2008) waarbij voor humane toxiciteit van zware metalen alleen wordt gewerkt met een West-Europees gemiddelde en er geen onderscheid wordt gemaakt in schadelijkheid van de diverse landen. Zoals aangegeven in het Handboek Milieuprijzen is de waardering van humane toxiciteit met grote onzekerheid omgeven, met name op het gebied van de CRFs, en zou nader onderzocht moeten worden in toekomstig onderzoek. De waardering van Cd, dioxines, arseen, nikkel en kwik is direct gebeurd in het Handboek Milieuprijzen. Op basis daarvan is er een waardering afgeleid voor het midpoint 'humane toxiciteit'. Door toepassing van karakterisatiefactoren kan vervolgens een waardering voor PAKs, zink en selenium worden afgeleid. Meer informatie is te vinden in het Handboek Milieuprijzen (CE Delft, 2017a).

#### 2.4.7 Differentiatie naar woningverwarming

In het NEEDS-model worden alleen de emissies van elektriciteitscentrales aanvullend gemodelleerd. Hierbij blijkt dat de schadelijkheid van met name PM<sub>2,5</sub>-emissies ongeveer een factor 2 lager wordt dan het gemiddelde cijfer. Voor de zware metalen is er geen onderscheid gemaakt tussen de gemiddelde waardes en de waardes van elektriciteitscentrales.

Om een inschatting te kunnen maken van de schadelijkheid van emissies van woningverwarming kijken we naar het Duitse handboek over waarderingen van emissies, de MethodenKonvention, die een gedetailleerd onderscheid maakt naar de diverse bronnen van uitstoot voor PM<sub>2,5</sub> en PM<sub>10</sub>. Tabel 8 geeft de resultaten weer.

tabel 8: overzicht gehanteerde schadekostverhoudingen uit Duitsland in euro's (2010) per ton emissie

	Gemiddelde	Elektriciteit	Ruimteverwarming		Verkeer	
	Duitsland		Stad	Platteland	Stad	Platteland
PM <sub>2,5</sub>	55.400	30.600	127.200	58.500	364.100	122.800
PM <sub>10</sub>	39.700	21.800	92.500	41.800	nb	nb

nb = niet beschouwd in deze studie

Het voorstel is om de verhoudingen tussen het gemiddelde cijfer en het cijfer voor ruimteverwarming uit deze studie te gebruiken voor emissies van PM<sub>2,5</sub>, PM<sub>10</sub>. Voor black carbon bevelen we geen aanpassing aan omdat hiervoor geen literatuur beschikbaar is. Daarbij merken we ook op dat de relatieve schadelijkheid van roet is vastgesteld in epidemiologische studies en dat roetemissies vooral door verkeer in steden plaatsvindt. Daarom kan de verhouding tussen PM<sub>2,5</sub> voor steden en platteland niet zonder meer worden toegepast op black carbon zonder opnieuw de relatieve schadelijkheid vast te stellen. Ook voor zware metalen vinden we een aanpassing op basis van de verhouding in PM<sub>2,5</sub> ongewenst omdat belangrijke effecten van zware metalen via de voedselketen plaatsvinden. Het is in het kader van het huidige onderzoek (en onderzoeksbudget) niet mogelijk om een inschatting te maken van de directe effecten van zware metalen via inademing en de indirecte effecten via opname in de voedselketen.



Er zijn aanwijzingen dat ook NO<sub>2</sub> op leefniveau uitgestoten tot extra schade kan leiden. Ons voorstel is om hier een differentiatie te maken naar stad en platteland onder de veronderstelling dat de bevolking in steden is blootgesteld aan concentraties groter dan 20/μg/m<sup>3</sup>, en bevolking op het platteland niet is blootgesteld aan dergelijke concentraties.

## 2.5 Gehanteerde milieuschadetekosten in deze studie

### 2.5.1 Resultaten: gemiddelden voor Vlaanderen

Tabel 9 geeft de resultaten weer van de gebruikte schadetekosten van emissies naar lucht in Vlaanderen waarbij de hierboven beschreven aanpassingen zijn gevolgd. Deze emissies zijn gemiddelde emissies voor Vlaanderen voor een gemiddelde hoogte van de schoorsteen.

tabel 9: gemiddelde schadetekosten in Vlaanderen voor emissies naar lucht vanuit een gemiddelde schoorsteen op een gemiddelde locatie, prijzen in €<sub>2015</sub>/kg emissie

Emissie naar lucht	Afk	Centrale waarde	Range***	Bron
Koolstofdioxide	CO <sub>2</sub>	€ 0,057	€ 0,037-0,094	Berekening
Methaan	CH <sub>4</sub>	€ 1,77	€ 0,47-2,92	Berekening <sup>^/#</sup>
Lachgas	N <sub>2</sub> O	€ 15,10	€ 3,9-24,9	Berekening <sup>^</sup>
Black carbon (boven 10% PM <sub>2,5</sub> )**	BC	€ 717	€ 512-1.101	Berekening
Fijn stof	PM <sub>2,5</sub>	€ 79,7	€ 56,9-122,4	Berekening
Fijn stof	PM <sub>10</sub>	€ 55,7	€ 39,8-86,1	Berekening
Stikstofoxiden	NO <sub>x</sub>	€ 22,8	€ 15,7-36,6	Berekening
Zwavel dioxide	SO <sub>2</sub>	€ 20,9	€ 14,8-32,8	Berekening
Ammoniak	NH <sub>3</sub>	€ 34,8	€ 23,1-58,6	Berekening
Vluchtige organische stoffen (niet-methaan)	NMVOS	€ 2,8	€ 2,1-4,2	Berekening
Koolstofmonoxide	CO	€ 0,13	€ 0,09-0,2	Berekening <sup>#</sup>
Cadmium	Cd	€ 1.159	€ 798-1.831	CE Delft, 2017a
Arsenicum	As	€ 1.033	€ 703-1.228	CE Delft, 2017a
Lood	Pb	€ 5.908	€ 3.967-6.596	CE Delft, 2017a
Kwik	Hg	€ 34.481	€ 24.766-53.632	CE Delft, 2017a
Nikkel	Ni	€ 133	€ 75-225	CE Delft, 2017a
Chroom*	Cr	€ 0,53	€ 0,15-1,02	CE Delft, 2017a
Benzo(a)pyrene	C <sub>2</sub> OH <sub>12</sub>	€ 11,40	€ 8,4-17,7	CE Delft, 2017a
Koper	Cu	€ 4,40	€ 1,5-10,9	CE Delft, 2017a
Selenium	Se	€ 90	€ 65-141	CE Delft, 2017a
Zinc	Zn	€ 11,80	€ 2,25-31,60	CE Delft, 2017a
Dioxine	C <sub>12</sub> H <sub>4</sub> Cl <sub>4</sub> O <sub>2</sub>	€ 67.100.000	€ 49-104 mln	CE Delft, 2017a

Noot:

\* Chroom betreft de inschatting voor Chroom, maar niet voor Chroom VI die apart zou moeten worden onderscheiden.

\*\* Alleen het aandeel van black carbon emissies dat boven 10% van PM<sub>2,5</sub> wordt uitgestoten wordt meegeteld als extra emissies. In de berekeningen is PM<sub>10</sub> onderverdeeld in drie fracties (a) elementair carbon indien dit aandeel groter is dan 10% van de PM<sub>2,5</sub>-emissies; (b) PM<sub>2,5</sub> minus het aandeel black carbon indien aandeel BC groter is dan 10%; (c) Het deel PM<sub>10</sub> dat niet in PM<sub>2,5</sub> zit. Dit is gedaan om dubbeltellingen te voorkomen.

\*\*\* De range betreft de onzekerheidsrange met betrekking tot waardering, niet met betrekking tot overige onzekerheden.

<sup>^</sup> Berekend op basis van karakterisatiefactoren IPCC 2013, dezelfde als gehanteerd in het Handboek Milieuprijzen (CE Delft, 2017a).

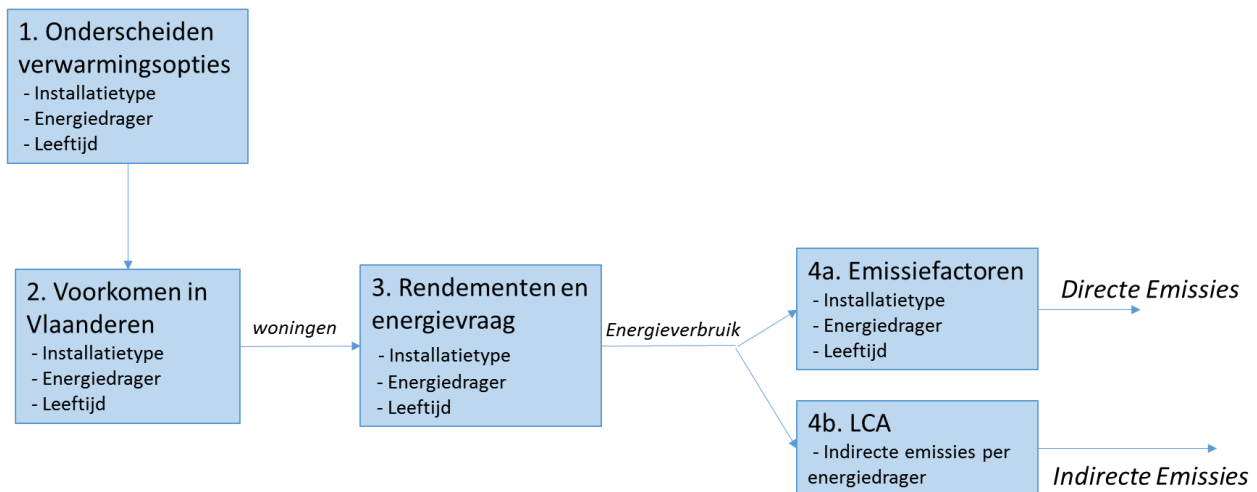
<sup>#</sup> Berekend op basis van karakterisatiefactoren ReCiPe voor fotochemische oxidantvorming.





Vervolgens wordt gekeken hoe vaak deze verwarmingstechnieken voorkomen in Vlaanderen. Dit levert dan informatie op over het aantal woningen dat gebruik maakt van een bepaald verwarmingstoestel. Vervolgens wordt aan de hand van rendementen en energiebehoefte bepaald wat het energieverbruik per toestel is. Vervolgens wordt deze informatie over het energieverbruik gekoppeld aan emissiefactoren om de directe emissies te bepalen, en worden de emissiefactoren van de indirecte emissies bepaald via een levenscyclusanalyse (SimaPro). De totale emissies zijn dan de som van de directe en indirecte emissies.

figuur 10: aanpak bij berekening van emissies



In formulevorm kan de berekening als volgt worden opgezet:

$$E_j = \sum_{i,b,t} W_{i,b,t} * \left( \frac{D}{R_{i,b,t}} \right) * EF_{j,i,b,t}$$

Waarbij E = emissie, W = aantal woningen, R = rendement (in %), D = warmtebehoefte en EF is de emissiefactor en de subscript j is voor de emissies (bv. SO<sub>2</sub>, PM<sub>2,5</sub>, etc.), subscript i voor het installatietype, b voor de energiedrager en t voor de leeftijdsklasse.

De subscripts bepalen de indeling van de studie. Net als in VITO (2017a) maken we onderscheid naar de volgende energiedragers:

- aardgas
- stookolie
- propaan/butaan/LPG
- steenkool
- hout

Bij aardgas, stookolie, propaan/butaan/LPG en steenkool differentiëren we, net als in VITO (2017a) tussen centrale en decentrale installaties. Verder wordt bij aardgas en stookolie onderscheid gemaakt tussen condenserende en niet-condenserende installaties (ketels), en tussen installaties groter dan 70 kW en kleiner dan 70 kW. Installaties groter dan 70 kW betreffen collectieve verwarming. Deze begrippen worden gedefinieerd in bijlage 1.





### 3.3 Gebruikte gegevens voor de berekening van de directe emissies

Om de directe emissies van woningverwarming in Vlaanderen in 2015 te berekenen hebben we de volgende gegevens nodig:

- het aantal wooneenheden per energiedrager in Vlaanderen in 2015;
- het totale brandstofverbruik voor woningverwarming per energiedrager;
- verbruiksaandelen per energiedrager voor verschillende installatietypen (onderverdeeld naar leeftijdsklasse) en houttypen, rekening houdend met de rendementen van de verschillende verwarmingstoestellen;
- emissiefactoren voor de verschillende installatietypen, brandstoffen en leeftijdsklassen.

De bepaling van deze gegevens beschrijven we hieronder afzonderlijk in de diverse subparagrafen.

#### 3.3.1 Aantal wooneenheden per energiedrager

Het aantal wooneenheden per energiedrager dat gebruikt is in deze studie, is voor het grootste deel afkomstig uit VITO (2017a). Omdat VITO (2017a) geen aantallen wooneenheden bevat voor wat betreft het gebruik van elektriciteitsverbruikende warmtetechnieken, zijn er aanvullende berekeningen uitgevoerd.

Het aantal wooneenheden dat in 2015 iets anders gebruikt dan fossiele brandstof of hout voor woningverwarming hebben we op basis van VITO (2017a) gelijkgesteld aan 236.724, ofwel 8,1% van het totale aantal wooneenheden in 2015 van 2.920.045<sup>9</sup>. In 2017 waren er 23.987 *warmtepompen* in Vlaamse woonhuizen, en in 2014 waren er 13.327<sup>10</sup>. Door middel van interpolatie komen we uit op ca. 17.000 warmtepompen in 2015. De verwachte aantallen warmtepompen per jaar in het Energieplan Vlaanderen laten een verhouding tussen bodemwarmtepomp, luchtwarmtepomp en hybride warmtepomp van 1:1:3 zien. Deze verhouding hebben we toegepast op het aantal van 17.000, wat resulteert in 3.400 bodemwarmtepompen, 3.400 luchtwarmtepompen en 10.200 hybride warmtepompen. Voor het resterende aantal wooneenheden van 219.724 wooneenheden (236.724 minus 17.000) nemen we aan dat 95% *weerstandsverwarming* heeft en 5% is aangesloten op een *warmtenet*. We baseren dit op het feit dat in 2014 12% van de Vlaamse gezinnen elektrische verwarming als hoofdverwarming had (VREG, 2014)<sup>11</sup>. Het is niet bekend hoeveel huishoudens warmte betrekken van een warmtenet<sup>12</sup>, maar in totaal wordt er jaarlijks 560 GWh warmte geleverd aan afnemers (Vlaamse Regering, 2018).

In 2015 werd in Vlaanderen 12,6 PJ hout verbruikt voor woningverwarming (VITO, 2017b). Het gemiddelde houtverbruik in een bijverwarmingsinstallatie is 49,1% van het gemiddeld houtverbruik in een hoofdverwarmingsinstallatie (gebaseerd op VITO (2011)<sup>13</sup>). Rekening houdend met het feit dat 45.434 Vlaamse wooneenheden in 2015 hout gebruikten voor hoofdverwarming, tegenover 558.998 woonheden voor

<sup>9</sup> Dit aantal is het totale aantal wooneenheden in Vlaanderen in 2015 minus de som van het aantal wooneenheden dat een fossiele brandstof of hout als hoofdverwarming gebruikt (VITO, 2017a).

<sup>10</sup> [Recordaantal nieuwe warmtepompen in Vlaamse huizen](#)

<sup>11</sup> Dit omvat ook accumulatieverwarming (weerstandsverwarming in combinatie met warmteopslag), wat jarenlang is gepromoot door de overheid. [Mega-Turteltaks in sociale woonwijk](#)

<sup>12</sup> Kaat Jaspers, VITO, email-correspondentie d.d. 22 augustus 2018.

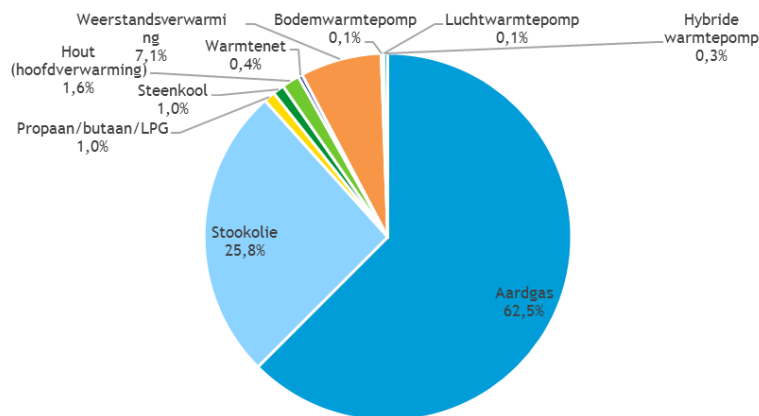
<sup>13</sup> Dit is berekend op basis van een gemiddeld verbruik bij hoofdverwarming van 63.740 MJ per jaar, en een gemiddeld verbruik bij bijverwarming van 31.275 MJ per jaar (VITO, 2011).



bijverwarming (VITO, 2017a), kan worden berekend dat 10,8 PJ hout voor *bijverwarming* wordt gebruikt en 1,8 PJ hout voor hoofdverwarming.

Het aantal wooneenheden per energiedrager wordt weergegeven in figuur 11. Hieruit blijkt dat meer dan de helft (62,5%) van het aantal wooneenheden in 2015 gebruik maakt van aardgas als brandstof. Ook het aantal wooneenheden dat verwarmt met stookolie is relatief groot (25,8%). De overige technieken beslaan slechts iets meer dan 10% waarbij weerstandsverwarming de belangrijkste techniek is op dit moment (7,1%). Slechts 1,6% van de huishoudens gebruikt hout als hoofdverwarming.

figuur 11: aandelen energiedragers/warmtetechnieken in totaal aantal wooneenheden voor hoofdverwarming in Vlaamse huishoudens in 2015



Toch is dat niet het hele verhaal voor houtverbranding, omdat houtverbranding vooral ook wordt gebruikt als bijverwarming. Tabel 11 geeft het aantal wooneenheden en het totale brandstofverbruik per energiedrager en het percentage wooneenheden. Hieruit blijkt dat 19% van de wooneenheden hout verbruikt als bijverwarming. 86% van het totale houtverbruik wordt gebruikt voor bijverwarming: dit is equivalent aan 6,6% van het totale energieverbruik voor woningverwarming.

tabel 11: aantal wooneenheden en totaal verbruik per energiedrager voor woningverwarming in Vlaanderen in 2015

Energiedragers/warmtetechnieken	Aantal wooneenheden	Totaal brandstofverbruik (PJ)	Percentage wooneenheden
Aardgas <sup>^</sup>	1.825.308	85,1	62,5%
Stookolie <sup>^</sup>	754.179	57,7	25,8%
Propanaan/butaan/LPG <sup>^</sup>	29.200	2,1	1,0%
Steenkool <sup>^</sup>	29.200	1,5	1,0%
Hout (hoofdverwarming) <sup>^</sup>	45.434	1,79*	1,6%
Hout (bijverwarming) <sup>^</sup>	558.998	10,8*	19,1%
Elektriciteit - warmtenet*	10.986	0,01	0,4%
Elektriciteit - weerstandsverwarming *	208.738	4,38	7,1%
Elektriciteit - bodemwarmtepomp*	3.400	0,01	0,1%
Elektriciteit - luchtwarmtepomp*	3.400	0,02	0,1%
Elektriciteit - hybride warmtepomp*	10.200	0,06	0,3%
Aardgas - hybride warmtepomp*		0,29	
Totaal hoofdverwarming	2.920.045	164	

<sup>^</sup>: VITO (2017a) voor wooneenheden en VITO (2017b) voor brandstofverbruik.

\*: Eigen berekeningen. Totalen betreft de totale hoofdverwarming en is de som van alle energiedragers/warmtetechnieken minus hout (bijverwarming).

### 3.3.2 Totaal verbruik per energiedrager

Het totale brandstofverbruik per energiedrager (PJ) hebben we gebaseerd op de Energiebalans Vlaanderen 1990-2016, hier kortweg 'Energiebalans', waarin totaalwaarden staan voor de Vlaamse huishoudens (VITO, 2017b). We nemen aan dat het totale biomassaverbruik door huishoudens volledig uit houtverbranding bestaat, iets dat wordt bevestigd door VITO (2011). Het totale brandstofverbruik per energiedrager in petajoule staat in tabel 11. De totale verbruikswaarden voor de elektriciteitsverbruikende installaties (warmtenet, weerstandsverwarming, bodemwarmtepomp, luchtwarmtepomp en hybride warmtepomp) zijn ingeschat<sup>14</sup>. Dit is gedaan op basis van het warmtegebruik per huishouden en de rendementen van installaties. Een goed geïsoleerd huis heeft maar 600 m<sup>3</sup> gas per jaar nodig voor verwarming<sup>15</sup>. Uitgaande van 9,77 kWh/m<sup>3</sup> aardgas (gerekend met de bovenste verbrandingswaarde)<sup>16</sup> komt dit neer op 21 GJ per jaar (5.862 kWh).

Deze 21 GJ per huishouden is als startpunt genomen voor berekening van het totale verbruik voor alle elektriciteitsverbruikende installaties, in overweging nemend dat woningen goed geïsoleerd moeten zijn om deze installaties te kunnen gebruiken (CE Delft, 2017b). Het totale warmteverbruik per elektriciteitsverbruikende installatie is berekend door het warmteverbruik per huishouden (21 GJ) te vermenigvuldigen met het aantal wooneenheden per elektriciteitsverbruikende installatie (zie tabel 12). Het totale brandstofverbruik per elektriciteitsverbruikende installatie kan vervolgens worden verkregen door het totale warmteverbruik per installatie te vermenigvuldigen met het installatiespecifieke rendement. De gehanteerde (inverse) rendementen staan in tabel 12. Dit zijn door ons opgevat als zogeheten 'productierendementen', zoals in de bewoording van VITO (2017a, zie ook bijlage 5). Voor wat betreft de hybride warmtepomp nemen we aan dat deze uit een luchtwarmtepomp en een CV-ketel op aardgas bestaat, dat de helft van de warmte door de warmtepomp wordt geleverd, en dat de CV-ketel een rendement van 88% heeft (CE Delft, 2017b; VITO, 2017a). Voor het warmtenet is het rendement gebaseerd op de elektriciteit die nodig is om aard- of restwarmte te leveren. Bij de bepaling van het rendement van een warmtenet is geen rekening gehouden met een zogeheten 'dervingsfactor': rendementsverliezen die optreden bij de warmte leverende installatie.<sup>17</sup>

tabel 12: inverse rendementen van elektriciteitsverbruikende installaties (CE Delft, 2017b)

Installatie	Invers rendement (GJ elektriciteit per GJ warmte)
Warmtenet	0,05
Weerstandsverwarming	1,0
Bodemwarmtepomp	0,2
Luchtwarmtepomp	0,25
Hybride warmtepomp	0,25

We gaan ervan uit dat de elektriciteitverbruikende verwarmingstechnieken worden ingezet in een woning als centraal verwarmingssysteem met meerdere radiatoren. Om de rendementen vergelijkbaar te maken met VITO (2017a) moeten hierbij tevens dan het verlies door het regelrendement, afgifterendement en

<sup>14</sup> De Energiebalans geeft wel het totale elektriciteitsverbruik van huishoudens, maar dit omvat ook het verbruik voor verlichting en elektrische apparatuur. Deze cijfers konden daarom niet goed gebruikt worden om het verbruik van elektriciteit voor verwarming in te schatten.

<sup>15</sup> [Isoleren en besparen](#)

<sup>16</sup> [Omrekening MMBTU naar kubieke meter aardgas](#)

<sup>17</sup> Hiermee is geen rekening gehouden omdat deze dervingsfactor per restwarmteleverende installatie kan verschillen (en ook gelijk aan nul kan zijn).



distributierendement worden meegenomen. Deze rendementen zijn elk verondersteld op 95%, gelijk aan deze rendementen bij een centraal gasgestookte verwarmingsketel, zoals bepaald in VITO (2017a).

### 3.3.3 Toedeling energieverbruik aan de verwarmingstoestellen

Per energiedrager hebben we een verdere opsplitsing gedaan naar het type installatie waarin de energiedrager wordt verstoekt. Deze analyse is gebaseerd op VITO (2017a). De digitale bijlage geeft het aantal wooneenheden weer waar de combinaties van installatietypen, bouwjaren, en houttypen optellen tot het totale brandstofverbruik per energiedrager.

Eerst hebben het aantal wooneenheden per energiedrager per installatietype-bouwjaar-klasser-houttype-combinatie (hier kortweg 'combinatie') berekend. Dit hebben we gedaan door het totale aantal wooneenheden per energiedrager te vermenigvuldigen met de *percentages wooneenheden per installatietype* (centraal/decentraal, condenserend/niet-condenserend, < 70 kW/> 70 kW, openhaard/cassette/houtkachel/speksteen- of tegelkachel/ketel), de *percentages installaties die in een bepaalde bouwjaar-klasse vallen*, en de *percentages installaties die een bepaald houttype gebruiken* (briketten, houtkrullen, pellets, snoeihout, stukhout, houtafval). Hierbij is aangenomen dat er geen correlatie is tussen houtinstallatietype, houttype en bouwjaar-klasse.

De bronnen die zijn gebruikt zijn als volgt weer te geven:

- De *percentages wooneenheden per installatietype* komen uit VITO (2017a) met een onderverdeling voor bijverwarming uit Vito (2011) en staan in tabel 13.
- De *percentages installaties die in een bepaalde bouwjaar-klasse vallen* zijn overgenomen van Verbeeck en Ceulemans (2015a), waarbij we aannemen dat de bouwjaar-klasserverdeling in 2012 zoals gedocumenteerd in deze bron ook geldig is voor 2015. Deze staan in tabel 14.<sup>18</sup>
- De *percentages installaties die een bepaald houttype gebruiken* komen uit VITO (2011), en staan in tabel 15.
- VITO (2011) maakt geen onderscheid tussen verontreinigd<sup>19</sup> en niet-verontreinigd behandeld afvalhout. We nemen aan dat al het behandelde afvalhout niet-verontreinigd is.

Bij de toedeling van het totale energieverbruik per energiedrager in Vlaanderen in 2015, zoals gegeven door VITO (2017b), moet rekening worden gehouden met de installatierendementen van de verschillende installatietypen, omdat een installatie met een lager rendement een hoger energieverbruik per GJ geleverde warmte heeft. Door aan te nemen dat de warmtevraag per huishouden per energiedrager gelijk is (dus één waarde voor aardgas, één voor stookolie, etc.) kunnen we het aantal wooneenheden per combinatie corrigeren op basis van de installatierendementen, gebruikmakend van de formule:

$$V_j = \sum_{i,b,t,h} D_b * \left( \frac{1}{R_{i,b,t,h}} \right) * Q_{i,b,t}$$

<sup>18</sup> We hebben één aanpassing gedaan aan de verdeling uit Verbeeck en Ceulemans (2015a): Het percentage houtstookinstallaties ouder dan 2000 is verlaagd met 5% en het percentage houtstookinstallaties met bouwjaar 2014-2016 is verhoogd met 5%. Omdat Verbeeck en Ceulemans (2015a) cijfers uit 2012 bevatten, komt daarin niet naar voren dat in de periode 2014-2016 houtstookinstallaties zijn vervangen en met deze aanname is de invloed van de vervangingsgraad in 2014 en 2015 (2,5% per jaar) meegenomen.

<sup>19</sup> Verontreinigd behandeld afvalhout is hout dat is geïmpregneerd met houtverduurzamingsmiddelen, of geverfd, gelakt of verlijmd hout, waarbij er verontreinigende stoffen aan het hout zijn toegevoegd.

Waarbij  $V_j$  het totale energieverbruik in Vlaanderen van energiedrager  $b$  is,  $D$  is het standaardjaarverbruik van warmte van een wooneenheid die energiedrager  $b$  gebruikt,  $R$  is het rendement van de combinatie ( $i, b, t, h$  waarbij  $i$  het installatietype is,  $t$  de leeftijdsklasse en  $h$  het houttype voor  $b$ =hout)  $Q_{i,b,t}$  is het aantal wooneenheden dat deze combinatie van brandstoffen, leeftijdsklassen en installatietypen gebruikt.

Voor gas, stookolie, steenkolen en propaan/butaan/LPG zijn de rendementen van de installaties reeds meegenomen in de cijfers van VITO (2017a) en deze hebben we overgenomen (zie tabel 16). Voor hout is dit niet het geval. Daarom is er voor hout een additionele inschatting gemaakt van de rendementen van de installaties in bijlage 5.

Voor de bepaling van de verbruiksaandelen voor bijverwarming is de totale hoeveelheid hout gebruikt voor bijverwarming van 10,8 PJ gealloceerd aan de 558.998 wooneenheden met bijverwarming, waarbij een andere verdeling van houtinstallatietypen is gebruikt dan bij hoofdverwarming (VITO, 2011). Zie tabel 13. We hebben hierbij aangenomen dat de verdeling van houttypen, verdeling van bouwjaarklassen en installatierendementen voor bijverwarming gelijk zijn aan die van hoofdverwarming.

tabel 13: percentages wooneenheden per installatietype voor alle energiedragers (VITO, 2011; VITO, 2017a)

Brandstof	Centraal/decentraal, type houtinstallatie	Condenserend/niet-condenserend	Vermogen	Aandeel per energiedrager
Aardgas <sup>^</sup>	Centraal	Condenserend	< 70 kW	25,0%
	Centraal	Condenserend	> 70 kW	4,0%
	Centraal	Niet-condenserend	< 70 kW	48,0%
	Centraal	Niet-condenserend	> 70 kW	7,0%
	Decentraal	-	-	16,0%
Stookolie <sup>^</sup>	Centraal	Condenserend	< 70 kW	4,8%
	Centraal	Condenserend	> 70 kW	1,8%
	Centraal	Niet-condenserend	< 70 kW	65,8%
	Centraal	Niet-condenserend	> 70 kW	20,8%
	Decentraal	-	-	6,8%
Propaan/butaan/LPG <sup>^</sup>	Centraal	-	-	84,0%
	Decentraal	-	-	16,0%
Steenkool <sup>^</sup>	Centraal	-	-	0,0%
	Decentraal	-	-	100,0%
Hout (hoofdverwarming/bijverwarming)*	Open haard	-	-	0%/15%
	Cassette	-	-	15%/41%
	Kachel	-	-	46%/38%
	Speksteen/tegelkachel	-	-	20%/6%
	Ketel	-	-	20%/0%

<sup>^</sup>: VITO (2017a)

\*: VITO (2011)

Het eerste getal bij hout betreft het aandeel hoofdverwarming, het tweede getal het aandeel bijverwarming.

tabel 14: percentages installaties per bouwjaarklasse (Verbeeck en Ceulemans, 2015a)

Bouwjaarklasse	Olie	Gas	Hout
Olie & gas			
jaren'70	22%	6%	
jaren'80	18%	9%	
jaren'90	33%	23%	
2000-2004	13%	23%	
2005-2009	8%	22%	
2010-2011	3%	8%	
Vanaf 2012	3%	8%	
Hout			
< 2000			56%*
2000-2013			39%
2014-2016			5%*

\*: Eigen aanpassing t.o.v. Verbeeck en Ceulemans (2015a): vermindering van perc. < 2000 met 5% en ophoging van perc. 2014-2016 met 5%.

tabel 15: percentages houtinstallaties per houttype (VITO, 2011)

Houttype	Cassette	Kachel	Ketel	Open haard	Speksteen- /tegelkachel
Briketten	1,6%	1,0%	1,6%	4,9%	0,4%
Houtkrullen	0,1%	0,4%	0,0%	0,7%	0,0%
Pellets	0,8%	7,6%	3,7%	1,9%	1,8%
Snoeihout	20,7%	22,1%	0,5%	25,7%	19,1%
Stukhout	61,9%	53,1%	92,5%	51,4%	51,6%
Houtafval - onbehandeld	13,3%	15,2%	1,6%	10,0%	26,2%
Houtafval - niet-verontreinigd behandeld	1,6%	0,7%	0,0%	5,3%	1,0%

////////////////////////////////////

tabel 16: installatierendementen van verwarmingsinstallaties per energiedrager

Brandstof	Centraal/ decentraal	Vermogen	Condenserend /niet- condenserend	Bouwjaar- klasse	Installatie- rendement
Aardgas <sup>^</sup>	Centraal	< 70 kW	Condenserend		88%
			Niet-condenserend	Jaren'70	56%
				Jaren'80	61%
				Jaren'90	70%
		> 70 kW	Condenserend		84%
			Niet-condenserend		67%
Decentraal				66%	
Stookolie <sup>^</sup>	Centraal	< 70 kW	Condenserend		85%
			Niet-condenserend	Jaren'70	56%
				Jaren'80	63%
				Jaren'90	70%
		> 70 kW	Condenserend		80%
			Niet-condenserend		67%
Decentraal				49%	
LPG <sup>^</sup>	Centraal				70%
	Decentraal				66%
Steenkool <sup>^</sup>	Centraal				57%
	Decentraal				42%
Hout <sup>*</sup>	Open haard				10%
	Klassieke houtkachel				30%
	Kachel 2000-2013				47%
	Moderne houtkachel				53%
	Ketel				75%
	Cassette				43%
Speksteenkachel				58%	

<sup>^</sup>: VITO (2017a)

<sup>\*</sup>: Biomass Procede (2018) en eigen berekeningen (zie bijlage 5)

Tabel D1 in de digitale bijlage geeft de berekende energieverbruiken per installatietype, leeftijdsklasse en brandstofsoort weer.

### 3.3.4 Emissiefactoren

De emissiefactoren voor residentiële verwarmingsinstallaties op aardgas, stookolie, hout, steenkool en propaan/butaan/LPG zijn aangeleverd door VMM voor een set van 22 emissiestoffen waarvan de milieuschadeprijzen worden berekend in deze studie (VMM, 2017a). Deze emissiefactoren geven aan hoeveel massa emissiestof er wordt geëmitteerd per energie-eenheid verbrande brandstof (EMEP/EEA, 2017b), en zijn omgerekend naar dezelfde eenheid (kg/PJ).

Bij elektriciteitsverbruikende warmtetechnieken zijn er geen directe emissies. Voor aardgas dat wordt verbrand in huishoudens met een hybride warmtepomp gebruiken we de emissiefactoren van de centrale condenserende aardgasketel kleiner dan 70 kW. De emissiefactoren van hout worden zowel toegepast op hoofdverwarming als op bijverwarming. Verdere toelichting op de bepaling van de emissiefactoren is te vinden in bijlage 2.



Bij het gebruik van emissiefactoren dient men zich ervan te vergewissen dat dit gemiddelde waarden zijn voor een bepaalde generatie van toestellen. Er zit nog heel wat variatie in toestellen die voldoen aan de productnormering: sommige toestellen zullen beduidend meer uitstoten in de praktijk dan in labomstandigheden, andere toestellen blijven ook in werkelijke omstandigheden mogelijk ver onder normen. Voor dergelijke onzekerheden kan niet gecorrigeerd worden in het kader van dit onderzoek omdat dit veldwerk betreft en het uitvoeren van daadwerkelijke metingen. Het gebruik van emissiefactoren betekent dat we ons baseren op de gemiddelde uitstootwaarden zoals die in de literatuur zijn gerapporteerd.

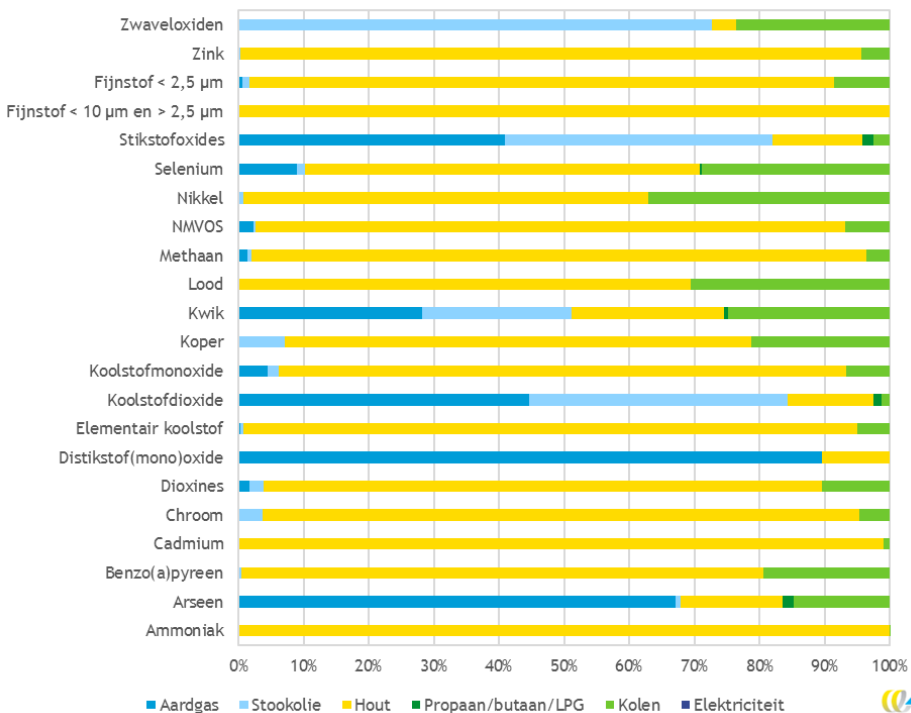
### 3.4 Resultaten: directe emissies

#### 3.4.1 Emissies voor 2015

De emissies voor 2015 (kg) worden berekend door de verbruiksaandelen van energiedragers (PJ) te vermenigvuldigen met de emissiefactoren (kg/PJ). Dit levert een grote lijst op met emissies per energiedrager en per installatietype-bouwjaar-klasse-houttype-combinatie. De totale uitstoot per energiedrager is verkregen door de emissiewaarden voor dezelfde energiedrager bij elkaar op te tellen. In geval van hout worden de emissiewaarden van hoofd- en bijverwarming ook bij elkaar opgeteld. Tot slot levert het sommeren over de energiedragers de totale emissies van woningverwarming in Vlaanderen in 2015 op.

In tabel 17 staan de berekende directe emissies, weergegeven per energiedrager en totaal. Figuur 12 bevat een grafische weergave van de aandelen van energiedragers in de directe emissies. De directe emissies van fossiele brandstoffen en hout zijn de emissies die vrijkomen bij verbranding; de directe emissies van elektriciteit zijn de emissies die vrijkomen bij de elektriciteitsproductie.

figuur 12: aandeel van energiedragers in directe emissies van woningverwarming in Vlaanderen in 2015







Alle brandstoffen dragen bij aan CO<sub>2</sub>, maar de bijdrage van aardgas en stookolie is in relatieve zin het grootst bij deze emissiestof. Hetzelfde geldt voor NO<sub>x</sub>. Opvallend is dat houtstook verantwoordelijk is voor meer dan 90% van de fijn stofemissies door woningverwarming in Vlaanderen. Voor de meeste andere emissiestoffen draagt hout ook het meeste bij aan de uitstoot, ondanks het relatieve lage aandeel van hout in het totale energieverbruik (7,7% van het totale verbruik van energiedragers in huishoudens). Uitzonderingen op de dominante emissiebijdrage van hout zijn arseen, N<sub>2</sub>O, CO<sub>2</sub>, kwik, NO<sub>x</sub> en SO<sub>x</sub>.

### Directe emissies per houtstookinstallatietype

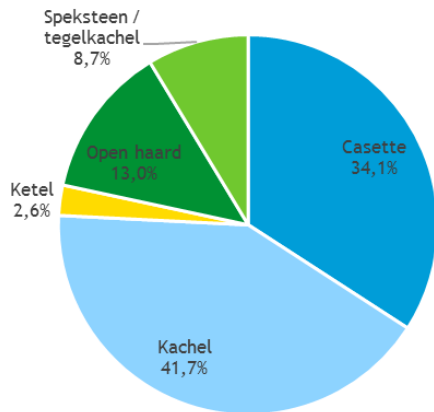
De directe emissies van het gebruik van hout als brandstof voor woningverwarming in Vlaanderen in 2015 zijn uitgesplitst naar de verschillende houtstookinstallatietypen in tabel 18. Als we kijken naar de relatieve bijdrage van de verschillende houtstookinstallatietypen, dan zien we dat cassettes en kachels elk verantwoordelijk zijn voor ongeveer een derde van de emissies. Dit is terug te voeren op de aandelen cassettes en kachels van het totaal aantal houtstookinstallaties in Vlaamse huishoudens, die eveneens elk tenminste een derde bedragen.<sup>20</sup> In figuur 13 is te zien dat dit ook geldt voor de emissies van PM<sub>2,5</sub>.

tabel 18: directe emissies in Vlaanderen in 2015 per houtinstallatietype (totalen, in kg)

	Cassette	Kachel	Ketel	Open haard	Speksteen- /tegelkachel	Totaal
Ammoniak	236.491	285.501	40.099	82.284	63.479	707.853
Arseen	0,8	0,9	0,1	0,2	0,3	2,4
Benzo(a)pyreen	309	407	65	135	17	933
Cadmium	55	64	7	14	23	164
Chroom	98	113	13	26	40	290
Dioxine	0,0021	0,0027	0,0003	0,0009	0,0002	0,0062
Distikstof(mono)oxide	0	0	0	10.008	0	10.008
Elementair koolstof	280.076	327.575	33.526	63.826	98.427	803.429
Koolstofdioxide	477.349.006	552.242.890	62.617.813	124.538.072	194.452.220	1.411.200.000
Koolstofmonoxide	13.296.865	16.083.688	2.160.347	4.413.649	3.420.671	39.375.219
Koper	25,6	29,6	3,4	6,7	10,4	75,6
Kwik	2,4	2,8	0,3	0,6	1,0	7,1
Lood	115	133	15	30	47	340
Methaan	2.118.236	2.450.578	277.867	0	862.882	5.709.562
NMIVOS	2.065.324	2.470.434	188.697	667.168	588.796	5.980.419
Nikkel	8,5	9,9	1,1	2,2	3,5	25,2
Selenium	2,1	2,5	0,3	0,6	0,9	6,3
Stikstofoxides	272.175	300.281	44.727	55.597	140.174	812.954
Fijn stof < 10 µm en > 2,5 µm (PM <sub>2,5-10</sub> )	64.771	78.903	3.737	22.239	16.375	186.026
Fijn stof met diameter < 2,5 µm (PM <sub>2,5</sub> )	2.401.414	2.930.365	181.359	911.797	609.336	7.034.270
Zink	2.182	2.525	286	569	889	6.451
Zwaveloxiden	46.882	54.238	6.150	12.231	19.098	138.600

<sup>20</sup> Aandelen van houtinstallatietypen in Vlaanderen in 2015 als percentage van het totale aantal houtinstallaties (hoofd- plus bijverwarming): cassette 39,4%, kachel 38,5%, ketel 1,5%, open haard 14,0%; speksteen/tegelkachel 6,6%.

figuur 13: gemiddelde bijdrage van houtinstallatietypen aan directe emissies van PM<sub>2,5</sub> door houtverbranding voor woningverwarming in Vlaanderen in 2015 (percentages)



### 3.4.2 CO<sub>2</sub>-emissies van houtstook

In bovenstaande cijfers is de CO<sub>2</sub>-uitstoot van houtgestookte installaties meegenomen bij de bepaling van de emissies. Daar is discussie over mogelijk. Vaak wordt echter beredeneerd dat emissies van biomassa niet meetellen bij de CO<sub>2</sub>-emissies omdat het hierbij gaat om verbranding van eerder opgeslagen koolstof. Dit is onder meer het geval in het Europese emissiehandelssysteem EU ETS waarbij biomassa meetelt met een emissiefactor van nul voor CO<sub>2</sub>-uitstoot. Daar zijn ook wel argumenten tegen te maken, zowel voor houtafval als voor nieuw stukhout. In hoofdstuk 5 berekenen we het effect van het niet meenemen van de CO<sub>2</sub>-emissies van houtstook op de milieuschadeprijzen.

#### Houtafval: geen cascadering

Het uitgangspunt van de Vlaamse regering is om voor houten producten een zo hoogwaardig mogelijke toepassing na te streven, na afdanking (OVAM, 2018). Dit is het principe van cascadering, ofwel prioritering. De Vlaamse Overheid omschrijft dit als volgt: "Uitgangspunt is dat zowel biomassa uit primaire productie als uit rest- en afvalstromen, in de eerste plaats moeten instaan voor het garanderen van de voedselzekerheid (voeding en diervoeder), in de tweede plaats voor het gebruik als grondstof en in de derde plaats voor het gebruik als energiebron. Bij het gebruik van biomassa moet steeds rekening gehouden worden met de hele levenscyclus." (Vlaamse overheid, 2013).

Echter, de stook van stukhout en van houtpellets afkomstig van primair hout voldoen niet aan dit uitgangspunt. Ook bij resthout (takken, houtkrullen) is er een reëel risico dat deze direct voor bio-energie wordt gebruikt in plaats van dat het in producten wordt ingezet. Daarom is er ook een argument te maken om de CO<sub>2</sub>-emissies wel mee te nemen bij de bepaling van de directe emissies.

#### Koolstofschuld (carbon debt)

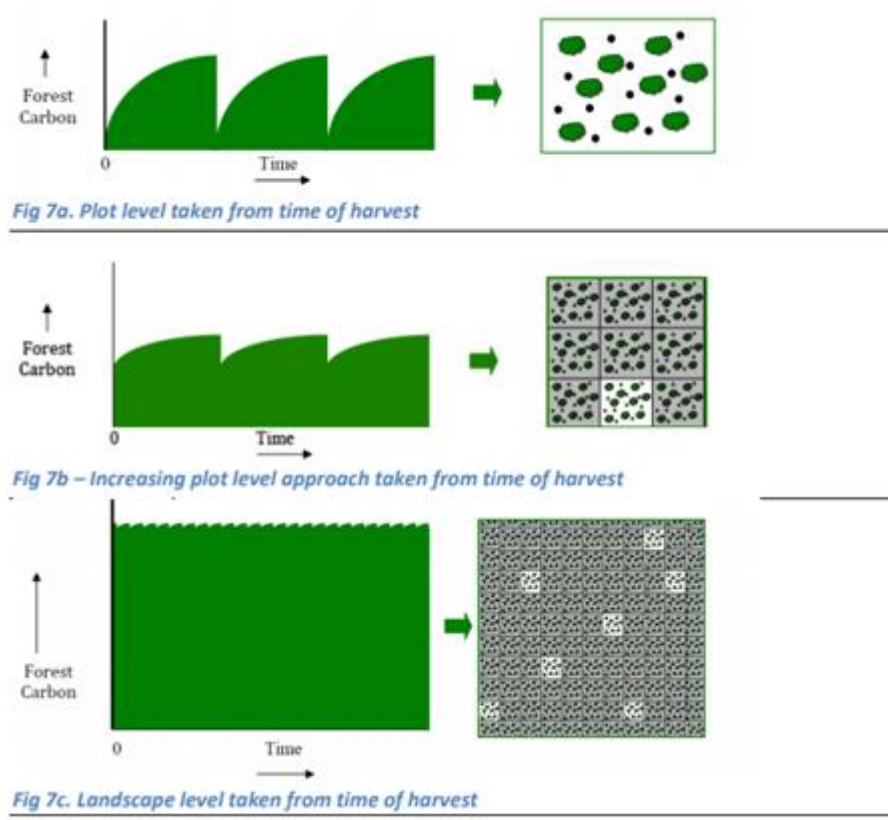
De term koolstofschuld staat internationaal bekend als *carbon debt*. Als er op grote schaal hout wordt verstoekt (als vervanging van fossiele brandstoffen) dan zal er een additionele vraag naar hout ontstaan. De extra houtkap die dit teweegbrengt zorgt voor een verlaging van het vastgelegde koolstof in het (productie)bos en in de bodem. Slechts als dit hout wordt vervangen — door aanplant en groei van een



nieuwe boom — wordt afname van vastgelegde koolstof weer aangevuld. Het hout is in theorie CO<sub>2</sub>-neutraal – het heeft tijdens zijn groei CO<sub>2</sub> opgenomen. Maar als de houtkap langere tijd leidt tot een vermindering van de koolstof vastgelegd in het bos, dan is er alsnog een reële netto CO<sub>2</sub>-emissie die bijdraagt aan het klimaatprobleem.

Of er een (langdurige) koolstofschuld plaatsvindt hangt van de schaalgrootte, groeitempo van de boom en het bosbeheer. AEBIOM et al., (2013) laat zien dat op ‘plotniveau’ de afname van koolstof in het bos aanzienlijk kan zijn, maar dat bij een bestaand beheerd bos op landschapsniveau de afname van koolstof relatief kleiner kan zijn. Dit wordt toegelicht in figuur 14. Situatie 7a beschouwt daarin één *plot*: er wordt geogst, opnieuw geplant en opnieuw geogst aan het einde van de rotatieperiode. 7b beschouwt een bosperceel waarbij jaarlijks uit opeenvolgende *plots* wordt geogst, tot de rotatieperiode is bereikt. 7c representeert een bestaand (oud) bos waarbij geogste en opnieuw beplante percelen elkaar afwisselen zodanig dat het totale koolstof in het bos nagenoeg wordt behouden.

figuur 14: tijdsverloop en koolstofgehalte in bos, bij diverse schaalgrootte en mate van boskap (AEBIOM et al., 2013)



Er is vooral een risico op *carbon debt* bij stook van hout dat niet afkomstig is van rest- of afvalhout. Het speelt geen rol bij het gebruik van afvalhout, resthout (takken en dergelijke) en hout van bomen die om zijn gevallen uit een bestaand bos of tuin. Het risico op carbon debt wordt dus groter als de vraag naar hout voor energie toeneemt. Als aan het cascaderingsprincipe wordt voldaan neemt het risico op carbon debt af.





De indicatie 'market for' geeft aan dat transport naar de consument is inbegrepen. Er is gebruik gemaakt van de best passende regio, naar beschikbaarheid. België {BE} indien beschikbaar, anders 'region Europe' {RER} of Zwitserland<sup>21</sup> {CH}. Een enkele keer is slechts globale informatie beschikbaar: {GLO} en 'rest of world' {RoW}.

Tabel 19 geeft inzicht in de gehanteerde proceskaarten, verbrandingswaarden en bronnen gehanteerd bij deze berekeningen.

tabel 19: gehanteerde achtergrondgegevens en bronnen per brandstof voor berekening indirecte emissies per MJ brandstof

Brandstoftype	Geselecteerde proceskaart Ecoinvent	Opm.	Verbrandingswaarde (onderwaarde)	Bron
Aardgas	Natural gas, high pressure {BE}  market for	N.v.t.	31,65 MJ/m <sup>3</sup>	[1]
Stookolie, lichte	Light fuel oil {RER}  market for	N.v.t.	40,6 MJ/kg	[2]
Propana/butaan/LPG	Liquefied petroleum gas {RoW}  market for	N.v.t.	45,5 MJ/kg	[2] LPG
Steenkool	Hard coal briquettes {GLO}  market for	N.v.t.	1 MJ/MJ	[2]
Houtkrullen, hardhout	Shaving, hardwood, measured as dry mass {CH}  planning, beam, hardwood, air dried		15,4 MJ/kg	[2]
Houtkrullen, zachthout	Shaving, softwood, measured as dry mass {CH}  planning, beam, softwood, air dried			
Geperst hout: pellets/briketten, lokaal	Wood pellet, measured as dry mass {RER}  market for wood pellet	N.v.t.		
Geperst hout: pellets/briketten, Canada of Noord-Amerika	Wood pellet, measured as dry mass {RER}  market for wood pellet	Transport toegevoegd (**)		
Snoeihout	Bundle, energy wood, measured as dry mass {GLO}  market for	N.v.t.		
Stukhout, hardhout	Sawnwood, hardwood, raw, dried (u=20%) {RER}  production			
Stukhout, zachthout	Sawnwood, softwood, raw, dried (u=20%) {RER}  production			
Houtafval, Onbehandeld	Verwerking afvalhout tot brandstof	Eigen modellering (*)		
Houtafval, Verontreinigd behandeld	Verwerking afvalhout tot brandstof			
Houtafval, Niet-verontreinigd behandeld	Verwerking afvalhout tot brandstof			

**Voetnoten bij de tabel:**

\* Eigen modellering van milieu-ingrepen voor ketenemissies afvalhout.

Het model omvat: Versnipperen van afvalhout: 2 tot 5 kWh elektriciteit per ton hout. Bron: [http://ecp-biomass.eu/sites/ecp-biomass.eu/files/books/ECP%20TF%20Vernippenen\\_LG\\_HP\\_2nd.pdf](http://ecp-biomass.eu/sites/ecp-biomass.eu/files/books/ECP%20TF%20Vernippenen_LG_HP_2nd.pdf); Transport naar verbrandingslocatie: 50 tot 200 km, met een middelgrote truck, Euro 5.

\*\* Transport van houtpellets uit Canada of Noord-Amerika is bepaald met <https://sea-distances.org/> 3.156 zeemijl = 5.844 km. Afgerond naar 6.000 km, om ook transport per schip van binnenland (Ottawa) naar de kust (Quebec) op te nemen.

Bronnen:

[1] <https://nl.wikipedia.org/wiki/Verbrandingswarmte>

[2] [https://www.engineeringtoolbox.com/fuels-higher-calorific-values-d\\_169.html](https://www.engineeringtoolbox.com/fuels-higher-calorific-values-d_169.html). Hierin staat ook de onderwaarde van verbranding (lower heating value).

<sup>21</sup> De Ecoinvent-database is opgezet in Zwitserland.

### 3.6 Emissiefactoren indirecte emissies

Tabel 20 en tabel 21 tonen de emissiefactoren van de indirecte emissies (ketenemissies) van de diverse energiedragers die zijn bepaald conform de methodiek in paragraaf 3.5. De emissiefactoren zijn uitgedrukt in kilogram per petajoule (kg/PJ) en kunnen daarom direct gekoppeld worden aan jaarlijks verbruik van de energiedrager in Vlaanderen en aan de milieuprijzen per kilogram emissie. We hebben ons hierbij beperkt tot de emissies die ook zijn meegenomen bij de bepaling van de directe emissies: ammoniak, arseen, benzo(a)pyreen, cadmium, chroom, dioxine, distikstof(mono)oxide, elementair koolstof, koolstofdioxide, koolstofmonoxide, koper, kwik, lood, methaan, NMVOS, nikkel, selenium, stikstofoxides, fijn stof (PM<sub>10</sub> en PM<sub>2,5</sub>), zink en zwaveloxiden. Dit is uiteraard een beperkte set van de totale impacts van energiedragers waarbij ook impacts op landgebruik, radioactiviteit en biodiversiteit dienen te worden beschouwd. Deze overige impacts zijn echter niet gekwantificeerd in dit onderzoek. Dit is een belangrijke beperking bij de interpretatie van de indirecte emissies in dit onderzoek.

Emissiefactoren voor de beschouwde stoffen ten gevolge van indirecte emissies zijn bepaald door de Ecoinvent-proceskaarten van de energiedragers door te rekenen: alle emissies naar lucht worden bepaald, door de gehele voorketen heen. Bijvoorbeeld: CO<sub>2</sub>-emissies uit de voorketen van aardgas komen voort uit gaswinning en -behandeling en elektriciteitsverbruik voor transport. Figuur 15 geeft een voorbeeld van een proceskaart voor aardgas: het diagram met daarin de CO<sub>2</sub>-emissie per onderliggende ketenfase van aardgas.

De emissiefactoren van de indirecte emissies van elektriciteit zijn bepaald met behulp van analyses in SimaPro, gebruikmakend van de Ecoinvent-database. Voor 2015 is daarbij uitgegaan van de huidige elektriciteitsproductiemix van België, en voor 2030 voor de verwachte productiemix in dat jaar<sup>22</sup>. Zie bijlage 2 voor verdere toelichting.

Hier lichten we enkele resultaten toe:

- De indirecte emissies naar lucht komen veelal voort uit verbranding van fossiele brandstoffen voor productie en transport. Voor de winning en opwerking van de fossiele energiedragers is in de regel meer brandstof benodigd dan voor het zagen en bewerken van de houten energiedragers.
- De indirecte emissies voor geperst hout (pellets/briketten) uit Canada of Noord-Amerika zijn relatief hoog, in vergelijking met de andere houten energiedragers, vanwege de grote transportafstand naar Vlaanderen.
- Emissie van ammoniak komt voort uit de productie van biogas (dat wordt ingezet voor productie van elektriciteit) en bij steenkool van de explosieven die gebruikt worden bij de winning.
- Houtafval heeft over de gehele linie de laagste indirecte emissies. Dit komt omdat er slechts wat elektriciteit en transportbrandstof benodigd zijn om het houtafval gereed te maken voor verbranding. Het afval krijgt geen emissies voor de teelt toebedeeld; dit komt immers al toe aan de oorspronkelijke toepassing van het hout.

---

<sup>22</sup> Van belang is het om te beseffen dat we bij deze analyse steeds uitgaan van de gemiddelde productiemix in Vlaanderen en niet van de marginale productiemix. Zonder een precies model van de elektriciteitsmarkt is het in deze studie voor ons niet mogelijk te bepalen wat de marginale unit is van productie in Vlaanderen. Wel kan men verwachten dat de marginale units meestal zullen bestaan uit gas- of kolen-gestookte eenheden en daarom vervuilender zullen zijn dan het gemiddelde. Bij de interpretatie van de waarden voor de elektriciteitsmarkt moet daarmee rekening worden gehouden in deze studie.



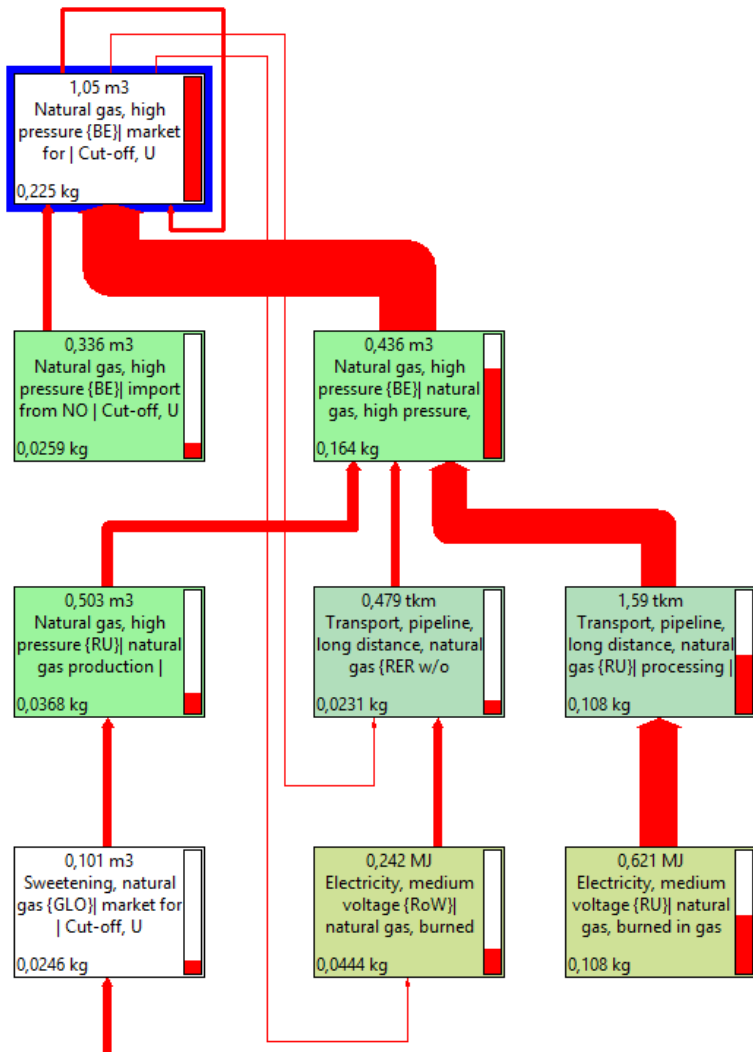
tabel 21: emissiefactoren van indirecte emissies (ketenemissies) van diverse houttypen als energiedrager in kilogram per PJ hout (Ecoinvent, 2018)

Emissie, stofnaam		Houtkrullen hardhout	Houtkrullen zachthout	Geperst hout (pellets/briketten), lokaal	Geperst hout (pellets/briketten) Canada, Noord-Amerika	Snoeihout	Stukhout hardhout	Stukhout zachthout	Houtafval
Koolstofdioxide	CO <sub>2</sub>	2.740.462	3.405.203	7.262.890	11.534.838	4.099.002	8.448.692	9.166.888	1.612.139
Methaan	CH <sub>4</sub>	4.002	5.035	20.849	25.686	5.347	17.359	17.188	1.539
Lachgas	N <sub>2</sub> O	235	168	616	730	156	341	326	79
Fijn stof < 2,5 μm	PM <sub>2,5</sub>	5.104	1.784	6.597	9.194	2.137	7.723	7.363	616
Fijn stof 2,5-10 μm	PM <sub>2,5-10</sub>	1.326	1.394	1.972	3.976	1.345	3.342	3.253	628
Stikstofoxiden	NO <sub>x</sub>	17.117	12.629	23.877	80.231	23.789	44.219	50.139	4.969
Zwavel dioxide	SO <sub>2</sub>	4.847	5.865	21.048	74.013	9.423	18.693	20.675	2.385
Ammoniak	NH <sub>3</sub>	300	371	2.325	2.824	161	582	553	48
Vluchtige organische stoffen (niet-methaan)	NMVOS	3,91E-08	3,91E-08	6,84E-08	7,01E-08	8,06E-08	1,41E-07	2,82E-07	3,92E-08
Koolstofmonoxide	CO	24.576	30.307	19.065	29.348	26.891	88.180	52.266	3.402
Cadmium	Cd	0,2	0,1	0,5	0,6	0,2	0,4	0,5	0,1
Arsenicum	As	0,4	0,4	1,5	2,0	0,5	1,1	1,3	0,1
Lood	Pb	4,9	4,5	6,7	7,5	4,1	9,5	8,4	2,6
Kwik	Hg	0,1	0,1	0,2	0,3	0,1	0,29	0,34	0,03
Nikkel	Ni	1,5	1,5	4,2	26,3	3,0	4,7	5,4	0,64
Chroom, algemeen	Cr	4,1	6,0	9	10	5	10	13	0,6
Chroom-VI	Cr-VI	0,10	0,15	0,24	0,28	0,12	0,25	0,33	0,02
Benzo(a)pyreen	B(a)P	0,2	0,3	0,2	0,3	0,2	0,4	0,5	0,06
Koper	Cu	21,3	22,6	19,0	19,9	20,5	44,4	33,5	16,0
Selenium	Se	0,1	0,1	1	1	0	0	1	0
Zink	Zn	25,4	16,2	18,8	20,6	11,6	31,6	22,6	8,2
Dioxine	PCDD-F	2,18E-06	1,29E-06	2,27E-06	3,84E-06	1,04E-06	2,99E-06	2,94E-06	2,89E-07
Koolstof	C	1,58E-03	2,61E-03	2,01E-02	2,03E-02	5,02E-04	2,08E-03	2,20E-01	1,74E-04

////////////////////////////////////



figuur 15: voorbeeld van proceskaart: de indirecte CO<sub>2</sub>-emissies afkomstig uit de voorketen van aardgas



### 3.7 Resultaten: omvang indirecte emissies woningverwarming Vlaanderen

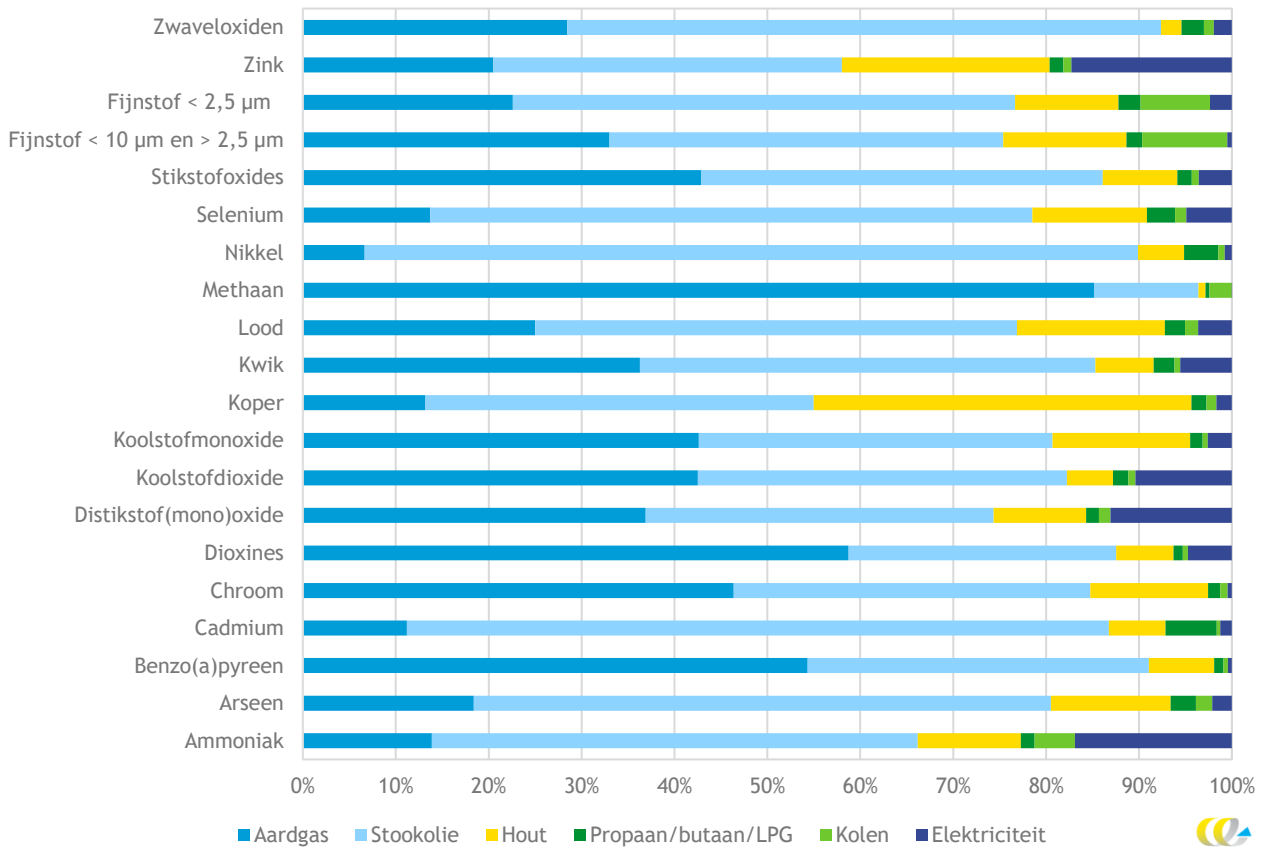
In tabel 22 staan de berekende indirecte emissies gerelateerd aan woningverwarming in Vlaanderen in 2015. Figuur 16 bevat een grafische weergave van de aandelen van energiedragers in de indirecte emissies. De verhouding van de indirecte emissies voor verschillende energiedragers is consistent over de emissie-stoffen heen, maar anders dan bij de directe emissies: Waar bij de directe emissies hout verantwoordelijk is voor het overgrote deel van de uitstoot, levert bij de indirecte emissies stookolie de grootste bijdrage, gevolgd door aardgas, en daarna pas hout.



tabel 22: indirecte emissies van woningverwarming in Vlaanderen in 2015 per energiedrager (kg)

	Aardgas	Stookolie	Hout	Propan/ butaan/ LPG	Kolen	Elektriciteit	Totaal
Ammoniak	7.601	28.619	6.086	806	2.378	9.244	54.733
Arseen	17,1	57,7	11,9	2,5	1,7	2,0	92,9
Benzo(a)pyreen	34,2	23,1	4,4	0,6	0,3	0,3	62,9
Cadmium	8,5	57,7	4,7	4,2	0,3	1,0	76,4
Chroom	418	346	114	12	7	4	902
Dioxine	0,00025	0,00012	0,00003	0,00000	0,00000	0,00002	0,00042
Distikstof(mono)oxide	12.383	12.579	3.345	454	420	4.389	33.569
Elementair koolstof	0,08	0,10	1,61	0,00	0,00	0,00	1,80
Koolstofdioxide	731.031.344	682.427.478	85.285.828	28.455.277	13.309.284	178.344.637	1.718.853.849
Koolstofmonoxide	1.349.149	1.204.718	468.828	42.256	17.196	82.535	3.164.682
Koper	111	352	342	14	9	14	842
Kwik	17,1	23,1	2,9	1,1	0,3	2,6	47,1
Lood	128	265	81	11	7	19	512
Methaan	17.673.274	2.320.463	155.572	83.108	502.649	2.935	20.737.999
NMVOS	0	0	0	0	0	1.616	1.616
Nikkel	68	854	51	38	7	8	1.026
Selenium	8,5	40,4	7,7	1,9	0,8	3,1	62,3
Stikstofoxides	2.415.710	2.431.593	451.278	88.374	42.560	200.472	5.629.987
Fijn stof < 10 µm en > 2,5 µm (PM <sub>2,5-10</sub> )	73.956	94.974	29.698	3.791	20.531	1.146	224.096
Fijn stof met diameter < 2,5 µm (PM <sub>2,5</sub> )	130.918	313.311	64.585	13.747	43.295	13.643	579.498
Zink	205	375	224	15	9	173	1.000
Zwaveloxiden	2.484.201	5.581.898	193.287	208.209	95.213	169.006	8.731.813

figuur 16: aandeel van energiedragers in indirecte emissies van woningverwarming in Vlaanderen in 2015<sup>23</sup>



<sup>23</sup> Volgens de database zijn er nauwelijks indirecte emissies van NMVOS en elementair koolstof (>10% PM<sub>2,5</sub>). Deze zijn daarom niet in de figuur opgenomen.



In tabel 23 worden de relatieve bijdrage van directe en indirecte emissies met elkaar vergeleken. De emissiestoffen zijn hier gerangschikt op aflopend aandeel van de directe emissies in de totale emissies. Deze vergelijking laat een wisselend beeld zien: Bij de helft van de emissiestoffen leveren de directe emissies de grootste bijdrage aan de totale emissies, en bij de andere helft van de emissiestoffen de indirecte emissies. Te zien is dat 86% van de CO<sub>2</sub>-uitstoot van woningverwarming in Vlaanderen in 2015 afkomstig is van de verbranding van brandstoffen voor de woningverwarming. Bij PM<sub>2,5</sub> is dit 93%, terwijl 55% van de PM<sub>2,5-10</sub>-emissies gerelateerd zijn aan de productie en transport van de brandstoffen, en aan elektriciteitsproductie voor de elektriciteitsverbruikende warmtetechnieken.

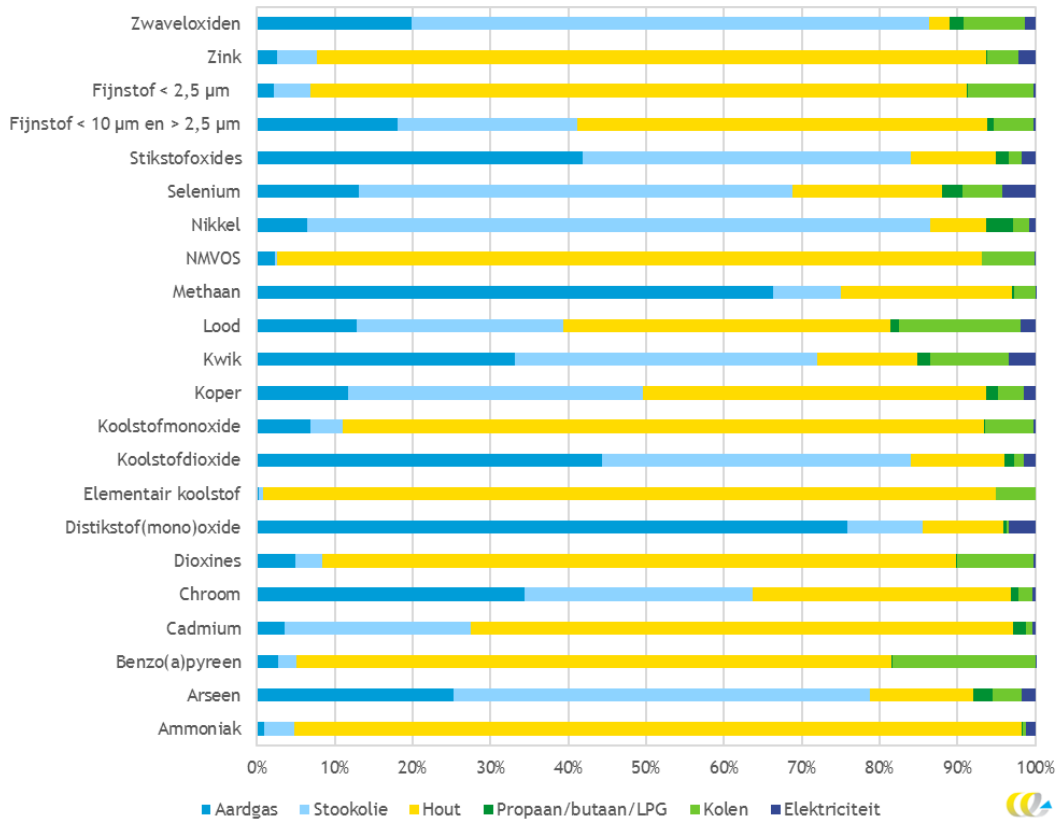
tabel 23: vergelijking directe emissies en indirecte emissies gerelateerd aan woningverwarming in Vlaanderen in 2015

Emissiestof	Directe emissies (kg)	Indirecte emissies (kg)	Aandeel directe emissies
Elementair koolstof	853.834	1,80	100%
NMVOS	6.606.272	1.616	100%
Benzo(a)pyreen	1.163	62,9	95%
Dioxines	0,007	0,00042	94%
Koolstofmonoxide	45.203.216	3.164.682	93%
Fijn stof < 2,5 µm	7.848.258	579.498	93%
Ammoniak	708.303	54.733	93%
Zink	6.776	1.000	87%
Koolstofdioxide	10.752.120.000	1.718.853.849	86%
Distikstof(mono)oxide	95.408	33.569	74%
Cadmium	165	76,4	68%
Stikstofoxides	5.843.869	5.629.987	51%
Lood	491	512	49%
Fijn stof < 10 µm en > 2,5 µm	186.026	224.096	45%
Kwik	30,2	47,1	39%
Zwaveloxiden	3.808.200	8.731.813	30%
Chroom	316	902	26%
Methaan	6.058.162	20.737.999	23%
Selenium	10,4	62,3	14%
Arseen	15,3	92,9	14%
Koper	106	842	11%
Nikkel	40,5	1.026	4%

De directe, indirecte en totale emissies (de som van de directe en indirecte emissies) gerelateerd aan de verwarming van Vlaamse woningen uitgesplitst per energiedrager in 2015 zijn te vinden in de digitale bijlage. De aandelen van energiedragers in de totale emissies zijn weergegeven in figuur 17. We zien hier dat voor twaalf van meegenomen emissiestoffen hout de grootste bijdrage levert, voor zes stoffen is dit stookolie (arseen, kwik, nikkel, selenium, NO<sub>x</sub> en SO<sub>x</sub>), en voor vier stoffen aardgas (chroom, N<sub>2</sub>O, CO<sub>2</sub> en CH<sub>4</sub>). Afgezet tegen de aandelen van energiedragers in het totale energieverbruik voor woningverwarming in 2015 (aardgas 52,0%, stookolie 35,2% en hout 7,7%) laat dit zien dat vooral hout maar ook stookolie relatief veel bijdragen aan de totale emissies.



figuur 17: aandeel van energiedragers in totale emissies van woningverwarming in Vlaanderen in 2015



De totale directe emissies zoals die zijn berekend in deze studie verschillen ietwat van berekeningen in het kader van de Emissie-inventaris Lucht van de Vlaamse Milieumaatschappij over de directe emissies van woningverwarming in 2015 en VITO (2017a), vooral voor de emissies ten gevolge van houtgebruik. Dit komt onder meer door de volgende factoren:

- We hebben gebruik gemaakt van de recente update van de EMEP/EEA emissiefactoren juli 2017.
- Er is bij VITO (2017a) geen rekening gehouden met installatie specifieke rendementen bij houtgestookte verwarmingen. Dit hebben wij in deze studie wel gedaan.
- Er kunnen verschillen zijn opgetreden in de verdeling van houtverbruik over hoofd- en bijverwarming en de installatietypen die zijn gebruikt voor hoofd- en bijverwarming. Hier zou eventueel nog nadere studie voor kunnen worden aanbevolen.



# 4 INSCHATTEN VAN EMISSIES VAN WONINGVERWARMING IN 2030

## 4.1 Inleiding

In dit hoofdstuk verkennen we de mogelijke toekomstige ontwikkeling van woningverwarming en emissies in Vlaanderen. We schatten de directe emissies in 2030 in aan de hand van verwachtingen en aannames met betrekking tot vervanging van installaties, keuzes van huishoudens voor nieuwe installaties, nieuwbouw en isolatiemaatregelen. Hierbij gaan we uit van de voorgestelde beleidsmaatregelen en prognoses voor 2030 zoals beschreven in het Energieplan Vlaanderen (Vlaamse Regering, 2018). Omdat het Energieplan Vlaanderen echter geen volledige prognose geeft van ontwikkelingen per energiedrager/warmtetechniek, vullen wij deze aan op basis van expertinschattingen en eigen berekeningen. Dit resulteert in een volledig scenario voor 2030, welke in hoofdstuk 6 als referentiescenario zal fungeren.

We benadrukken dat het hier geschetste scenario slechts een mogelijk pad is van de ontwikkeling van de emissies. Een belangrijke beperkende aanname is dat we uitgaan van de huidige stand van de technologie van de warmtetechnieken. Voor de nieuwe verwarmingsinstallaties die tot 2030 worden geplaatst, worden daarom dezelfde rendementen en emissiefactoren toegekend als van de nieuwste installaties die in de huidige situatie in Vlaamse huishoudens te vinden zijn (zie hoofdstuk 3). We veronderstellen daarbij dus dat er geen verdere ontwikkeling in de technologie van ruimteverwarming zal plaatsvinden. In hoofdstuk 6 onderzoeken we wat er gebeurt als deze aanname voor houtverbrandingsinstallaties wordt losgelaten.

De berekeningswijze is op hoofdlijnen gelijk aan die van de directe emissies in 2015 in paragraaf 3.3 en volgende. Eerst bepalen we het verwachte aantal wooneenheden per energiedrager in 2030 (paragraaf 4.2), dan het totaalverbruik per energiedrager (paragraaf 4.3), vervolgens wordt dit tot totaalverbruik verdeeld over alle installatietypen en wooneenheden (paragraaf 4.4) en tot slot worden de verwachte directe en indirecte emissies berekend (paragraaf 4.5 en 4.6).

## 4.2 Aantal wooneenheden in 2030

Het startpunt van de inschatting van het totale aantal Vlaamse wooneenheden per energiedrager in 2030 is de verdeling in 2015 zoals beschreven in paragraaf 3.3.1. Ten eerste bepalen we hoeveel nieuwbouw er plaatsvindt en voor welke energiedragers er gekozen wordt in de nieuwgebouwde wooneenheden. Daarna schatten we hoeveel van de installaties er in de rest van het woningbestand zullen worden vervangen tot 2030, aan de hand van de vervangingsgraad van installaties en prognoses uit het Energieplan. Hiermee bepalen we de nieuwe aandelen van energiedragers/warmtetechnieken in 2030. De veranderingen betreffen de periode 2015-2030, maar we rekenen met een periode van tien jaar (2021-2030), omdat het Energieplan deze periode betreft (Vlaamse Regering, 2018).

#### 4.2.1 Nieuwbouw

Nieuwbouw bestaat uit bijbouw (nieuwe kavels) en herbouw (bestaande kavels).

In 2017 leverde herbouw na sloop ca. 3.650 nieuwe wooneenheden op. Met de voorgestelde verlaging van het BTW-tarief voor herbouw vanaf 2021 in heel Vlaanderen kunnen er tot 1.100 woningen per jaar extra worden gesloopt en herbouwd (Vlaamse Regering, 2018). We nemen daarom aan dat er 4.750 huizen per jaar worden *herbouwd* in de periode 2021-2030, totaal dus 47.500 tot 2030. We nemen aan dat daarbij ook de verwarmingsinstallatie wordt vervangen. Er worden nu 10.000 nieuwe woningen per jaar gebouwd in Vlaanderen (Vlaamse Regering, 2018). Aannemend dat dit inclusief herbouw is en dat de 1.100 woningen per jaar hier bovenop komen, betekent dit 111.000 nieuwbouwwoningen tot 2030. De totale *bijbouw* van woningen tot 2030 komt dan uit op 63.500 woningen (111.000 minus 47.500).

De *nieuwbouw per energiedrager* is het aantal huishoudens in een bijgebouwd of herbouwd huis dat voor een specifieke energiedrager (verwarmingstechniek) kiest. We nemen hier voor een groot deel de verwachtingen over uit het Energieplan (Vlaamse Regering, 2018).

- Het Energieplan prognosticeert dat er per jaar 1.000 nieuwbouwwoningen voor een aansluiting op een warmtenet opteren; dit voeren we door voor de periode 2021-2030.
- Er wordt verwacht dat per jaar 5.250 nieuwbouwwoningen voor een warmtepomp kiezen. Er wordt aangenomen dat dit leidt tot een aanwas van 26.250 bodemwarmtepompen en 26.250 luchtwarmtepompen in de periode 2021-2030.
- Bijgebouwde huizen (op nieuwe kavels) zullen niet meer worden aangesloten op het aardgasnet. Voor hergebouwde huizen wordt verwacht dat 57,5% van de 47.500 hergebouwde wooneenheden in de periode 2021-2030 opteert voor aardgas<sup>24</sup>. Dit komt neer op 27.313 wooneenheden.
- We nemen aan dat bij het resterende aantal herbouw-wooneenheden wordt gekozen voor een hybride warmtepomp. Dit zijn 20.187 wooneenheden tot 2030.
- We nemen aan dat in het resterende aantal nieuwbouw-wooneenheden een houtverwarmingsinstallatie wordt geplaatst. Dit gaat om 1.000 wooneenheden tot 2030.
- We nemen aan dat groengas en waterstof niet zullen worden gebruikt. Deze worden niet genoemd in het Energieplan, en verwacht wordt dat deze gassen veelal bij andere toepassingen zullen worden benut<sup>25</sup>.

Bovenstaande leidt tot de inschatting van bijbouw, herbouw en nieuwbouw per energiedrager in de periode tot 2030 zoals weergegeven in tabel 24.

<sup>24</sup> Persoonlijke communicatie, Wim Buelens (VEA), 30 augustus 2018.

<sup>25</sup> Persoonlijke communicatie, Wim Buelens (VEA), oktober 2018.

tabel 24: bijbouw, herbouw en nieuwbouw per energiedrager/warmtetechniek in Vlaanderen in 2021-2030 (# wooneenheden)

Energiedrager	Bijbouw	Herbouw	Nieuwbouw (totaal)
Aardgas*	0	27.313	27.313
Stookolie	0	0	0
Propaan/butaan/LPG	0	0	0
Steenkool	0	0	0
Hout <sup>o</sup>	1.000	0	1.000
Warmtenet <sup>^</sup>	10.000	0	10.000
Weerstandsverwarming	0	0	0
Bodemwarmtepomp <sup>^</sup>	26.250	0	26.250
Luchtwarmtepomp <sup>^</sup>	26.250	0	26.250
Hybride warmtepomp <sup>o</sup>	0	20.187	20.187
Totaal	63.500	47.500	111.000

<sup>^</sup>: Vlaamse Regering (2018)

\*: expert-inschatting

<sup>o</sup>: eigen schatting

#### 4.2.2 Vervanging van installaties

Voor elk van de energiedragers/warmtetechnieken nemen we een vervangingsgraad aan, in de vorm van een percentage van het aantal installaties dat per jaar wordt vervangen. Deze staan in tabel 25, en worden toegepast op de periode 2021-2030. De aannames zijn mede gebaseerd op het gegeven dat ca. 5% van de bestaande Vlaamse aardgasinstallaties per jaar wordt vernieuwd, en 2,5% van de stookolie-installaties (VITO, 2017a). Dit komt er op neer dat in de periode 2021-2030 1.240.026 bestaande installaties worden vervangen. We gaan er daarbij vanuit dat de oudste installaties worden vervangen<sup>26</sup>.

tabel 25: aangenomen vervangingsgraad van warmte-installaties voor de verschillende energiedragers in Vlaanderen voor de periode 2021-2030

Energiedrager/warmtetechniek	Vervangingsgraad
Aardgas	5 %/jaar
Stookolie	2,5 %/jaar
Propaan/butaan/LPG	2,5 %/jaar
Steenkool	2,5 %/jaar
Hout	2,5 %/jaar
Warmtenet	0 %/jaar
Weerstandsverwarming	5 %/jaar
Bodemwarmtepomp	5 %/jaar
Luchtwarmtepomp	5 %/jaar
Hybride warmtepomp	5 %/jaar

<sup>26</sup> In 2017 had Vlaanderen bijna 1,5 miljoen woningen met een installatie ouder dan 15 jaar (Vlaamse Regering, 2018). De vervanging van 1,24 miljoen installaties in 2021-2030 betekent dus dat het merendeel van deze oude installaties wordt vervangen.

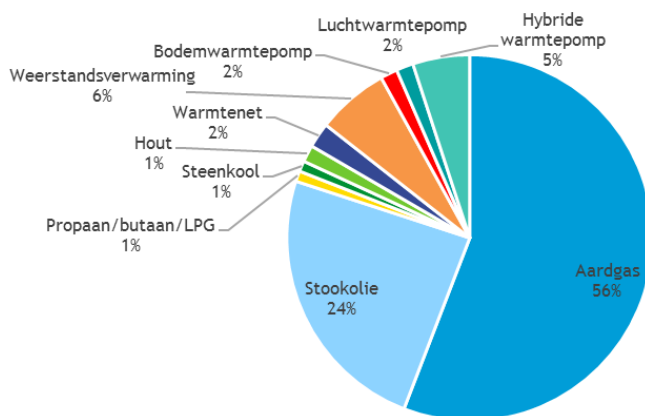




tabel 26: inschatting van het aantal Vlaamse wooneenheden per energiedrager in 2030

Energiedrager	Aantal wooneenheden in 2015	Percentage wooneenheden	Bijbouw	Oude installaties	Nieuwe installaties	Aantal wooneenheden in 2030	Percentage wooneenheden
Aardgas	1.825.308	62,5%	0	912.654	754.080	1.666.734	55,9%
Stookolie	754.179	25,8%	0	188.545	154.774	720.409	24,1%
Propaan/butaan/LPG	29.200	1,0%	0	7.300	5.992	27.892	0,9%
Steenkool	29.200	1,0%	0	7.300	5.992	27.892	0,9%
Hout (hoofdverwarming)	45.434	1,6%	1.000	11.359	9.324	44.400	1,5%
Hout (bijverwarming)	558.998	19,1%	0	139.750	139.750	558.998	18,7%
Warmtenet	10.986	0,4%	10.000	0	45.000	65.986	2,2%
Weerstandsverwarming	208.738	7,1%	0	104.369	85.675	190.044	6,4%
Bodemwarmtepomp	3.400	0,1%	26.250	1.700	17.000	44.950	1,5%
Luchtwarmtepomp	3.400	0,1%	26.250	1.700	17.000	44.950	1,5%
Hybride warmtepomp	10.200	0,3%	0	5.100	145.188	150.288	5,0%
Totaal	2.920.045	100%	63.500	1.240.026	1.240.026	2.983.545	100,0%

figuur 18: aandelen energiedragers/warmtetechnieken voor hoofdverwarming in Vlaamse huishoudens in 2030



### 4.3 Totaal verbruik per energiedrager in 2030

Het totale verbruik per energiedrager in 2030 wordt berekend door het totale verbruik per energiedrager in 2015 te vermenigvuldigen met het aantal wooneenheden per energiedrager in 2030, te delen door het aantal wooneenheden per energiedrager in 2015, en ten slotte te vermenigvuldigen met een reductiefactor isolatiemaatregelen.

Het warmteverbruik wordt dus geschaald op basis van het aantal wooneenheden. We nemen aan dat de rendementen van installaties en de warmtebehoefte van huishoudens in 2030 hetzelfde zijn als die in 2015 en dat alleen isolatiemaatregelen tot een verandering in het brandstofverbruik per huishouden leiden.





tabel 27: aantal wooneenheden en totaal verbruik per energiedrager voor woningverwarming in Vlaanderen in 2015 en 2030

Energiedragers voor woningverwarming Vlaanderen	Aantal wooneenheden in 2015	Totaal verbruik energiedragers in 2015 (PJ)	Percentage	Aantal wooneenheden in 2030	Totaal verbruik energiedragers in 2030 (PJ)	Percentage
Aardgas	1.825.308	85,1	52,0%	1.666.734	67,8	48,8%
Stookolie	754.179	57,7	35,2%	720.409	47,1	33,8%
Propan/butaan/LPG	29.200	2,1	1,3%	27.892	1,8	1,3%
Steenkool	29.200	1,5	0,9%	27.892	1,3	0,9%
Hout (hoofdverwarming)	45.434	1,8	1,1%	44.400	1,5	1,1%
Hout (bijverwarming)	558.998	10,8	6,6%	558.998	10,4	7,4%
Elektriciteit - warmtenet	10.986	0,0	0,0%	65.986	0,1	0,0%
Elektriciteit - weerstandsverwarming	208.738	4,4	2,7%	190.044	4,0	2,9%
Elektriciteit - bodemwarmtepomp	3.400	0,0	0,0%	44.950	0,2	0,1%
Elektriciteit - luchtwarmtepomp	3.400	0,0	0,0%	44.950	0,2	0,2%
Elektriciteit - hybride warmtepomp	10.200	0,1	0,0%	150.288	0,8	0,6%
Aardgas - hybride warmtepomp		0,3	0,2%		3,8	2,8%
Totaal	2.920.045	164	100%	2.983.545	139	100%

## 4.4 Verbruiksaandelen per energiedrager in 2030

De verbruiksaandelen per energiedrager zijn de verbruikshoeveelheden in PJ voor verschillende combinaties van installatietypen, bouwjaren, en houttypen, welke optellen tot het totale brandstofverbruik per energiedrager.

De berekening van de verbruiksaandelen in 2030 en de daarvoor benodigde aantallen wooneenheden per combinatie zijn op dezelfde wijze uitgevoerd als voor het jaar 2015. We nemen hierbij aan dat de percentages wooneenheden per installatietype en de percentages installaties die een bepaald houttype gebruiken niet veranderen. De percentages installaties per bouwjaar in 2030 zijn wel veranderd ten opzichte van 2015. Door de huidige verdeling van bouwjaren per energiedrager aan te passen aan de hand van de oude (te vervangen) installaties per energiedrager zijn we tot een verdeling van bouwjaar in 2030 gekomen, welke is omgezet in percentages installaties per bouwjaar. De verbruiksaandelen zijn te vinden in de digitale bijlage.

## 4.5 Verwachte directe emissies in 2030

De verwachte directe emissies voor 2030 (kg) worden op dezelfde manier berekend als voor 2015. We nemen aan dat de emissiefactoren niet veranderen tussen 2015 en 2030, behalve voor elektriciteit (zie bijlage 2). Voor alle vervangen installaties tot 2030 wordt gerekend met de emissiefactor horend bij de meest recente bouwjaar<sup>31</sup>.

<sup>31</sup> Dit is van toepassing op de energiedragers stookolie, aardgas en hout.

Vergelijking van de directe emissies van woningverwarming in 2015 met de inschatting van de directe emissies in 2030 geeft inzicht in hoe de emissies zich kunnen ontwikkelen wanneer het Energieplan Vlaanderen wordt opgevolgd en de daarin genoemde prognoses werkelijkheid worden. Zie tabel 28. In deze verwachting voor 2030 vermindert de totale uitstoot van woningverwarming voor alle emissiestoffen, ondanks de toename van het totale aantal Vlaamse wooneenheden met 2,2%. Omdat de emissies direct verband houden met het brandstofverbruik, zijn de relatieve uitstootreducties vergelijkbaar met de reductie in het totale verbruik van energiedragers voor woningverwarming (in de orde van -15%). De directe emissies per energiedrager zijn opgenomen in de digitale bijlage.

tabel 28: vergelijking van directe emissies van woningverwarming in Vlaanderen - 2015 en 2030

Stof	Emissies in 2015 (kg)	Verwachte emissies in 2030 (kg)	Vershil (kg)	Vershil (%)
Ammoniak	708.303	586.855	-121.448	-17,1%
Arseen	15,3	13,1	-2,2	-14,2%
Benzo(a)pyreen	1.163	817	-346	-29,7%
Cadmium	165	155	-10	-6,2%
Chroom	316	294	-22	-6,9%
Dioxines	0,0072	0,0051	-0,0021	-29,5%
Distikstof(mono)oxide	95.408	81.693	-13.715	-14,4%
Elementair koolstof	853.834	644.752	-209.082	-24,5%
Koolstofdioxide	10.752.120.000	9.073.829.016	-1.678.290.984	-15,6%
Koolstofmonoxide	45.203.216	36.388.415	-8.814.801	-19,5%
Koper	106	96	-9	-8,7%
Kwik	30,2	26,1	-4,2	-13,7%
Lood	491	449	-42	-8,5%
Methaan	6.058.162	5.623.542	-434.620	-7,2%
Niet-methaan vluchtige organische stoffen	6.606.272	5.315.762	-1.290.510	-19,5%
Nikkel	40,5	36,8	-3,7	-9,1%
Selenium	10,4	9,4	-1,0	-9,5%
Stikstofoxides	5.843.869	4.559.078	-1.284.792	-22,0%
Fijn stof < 10 µm en > 2,5 µm	186.026	126.503	-59.522	-32,0%
Fijn stof < 2,5 µm	7.848.258	5.634.838	-2.213.420	-28,2%
Zink	6.776	6.335	-440	-6,5%
Zwaveloxiden	3.808.200	3.165.455	-642.745	-16,9%

Wanneer we een blik werpen op de relatieve bijdrages van de verschillende energiedragers op de directe emissies voor elk van de emissiestoffen en deze vergelijken met die van 2015 (zie tabel 29), dan is duidelijk dat de veranderingen tussen 2015 en 2030 geen groot effect hebben op de relatieve bijdrages. De emissiebijdrage van hout blijft dominant voor veel luchtverontreinigende stoffen. Ook de bijdrage van steenkool blijft aanzienlijk, ondanks het lage aandeel wooneenheden dat op steenkool verwarmt (1,0%). Bij de uitstoot van CO<sub>2</sub>, NO<sub>x</sub> en kwik hebben aardgas en stookolie een relatief grote bijdrage, en bij arseen en N<sub>2</sub>O is aardgas verantwoordelijk voor meer dan de helft van de totale uitstoot, zowel in 2015 als in 2030.



tabel 29: relatieve bijdrage aan directe emissies van energiedragers bij woningverwarming in Vlaanderen in 2015 en 2030

Stof	2015						2030					
	Gas	Olie	Hout	LPG	Kolen	Elektr.	Gas	Olie	Hout	LPG	Kolen	Elektr.
NH <sub>3</sub>	0%	0%	100%	0%	0%	0%	0%	0%	100%	0%	0%	0%
As	67%	1%	16%	2%	15%	0%	66%	1%	17%	2%	15%	0%
B(a)P	0%	0%	80%	0%	19%	0%	0%	0%	76%	0%	24%	0%
Cd	0%	0%	99%	0%	1%	0%	0%	0%	99%	0%	1%	0%
Cr	0%	4%	92%	0%	5%	0%	0%	3%	92%	0%	4%	0%
PCDD-F	2%	2%	86%	0%	10%	0%	2%	2%	83%	0%	13%	0%
N <sub>2</sub> O	90%	0%	10%	0%	0%	0%	88%	0%	12%	0%	0%	0%
C	0%	1%	94%	0%	5%	0%	0%	1%	93%	0%	6%	0%
CO <sub>2</sub>	45%	40%	13%	1%	1%	0%	44%	38%	15%	1%	1%	0%
CO	4%	2%	87%	0%	7%	0%	5%	2%	86%	0%	7%	0%
Cu	0%	7%	72%	0%	21%	0%	0%	6%	74%	0%	20%	0%
Hg	28%	23%	23%	1%	25%	0%	27%	22%	25%	1%	25%	0%
Pb	0%	0%	69%	0%	31%	0%	0%	0%	71%	0%	29%	0%
CH <sub>4</sub>	1%	1%	94%	0%	4%	0%	1%	1%	95%	0%	3%	0%
NMVOS	2%	0%	91%	0%	7%	0%	2%	0%	90%	0%	7%	0%
Ni	0%	1%	62%	0%	37%	0%	0%	1%	64%	0%	35%	0%
Se	9%	1%	61%	0%	29%	0%	8%	1%	63%	0%	27%	0%
NO <sub>x</sub>	41%	41%	14%	2%	3%	0%	37%	39%	19%	2%	3%	0%
PM <sub>2,5-10</sub>	0%	0%	100%	0%	0%	0%	0%	0%	100%	0%	0%	0%
PM <sub>2,5</sub>	1%	1%	90%	0%	9%	0%	1%	1%	88%	0%	10%	0%
Zn	0%	0%	95%	0%	4%	0%	0%	0%	96%	0%	4%	0%
SO <sub>x</sub>	0%	73%	4%	0%	24%	0%	0%	71%	4%	0%	24%	0%

## 4.6 Verwachte indirecte emissies in 2030

De indirecte emissies in 2030 veranderen naar rato van de veranderingen in het gebruik van energiedragers, en in geval van elektriciteit ook als gevolg van de veranderde elektriciteitsproductiemix<sup>32</sup>. De indirecte emissies van elektriciteit (dus die van elektriciteitsproductie) dalen voor sommige stoffen, maar stijgen bijvoorbeeld voor CO<sub>2</sub>, omdat het aandeel aardgas toeneemt in de productiemix door de uitfasering van kernenergie.

In tabel 30 zijn de indirecte emissies per energiedrager in 2030 gepresenteerd. Stookolie en aardgas leveren de grootste bijdrage aan de indirecte emissies, gevolgd door hout. Elektriciteitsverbruikende verwarmingsinstallaties zijn verantwoordelijk voor vrijwel alle (indirecte) uitstoot van niet-methaan vluchtige organische stoffen (NMVOS), en voor 20-30% van de (indirecte) uitstoot van ammoniak, N<sub>2</sub>O, CO<sub>2</sub> en zink<sup>33</sup>, maar dragen voor 7% of minder bij aan de uitstoot van andere stoffen.

<sup>32</sup> Alleen voor elektriciteit hebben we in deze studie gecorrigeerd voor de veranderingen in de productiemix. Er is geen rekening gehouden met eventuele technologische veranderingen die de emissies lager kunnen maken.

<sup>33</sup> Om dit in perspectief te plaatsen: Voor deze stoffen is de bijdrage van de directe emissies aan de totale emissies het grootst, zoals te zien in tabel 29.



tabel 31: vergelijking directe emissies en indirecte emissies gerelateerd aan woningverwarming in Vlaanderen in 2030

Stof	Indirecte emissies (kg)	Directe emissies (kg)	Totale emissies (kg)	Aandeel directe emissies
Elementair koolstof	644.752	2	644.754	100%
NMIVOS	5.315.762	3.803	5.319.565	100%
Benzo(a)pyreen	817	53	870	94%
Dioxines	0	0	0	93%
Koolstofmonoxide	36.388.415	2.778.985	39.167.400	93%
Ammoniak	586.855	49.114	635.969	92%
Fijn stof < 2,5 µm	5.634.838	483.323	6.118.161	92%
Zink	6.335	903	7.239	88%
Koolstofdioxide	9.073.829.016	1.644.824.868	10.718.653.883	85%
Cadmium	155	64	219	71%
Distikstof(mono)oxide	81.693	35.014	116.706	70%
Lood	449	434	883	51%
Stikstofoxides	4.559.078	4.843.262	9.402.339	48%
Kwik	26	38	64	41%
Fijn stof < 10 µm en > 2,5 µm	126.503	188.600	315.104	40%
Zwaveloxiden	3.165.455	7.141.871	10.307.326	31%
Chroom	294	762	1.056	28%
Methaan	5.623.542	17.385.652	23.009.194	24%
Selenium	9	50	60	16%
Arseen	13	77	90	14%
Koper	96	736	832	12%
Nikkel	37	848	885	4%



# DEEL II

## RESULTATEN EN ANALYSE



## 5 BEREKENING VAN MILIEUSCHADEKOSTEN

### 5.1 Inleiding

Op basis van de informatie over de milieuprijzen (uit hoofdstuk 2) en de emissies ten gevolge van woningverwarming (hoofdstukken 3 en 4) kunnen vervolgens de milieuschadekosten (in euro per jaar) worden uitgerekend. Dit hoofdstuk presenteert zowel de milieuschadekosten per installatie per eenheid geleverde warmte als de milieuschadekosten voor Vlaanderen in totaal. De milieuschadekosten worden steeds gegeven voor zowel de directe als de totale emissies (directe plus indirecte bij elkaar opgeteld).

De milieuschadekosten per eenheid geleverde warmte geeft informatie over de relatieve schadelijkheid van de verschillende technieken en brandstoffen die worden gebruikt voor woningverwarming in Vlaanderen. Deze analyse zal ook inzicht geven in hoeverre nieuwe installaties lagere milieuschadekosten kennen dan oudere installaties. De analyse van de milieuschadekosten per eenheid geleverde warmte is te vinden in paragraaf 5.2.

Daarnaast worden in dit hoofdstuk ook de totale milieuschadekosten voor Vlaanderen berekend in paragraaf 5.3. In paragraaf 5.3 presenteren we de resultaten zowel voor 2015 als voor een scenario voor 2030 en bespreken we de mogelijke ontwikkeling in milieuschadekosten door de tijd heen. Bij de totale milieuschadekosten bespreken we tevens de onzekerheidsmarges en geven aan wat zou gebeuren als we zouden rekenen met de onder- en bovenwaarden van milieuschadekosten.

### 5.2 Milieuschadekosten per installatie per eenheid warmte

In het onderzoek worden in totaal 210 zogeheten ‘verwarmingssituaties’ bekeken die bestaan uit de verschillende installatietypen, met verschillende levensduur gebruik makend van verschillende soorten brandstoffen. Voor de behandeling op installatieniveau kunnen we niet steeds de informatie voor elk van deze 210 situaties weergeven. Daarom zullen we in deze paragraaf een onderverdeling maken naar:

1. Vergelijking van de meest recente typen toestellen met verschillende brandstoffen.
2. Een vergelijking naar de leeftijd van de verschillende typen toestellen.
3. Vergelijking tussen de diverse toestellen voor houtverbranding met een nadere onderverdeling naar soort hout dat wordt verstoekt in deze toestellen.

De indicator die in deze paragraaf wordt gebruikt is uitgedrukt in €/GJ geleverde warmte. Dit is de warmte die effectief gebruikt wordt om de woning te verwarmen en bevat de door het toestel gebruikte warmte gecorrigeerd voor het installatierendement. Conform VITO (2017a) wordt het installatierendement gedefinieerd als het product van vier rendementen: het productierendement, het distributierendement, het afgifterendement en het regelrendement. De gebruikte rendementen staan in tabel 12 (elektriciteitsverbruikende installaties) en tabel 16 (andere installaties). In bijlage 5 staan de diverse rendementen van houtgestookte installaties in meer detail omschreven.



tabel 32: milieuschadeprijzen voor de nieuwste installatietypen per GJ geleverde warmte gerekend met de centrale waarden van de milieuprijzen

Energiedrager/warmtetechniek	Grootte	Installatietype	Kosten directe emissies (€/GJ geleverde warmte)	Kosten totale emissies (€/GJ geleverde warmte)
Aardgas	< 70 kW	Condenserende ketel	4,17	6,79
	< 70 kW	Niet-condenserende ketel, vanaf 2012	5,11	8,14
	> 70 kW	Condenserende ketel	4,49	7,23
Stookolie	< 70 kW	Condenserende ketel	7,53	12,61
	< 70 kW	Niet-condenserende ketel, vanaf 2012	8,59	14,35
	> 70 kW	Condenserende ketel	8,13	13,53
Hout		Cassette, > = 2017	63,54 – 74,22*	68,67 – 80,37*
		Kachel, > = 2017	51,63 – 60,31*	55,79 – 65,30*
		Ketel, > = 2017	33,22 – 36,82*	33,71 – 43,81*
		Open haard, > = 2017	1.654 – 1.665*	1.663 – 1.707*
		Speksteen/tegelkachel, > = 2017	47,47 – 55,45*	51,30 – 60,05*
Propan/butaan/LPG		Centraal	7,13	13,66
Kolen		Centraal	114,19	125,12
Elektriciteit – warmtenet <sup>#</sup>			0,00	0,26
Elektriciteit – weerstandsverwarming <sup>^</sup>			0,00	5,20
Elektriciteit – bodemwarmtepomp <sup>^</sup>			0,00	1,04
Elektriciteit – luchtwarmtepomp <sup>^</sup>			0,00	1,31
Elektriciteit – hybride warmtepomp <sup>^</sup>			2,09	4,26

\* Range wordt verklaard door het soort hout dat in de installatie wordt gestopt. Bij de berekeningen is uitgegaan van de waarden voor de stad. Indien de kachel in het platteland wordt neergezet kunnen de milieuschadeprijzen dalen. In de bijlage tabellen staat een tabel die deze waarden weergeeft.

<sup>^</sup> Gerekend met een gemiddeld elektriciteitspark en rekening houdend met gebruik van elektrische verwarming voor een ketel met radiatoren. Indien met een marginaal elektriciteitspark (het park dat ingezet wordt bij een additionele vraag naar elektriciteit) zou worden gerekend zullen de schadeprijzen hoger zijn.

<sup>#</sup> Het elektriciteitsverbruik van een warmtenet betreft de elektriciteit die nodig is om aard- of restwarmte te leveren aan huishoudens. Er is geen rekening gehouden met een dervingsfactor voor eventuele rendementsverliezen bij de installatie die restwarmte levert.

Het blijkt uit deze tabel dat het gebruik van andere houtgestookte toestellen voor ruimteverwarming dan open haarden lagere schadeprijzen geeft. De schadeprijzen blijven evenwel in alle gevallen substantieel hoger dan bij gas- of oliegestookte eenheden. Voorts blijkt uit de analyse dat de niet-condenserende verwarmingseenheden hogere emissiekosten kennen dan de condenserende eenheden (20% hoger voor aardgasgestookte ketels en 14% voor stookoliegestookte ketels). Het toepassen van moderne hoogrendementsketels (condenserende gasgestookte toestellen) in plaats van niet-condenserende gas- of oliegestookte verwarmingseenheden kan dus ook de milieuschadeprijzen doen dalen, maar niet zoveel als vervanging van houtgestookte eenheden door gasgestookte eenheden.

### 5.2.2 Vergelijking van de milieuschadeprijzen voor verschillende leeftijden

In de woningverwarming vindt men nog installaties die enkele decennia oud zijn. Nieuwe installaties zijn evenwel vaak energiezuiniger en kennen lagere emissies per eenheid geleverde warmte. Tabel 33 geeft een overzicht van de milieuschadeprijzen en vergelijkt de diverse installatietypen onderverdeeld naar leeftijd,



per brandstofsoort. Voor hout geeft deze tabel tevens informatie over de diverse typen die kunnen worden gebruikt bij het verwarmen van de woning op hout.

tabel 33: milieuschadeprijzen per installatietype per GJ geleverde warmte gerekend met de centrale waarden van de milieuprijzen – installaties met verschillende bouwjaren

Energiedrager/ warmtetechniek	Installatietype	Bouwjaarklasse	Kosten directe emissies (€/GJ geleverde warmte)	Kosten totale emissies (€/GJ geleverde warmte)
Aardgas	< 70 kW, condenserend <sup>^</sup>	-	4,17	6,79
		< 70 kW, niet-condenserend	Jaren '70	8,29
		Jaren '80	7,61	11,38
		Jaren '90	6,06	9,35
		2000-2004	5,38	8,41
		2005-2009	5,38	8,41
		2010-2011	5,38	8,41
		Vanaf 2012	5,11	8,14
Stookolie	< 70 kW, condenserend <sup>^</sup>	-	7,53	12,61
		< 70 kW, niet-condenserend	Jaren '70	12,58
		Jaren '80	11,18	18,05
		Jaren '90	10,07	16,24
		2000-2004	8,59	14,35
		2005-2009	8,59	14,35
		2010-2011	8,59	14,35
		Vanaf 2012	8,59	14,35
Hout*	Cassette*	< 2000	350,45 - 351,83	351,28 - 362,51
		2000-2013	63,54 - 276,76	68,67 - 282,91
		2014-2016	63,54 - 109,1	68,67 - 115,25
		> = 2017	63,54 - 74,22	68,67 - 80,37
	Kachel*	< 2000	506,2 - 508,19	507,41 - 523,62
		2000-2013	59 - 257	63,76 - 262,71
		2014-2016	51,63 - 88,64	55,79 - 93,64
		> = 2017	51,63 - 60,31	55,79 - 65,3
	Ketel*	< 2000	36,82 - 200,27	39,79 - 204,28
		2000-2013	36,82 - 97,24	39,79 - 101,25
		2014-2016	36,82 - 97,24	39,79 - 101,25
		> = 2017	33,22 - 36,82	33,71 - 43,81
	Open haard*	< 2000	1659 - 1665	1662 - 1712
		2000-2013	1654 - 1665	1659 - 1707
		2014-2016	1654 - 1665	1659 - 1707
		> = 2017	1654 - 1665	1659 - 1707
	Speksteen /tegelkachel*	< 2000	47,47 - 206,78	51,3 - 211,37
		2000-2013	47,47 - 206,78	51,3 - 211,37
		2014-2016	47,47 - 81,51	51,3 - 86,11
		> = 2017	47,47 - 55,45	51,3 - 60,05

\* Range wordt verklaard door het soort hout dat in de installatie wordt gestopt. Bij de berekeningen is ervan uitgegaan van de waarden voor de stad. Indien de kachel in het platteland wordt neergezet kunnen de milieuschadeprijzen dalen. In de Digitale Bijlage staat een tabel die deze waarden weergeeft.

<sup>^</sup> Bij de indeling naar leeftijdsklassen wordt alleen onderscheid gemaakt voor niet-condenserende ketels. De emissiefactoren voor de condenserende ketels zijn niet gedifferentieerd naar leeftijdsklasse.



Deze tabel laat zien dat de milieuschadeprijzen lager worden als oudere toestellen worden vervangen door nieuwere. Bij gasgestookte installaties betekent het vervangen van een toestel uit de jaren '90 (€ 6,06 per GJ) door een recente niet-condenserende ketel (€ 5,11 per GJ) een verlaging van de milieuschadeprijzen van de directe emissies van € 0,95 per GJ geleverde warmte. Vervanging van een dergelijke jaren '90 toestel door een moderne hoogrendementsketel kan de milieuschadeprijzen verder terugdringen, leidend tot een totale reductie van € 1,89 per GJ (ca. 30%).

Voor de diverse installatietypen bij houtstook bestaan er grote verschillen tussen de toestellen. Bij open haarden en ketels kennen nieuwere toestellen volgens de gehanteerde emissiefactoren nauwelijks lagere emissiekosten. Dit is anders bij kachels en cassettes waarbij modernere varianten tot 90% minder milieuschadeprijzen veroorzaken dan oudere varianten, wat onder meer komt door efficiëntere verbrandingsprocessen. Overigens blijven de milieuschadeprijzen voor moderne cassettes en kachels nog steeds een factor 1,6-2 boven die van ketels liggen.

### 5.2.3 Vergelijking van de milieuschadeprijzen voor verschillende soorten hout

De milieuschadeprijzen van de diverse houtgestookte verwarmingstoestellen zijn mede afhankelijk van de verstoekte typen houtbrandstof. In tabel 34 staan de milieuschadeprijzen per installatietype per GJ geleverde warmte voor verschillende houtinstallaties en houttypen, voor de nieuwste bouwjaarklassen van de installaties (met bouwjaar 2017 of nieuwer), gerekend met de centrale waarden van de milieuprijzen. De CO<sub>2</sub>-kosten van houtverbrandingen zijn hierbij inbegrepen.

tabel 34: Vergelijking milieuschadeprijzen voor houtinstallaties en houttypen per GJ geleverde warmte gerekend met de centrale waarden van de milieuprijzen inclusief volledige toerekening van de CO<sub>2</sub>-kosten van directe emissies, voor de nieuwste technieken

	Cassette	Kachel	Ketel	Open haard	Speksteen/ tegelkachel
<b>Directe emissies (€/GJ geleverde warmte)</b>					
Briketten	73,45	59,67	33,22	1659	54,87
Houtafval – onbehandeld	73,45	59,67	33,22	1659	54,87
Houtafval – niet-verontreinigd behandeld	73,45	59,67	33,22	1659	54,87
Houtkrullen	73,45	59,67	33,22	1659	54,87
Pellets – lokaal	63,54	51,63	36,82	1654	47,47
Pellets – Canada en Noord-Amerika	63,54	51,63	36,82	1654	47,47
Snoeihout	73,45	59,67	33,22	1659	54,87
Stukhout	73,45	59,67	33,22	1659	54,87
<b>Totale emissies (€/GJ geleverde warmte)</b>					
Briketten	78,57	63,84	36,19	1682	58,70
Houtafval – onbehandeld	74,28	60,36	33,71	1663	55,50
Houtafval – niet-verontreinigd behandeld	74,28	60,36	33,71	1663	55,50
Houtkrullen	75,49	61,34	34,41	1668	56,40
Pellets – lokaal	68,67	55,79	39,79	1677	51,30
Pellets – Canada en Noord-Amerika	75,60	61,42	43,81	1707	56,48
Snoeihout	76,38	62,06	34,92	1672	57,07
Stukhout	80,37	65,30	37,24	1689	60,05

We observeren hier het volgende:

- De kosten van de emissies van de open haard liggen ongeveer 50 keer hoger dan die van een nieuwe ketel.
- De houtgestookte ketel komt naar voren als het installatietype met de laagste schadekosten voor het gebruik van hout als brandstof.
- Voor wat betreft de houttypen brengen pellets de laagste kosten met zich mee, behalve bij de nieuwste ketels, waar houtafval tot de laagste kosten leidt.
- Het verschil tussen lokale pellets en pellets uit Canada en Noord-Amerika zijn de indirecte emissies. Hierdoor liggen de schadekosten van pellets uit Canada en Noord-Amerika 10% hoger bij alle nieuwste installatietypen, behalve de open haard.
- Kijkend naar de kosten van de totale emissies lijkt de beste installatie-hout-combinatie te zijn om houtafval te stoken in de nieuwste ketel. Dit levert totale milieuschadecosten op van € 33,71 per GJ geleverde warmte. Toch levert dat altijd nog milieuschadecosten op die een factor 5 hoger liggen dan een condenserend gasgestookt toestel.

Bij deze cijfers zijn de CO<sub>2</sub>-emissies ten gevolge van houtverbranding meegenomen. Zoals beargumenteerd in hoofdstuk 3 kan men ook van het standpunt uitgaan dat houtverbranding geen CO<sub>2</sub>-emissies kent omdat het gaat om verbranding van eerder opgeslagen koolstof (zie ook de discussie in paragraaf 3.5). Als we voor biomassa de CO<sub>2</sub>-uitstoot buiten beschouwing zouden laten, zouden de milieuschadecosten lager worden. In tabel 35 staan de milieuschadecosten per houtinstallatie zonder dat de CO<sub>2</sub>-kosten van houtverbranding hierin zijn meegenomen. De milieuschadecosten voor de nieuwste installaties zijn nu 20-25% lager; voor de oudste installaties is dit 4-5% (behalve bij pellets, waar deze waarden eveneens 20% lager zijn).

tabel 35: vergelijking milieuschadecosten voor houtinstallaties en houttypen per GJ geleverde warmte gerekend met de centrale waarden van de milieuprijzen zonder toerekening van de CO<sub>2</sub>-kosten van directe emissies, nieuwste technieken

	Cassette	Kachel	Ketel	Open haard	Speksteen /tegelkachel
<b>Directe emissies (€/GJ geleverde warmte)</b>					
Briketten	58,68	47,67	24,66	1.595	43,84
Houtafval - onbehandeld	58,68	47,67	24,66	1.595	43,84
Houtafval – niet-verontreinigd behandeld	58,68	47,67	24,66	1.595	43,84
Houtkrullen	58,68	47,67	24,66	1.595	43,84
Pellets - lokaal	48,77	39,63	28,26	1.590	36,44
Pellets – Canada en Noord-Amerika	48,77	39,63	28,26	1.590	36,44
Snoeihout	58,68	47,67	24,66	1.595	43,84
Stukhout	58,68	47,67	24,66	1.595	43,84
<b>Totale emissies (€/GJ geleverde warmte)</b>					
Briketten	63,80	51,84	27,63	1.618	47,67
Houtafval - onbehandeld	59,51	48,36	25,15	1.599	44,46
Houtafval – niet-verontreinigd behandeld	59,51	48,36	25,15	1.599	44,46
Houtkrullen	60,72	49,34	25,85	1.604	45,37
Pellets - lokaal	53,90	43,79	31,23	1.613	40,27
Pellets – Canada en Noord-Amerika	60,83	49,42	35,25	1.643	45,45
Snoeihout	61,61	50,06	26,36	1.608	46,03
Stukhout	65,60	53,30	28,68	1.625	49,01

De bovenstaande observaties blijven allemaal ook van kracht als er geen CO<sub>2</sub>-emissies aan houtstook worden toegerekend. Afvalhout verstoekt in ketels blijft de laagste milieuschadeprijzen kennen, van ruim € 25 per GJ geleverde warmte. Toch is dit altijd nog een factor 3,5 hoger dan de milieuschadeprijzen van gasgestookte condenserende toestellen (€ 6,79/GJ warmte) en een factor 100 dan de milieuschadeprijzen van de schoonste techniek (warmtenet op afvalwarmte zonder dervingsfactor).

## 5.3 Totale milieuschadeprijzen van woningverwarming in Vlaanderen

De totale milieuschadeprijzen van woningverwarming in Vlaanderen (in euro's) worden berekend door de milieuprijzen (in euro/kg) uit paragraaf 5.2 te vermenigvuldigen met de emissies (in kg) uit hoofdstukken 3 en 4. In deze paragraaf berekenen we de totale milieuschadeprijzen voor geheel Vlaanderen onderverdeeld naar energiedrager. Daarbij houden we ook rekening met het verschil in voorkomen in landelijke en stedelijke gebieden conform de aanpak besproken in paragraaf 2.5. In paragraaf 5.3.1 behandelen we de milieuschadeprijzen in 2015. In paragraaf 5.3.2 volgen de milieuschadeprijzen volgens het scenario 2030.

### 5.3.1 Resultaten 2015: Milieuschadeprijzen directe emissies

We rekenen allereerst de directe emissies ten gevolge van woningverwarming door met de centrale waarde van de milieuschadeprijzen. Tabel 36 geeft de uitkomst per energiedrager en de totale milieu-schadeprijzen voor Vlaanderen. De verdeling van de milieuschadeprijzen over emissiestoffen is geïllustreerd in figuur 19 en de verdeling over energiedragers in figuur 20.

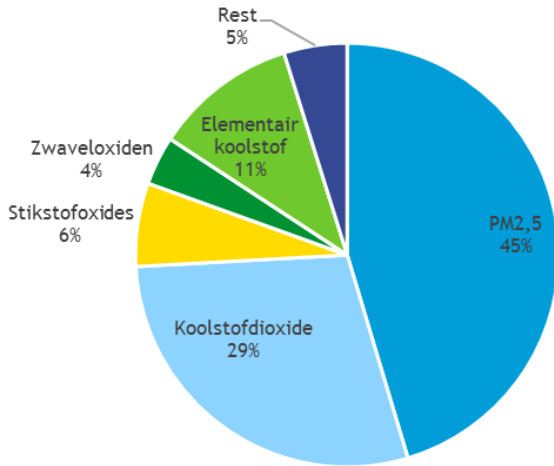


tabel 36: milieuschadeprijzen door directe emissies voor woningverwarming in Vlaanderen in 2015 in mln euro's gerekend met de centrale waarde voor milieuschadeprijzen uitgesplitst naar energiedrager

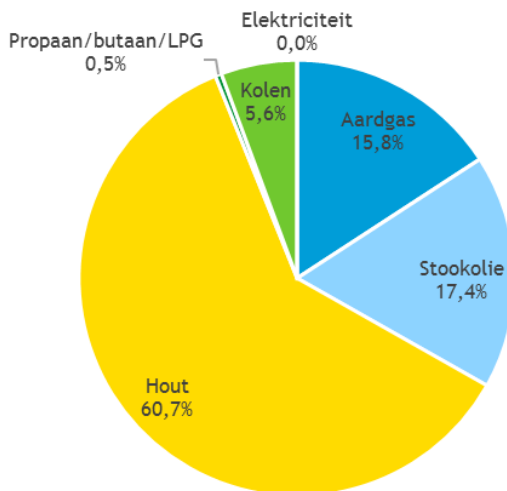
	Aardgas	Stookolie	Hout	Propan/ Butaan/ LPG	Kolen	Elektriciteit	Totaal
Ammoniak	0	0	24,7	0	1,57E-02	0	24,7
Arseen	0,0106	0,0001	0,0025	0,0003	0,0023	0	0,02
Benzo(a)pyreen	5,45E-07	5,26E-05	1,06E-02	1,34E-08	2,57E-03	0	0,01
Cadmium	2,47E-05	6,69E-05	1,90E-01	6,08E-07	1,74E-03	0	0,2
Chroom	3,44E-08	6,12E-06	1,54E-04	8,46E-10	7,95E-06	0	0,0002
Dioxines	0,0086	0,0099	0,4170	0,0002	0,0503	0	0,5
Distikstof(mono)oxide	1,3	0	0,15	0	0	0	1,4
Elementair koolstof	0	1,1	232	0	0	0	233,1
Koolstofdioxide	273,1	243,7	80,4	7,6	8,1	0	612,9
Koolstofmonoxide	0,3	0,1	5,1	0,01	0,4	0	5,9
Koper	2,86E-08	3,30E-05	3,33E-04	7,02E-10	9,90E-05	0	0,0005
Kwik	0,3	0,2	0,2	0,007	0,3	0	1,0
Lood	0,00076	0,00409	2,00990	0,00002	0,88620	0	2,9
Methaan	0,2	0,1	10,1	0,004	0,4	0	10,7
NMVOS	0,4	0,04	16,7	0,01	1,3	0	18,4
Nikkel	5,79E-06	3,84E-05	3,35E-03	1,42E-07	2,00E-03	0	0,005
Selenium	8,45E-05	1,04E-05	5,67E-04	2,08E-06	2,70E-04	0	0,0009
Stikstofdioxides	55,5	55,6	18,9	2,2	3,5	0	135,6
PM <sub>2,5-10</sub>	0	0,1	37,0	0	0	0	37,1
PM <sub>2,5</sub>	6,1	11,4	862,6	0,1	86,8	0	967,1
Zink	1,51E-06	2,86E-04	0,08	3,72E-08	0,004	0	0,1
Zwaveloxiden	0	57,9	2,9	0	18,8	0	79,6
<b>Totaal (M€)</b>	<b>337,1</b>	<b>370,2</b>	<b>1.293,6</b>	<b>9,9</b>	<b>120,4</b>	<b>0</b>	<b>2.131,3</b>



figuur 19: milieuschadeprijzen door directe emissies voor woningverwarming in Vlaanderen in 2015 berekend met de centrale waarde voor milieuschadeprijzen – verdeling over emissiestoffen



figuur 20: milieuschadeprijzen door directe emissies voor woningverwarming in Vlaanderen in 2015 berekend met de centrale waarde voor milieuschadeprijzen – verdeling over energiedragers



Uit tabel 36 blijkt dat de totale milieuschadeprijzen door directe emissies van woningverwarming in Vlaanderen in 2015 ongeveer 2,1 miljard euro bedragen. Het verstoken van hout is daarbij verantwoordelijk voor 61% van de schadekosten, terwijl hout slechts 7,7% van het energieverbruik voor woningverwarming inneemt. Naast hout zijn ook stookolie en aardgas gezamenlijk verantwoordelijk voor 33% van de schadekosten. Kolen, hoewel nauwelijks nog gebruikt voor woningverwarming, is nog steeds verantwoordelijk voor 5,6% van de totale schadekosten.

Als we kijken naar de diverse emissies die bijdragen aan de schadekosten, blijkt dat emissies van PM<sub>2,5</sub> voor 45% verantwoordelijk zijn voor de totale schadekosten. Daarna komen de CO<sub>2</sub>-emissies die voor 29% bijdragen aan de totale schadekosten. Emissies van zware metalen dragen relatief weinig bij aan de totale milieuschadekosten.

We hebben de milieuschadekosten doorgerekend met drie milieuprijzen: een ondergrens (minimumwaarde), een centrale waarde en een bovengrens (maximumwaarde), welke staan voor de onzekerheid in de waardering van de impacts van milieuvervuiling. Een verdere detaillering van de onder- en bovengrenzen uitgesplitst naar emissie en brandstofsoort is te vinden in de digitale bijlage. Uit deze berekening blijkt dat de milieuschadekosten dalen van 2,1 miljard euro in de centrale variant naar 1,5 miljard euro in de minimumvariant, en stijgen naar 3,4 miljard euro in de maximumvariant, als alleen de directe emissies worden beschouwd.

Bij de berekening van de milieuschadekosten voor directe emissies hierboven zijn de CO<sub>2</sub>-emissies bij houtverbranding meegenomen. De verbranding van hout voor woningverwarming wordt soms echter gezien als CO<sub>2</sub>-neutraal, omdat de CO<sub>2</sub> die vrijkomt eerder is opgenomen door het hout. Wanneer we de houtverbranding als CO<sub>2</sub>-neutraal zien, zijn de bijbehorende milieuschadekosten voor CO<sub>2</sub>-emissies gelijk aan nul. In dat geval dalen de totale milieuschadekosten van directe emissies in 2015 met 3,8% (80,4 M€) tot 2,05 miljard euro (centrale waarde).

### 5.3.2 Resultaten 2015: Milieuschadekosten totale emissies

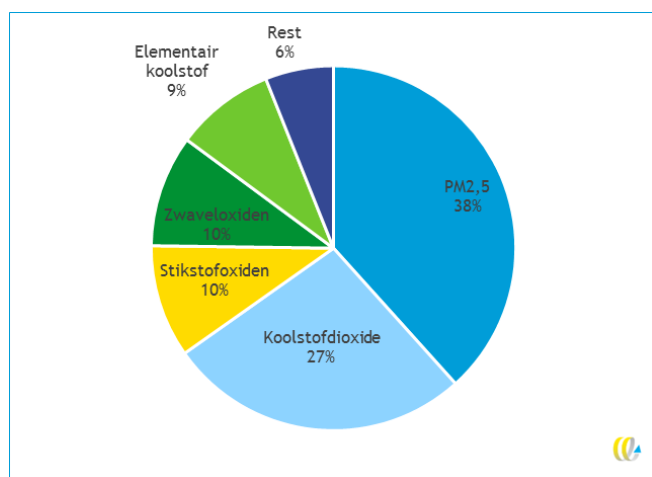
Als we ook de emissies in de voorketen in ogenschouw nemen worden de jaarlijkse milieuschadekosten groter en stijgen met 24,0% tot 2,64 miljard euro (centrale waarde). Tabel 37 geeft de milieuschadekosten van de totale emissies (de directe plus de indirecte emissies) van woningverwarming in 2015. De verdeling van de milieuschadekosten over emissiestoffen is geïllustreerd in figuur 21 en de verdeling over energiedragers in figuur 22. De CO<sub>2</sub>-kosten van houtverbranding (directe emissies) zijn hier meegenomen. Wanneer deze niet worden meegerekend, dalen de milieuschadekosten met 3,0% (80,4 M€).



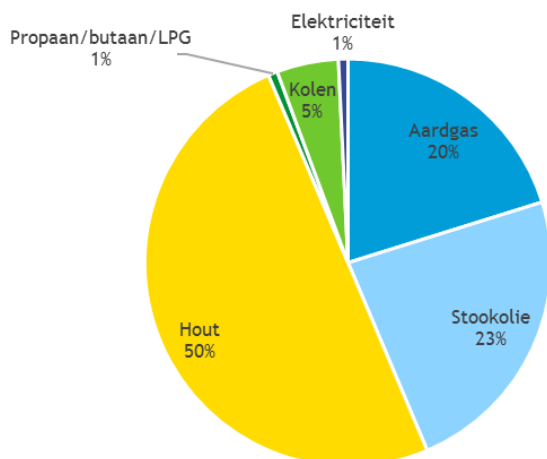
tabel 37: milieuschadeposten per energiedrager voor woningverwarming in Vlaanderen in 2015, in mln euro's gerekend met de centrale waarde voor milieuschadeposten, totale emissies

	Aardgas	Stookolie	Hout	Propan/ Butaan/ LPG	Kolen	Elektriciteit	Totaal
Ammoniak	0,3	1,0	24,9	0,03	0,1	0,3	26,6
Arseen	0,03	0,1	0,01	0,003	0,004	0,002	0,1
Benzo(a)pyreen	0,0004	0,0003	0,01	0,00001	0,003	0,000003	0,01
Cadmium	0,01	0,1	0,2	0,005	0,002	0,001	0,3
Chroom	0,0002	0,0002	0,0002	0,00001	0,00001	0,000002	0,001
Dioxines	0,03	0,02	0,4	0,001	0,1	0,001	0,5
Distikstof(mono)oxide	1,5	0,2	0,2	0,01	0,01	0,1	1,9
Elementair koolstof	0,0001	1,1	232,0	3,0E-06	7,0E-07	2,2E-08	233,1
Koolstofdioxide	314,8	282,6	85,3	9,2	8,8	10,2	710,8
Koolstofmonoxide	0,4	0,3	5,2	0,01	0,4	0,01	6,3
Koper	0,0005	0,002	0,002	0,0001	0,0001	0,0001	0,004
Kwik	0,9	1,0	0,3	0,04	0,3	0,1	2,7
Lood	0,8	1,6	2,5	0,1	0,9	0,1	5,9
Methaan	31,4	4,2	10,4	0,2	1,3	0,01	47,3
NMVOS	0,4	0,04	16,7	0,01	1,3	0,005	18,4
Nikkel	0,01	0,1	0,01	0,005	0,003	0,001	0,1
Selenium	0,001	0,004	0,001	0,0002	0,0003	0,0003	0,01
Stikstofoxides	110,7	111,1	29,2	4,2	4,5	4,6	264,2
PM <sub>2,5-10</sub>	4,1	5,4	38,7	0,2	1,1	0,1	49,6
PM <sub>2,5</sub>	16,6	36,4	867,8	1,2	90,2	1,1	1.013,2
Zink	0,002	0,005	0,1	0,0002	0,004	0,002	0,1
Zwaveloxiden	51,9	174,6	6,9	4,4	20,8	3,5	262,1
<b>Totaal</b>	<b>533,7</b>	<b>619,7</b>	<b>1.320,8</b>	<b>19,5</b>	<b>129,8</b>	<b>20,0</b>	<b>2.643,5</b>

figuur 21: milieuschadeposten door totale emissies voor woningverwarming in Vlaanderen in 2015 gerekend met de centrale waarde voor milieuschadeposten – verdeling over emissiestoffen



figuur 22: milieuschadecosten door totale emissies voor woningverwarming in Vlaanderen in 2015 gerekend met de centrale waarde voor milieuschadecosten – verdeling over energiedragers



De resultaten zijn relatief vergelijkbaar met die van de directe emissies omdat de indirecte emissies minder belangrijk zijn in het geheel. De relatieve bijdrage van PM<sub>2,5</sub> is nu 38%, terwijl stikstofoxides en zwavel-oxides relatief belangrijker worden. Hierbij dient te worden opgemerkt dat een deel van de indirecte emissies in andere landen neerslaat, waarbij de emissies zijn gewaardeerd met waarden voor Vlaanderen. Los van het ethisch vraagstuk of emissies in andere landen lager mogen worden gewaardeerd dan emissies in eigen land, is het in het kader van dit project niet mogelijk om precies te bepalen waar de indirecte emissies worden uitgestoten en welke waardering daar aan moet worden toegekend.

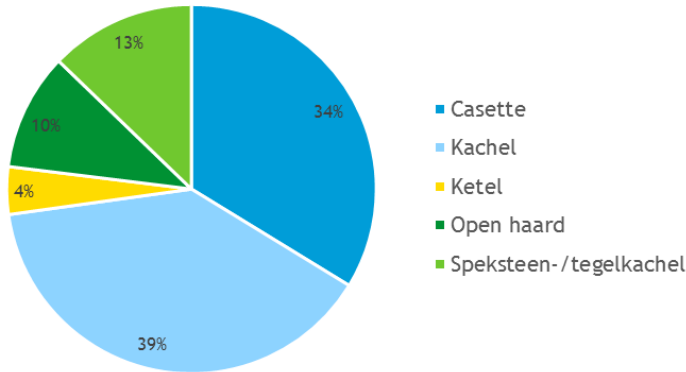
### Uitsplitsing voor houtinstallaties en houttypen

In tabel 38 staan de milieuschadecosten van de totale emissies gerelateerd aan houtverbranding voor woningverwarming in Vlaanderen in 2015 uitgesplitst per houtinstallatietype en per houttype. In figuur 23 zijn de aandelen van de verschillen houtinstallatietypen in de milieuschadecosten weergegeven. We observeren hier dezelfde verhoudingen als voor de gemiddelde bijdrage van houtinstallatietypen aan de totale emissies.

tabel 38: milieuschadecosten van houtinstallaties uitgesplitst naar houttype in Vlaanderen in 2015 in mln euro's gerekend met de centrale waarde voor milieuschadecosten, totale emissies

	Cassette	Kachel	Ketel	Open haard	Speksteen-/tegelkachel	Totaal
Briketten	7,1	5,2	0,9	6,7	0,7	21
Houtafval - onbehandeld	58,5	78,4	0,9	13,4	44,1	195
Houtafval - niet-verontreinigd behandeld	6,8	3,5	0	7,1	1,6	19
Houtkrullen	0,6	1,9	0	1,0	0	3,5
Pellets	2,5	30,9	0,5	2,6	0,8	37
Snoeihout	91,5	115,0	0,3	34,6	32,5	274
Stukhout	278,6	280,8	52,3	70,2	89,2	771
Totaal	446	516	55	136	169	1.321
Aandeel houtinstallaties	33,7%	39,1%	4,2%	10,3%	12,8%	

figuur 23: aandelen houtinstallaties in de milieuschadepkosten van de totale emissies van houtverbruik voor woningverwarming in Vlaanderen in 2015



### 5.3.3 Resultaten 2030: Milieuschadepkosten directe emissies

In de analyse in hoofdstuk 4 lieten we zien dat de emissies van woningverwarming in 2030 mogelijk in de orde van 15% kunnen dalen als het Energieplan wordt uitgevoerd. De bijbehorende milieuschadepkosten van de directe emissies zijn te zien in tabel 39. De verdeling van de milieuschadepkosten over emissiestoffen is geïllustreerd in figuur 24 en de verdeling over energiedragers in figuur 25.

Deze resultaten laten een daling van de totale schadepkosten gerelateerd aan de directe emissies zien van 2,1 miljard euro in 2015 naar 1,7 miljard euro in het scenario van 2030 (-21,0%) (centrale waarde). De relatieve bijdrage van de diverse stoffen aan de milieuschadepkosten is ongeveer gelijk aan die in 2015: de schadepkost van PM<sub>2,5</sub> telt mee voor ongeveer 40% in de totale schadepkosten. De meeste emissies dalen ook met ongeveer 21%. Bovendien zijn de verdelingen van de milieuschadepkosten over emissiestoffen en energiedragers voor het scenario van 2030 vergelijkbaar met de verdelingen voor 2015. Dit heeft te maken met het feit dat de milieuschadepkosten van elektriciteitverbruikende toestellen zeer laag zijn, en met de aanname in het 2030-scenario dat de overschakeling op een warmtenet of warmtepomp geen verband houdt met de energiedrager/warmtetechniek die huishoudens in de huidige situatie gebruiken.



tabel 39: milieuschadeprijzen ten gevolge van directe emissies per energiedrager voor woningverwarming in Vlaanderen in 2030 in mln euro's gerekend met de centrale waarde voor milieuschadeprijzen

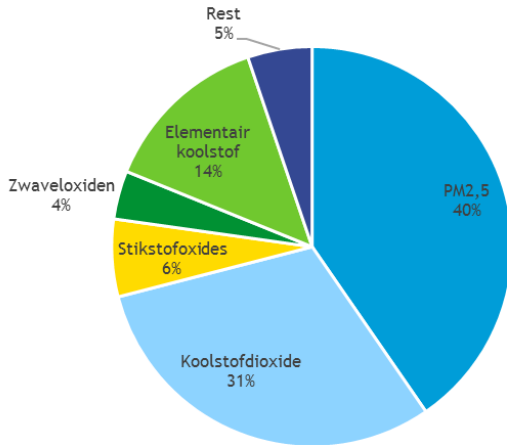
	Aardgas	Stookolie	Hout	Propaan/ Butaan/ LPG	Kolen	Elektriciteit	Totaal
Ammoniak	0	0	20,4	0	0,01	0	20,5
Arseen	0,0089	0,0001	0,0023	0,0002	0,002	0	0,01
Benzo(a)pyreen	4,58E-07	4,30E-05	7,07E-03	1,15E-08	2,21E-03	0	0,01
Cadmium	2,08E-05	5,46E-05	1,78E-01	5,23E-07	1,49E-03	0	0,2
Chroom	2,89E-08	4,99E-06	1,44E-04	7,27E-10	6,83E-06	0	0,0002
Dioxines	0,007	0,008	0,2837	0,0002	0,04	0	0,3
Distikstof(mono)oxide	1,1	0	0,15	0	0	0	1,2
Elementair koolstof	0	0,9	230	0	0	0	230,9
Koolstofdioxide	229,2	199,0	75,5	6,5	7,0	0	517,2
Koolstofmonoxide	0,2	0,1	4,1	0,01	0,3	0	4,7
Koper	2,40E-08	2,70E-05	3,12E-04	6,04E-10	8,51E-05	0	0,0004
Kwik	0,2	0,2	0,2	0,006	0,2	0	0,9
Lood	0,0006	0,003	1,9	0,00002	0,8	0	2,7
Methaan	0,1	0,1	9,4	0,004	0,3	0	9,9
NMVOS	0,4	0,04	13,3	0,01	1,1	0	14,8
Nikkel	4,86E-06	3,13E-05	3,15E-03	1,22E-07	1,72E-03	0	0,005
Selenium	7,10E-05	8,48E-06	5,32E-04	1,79E-06	2,32E-04	0	0,0008
Stikstofdioxides	39,2	41,6	20,1	1,9	3,0	0	105,8
PM <sub>2,5-10</sub>	0	0,1	32,5	0	0	0	32,6
PM <sub>2,5</sub>	5,1	9,3	594	0,1	74,6	0	683,0
Zink	1,27E-06	2,34E-04	0,07	3,20E-08	0,003	0	0,1
Zwaveloxiden	0	47,3	2,7	0	16,2	0	66,2
<b>Totaal (M€)</b>	<b>275,6</b>	<b>298,6</b>	<b>1.004,7</b>	<b>8,5</b>	<b>103,5</b>	<b>0,0</b>	<b>1.690,9</b>

In de digitale bijlage staat ook een berekening van de milieuschadeprijzen voor 2020. Uit deze tabel blijkt dat de milieuschadeprijzen in 2020 beperkt dalen van 2,1 miljard euro in 2015 naar 2,0 miljard euro in 2020.

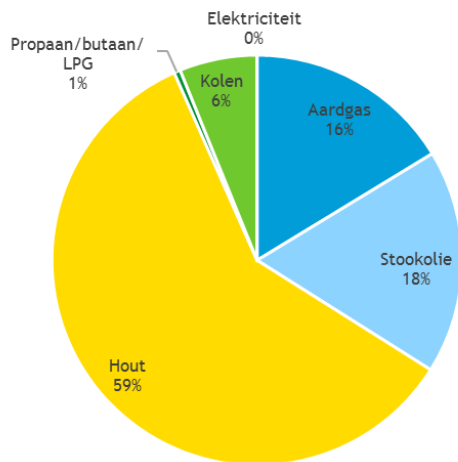
Indien we de CO<sub>2</sub>-emissies van hout niet zouden meerekenen zouden de totale milieuschadeprijzen van de directe emissies in het scenario van 2030 met 4,5% (75,5 M€) dalen als gevolg van het niet meerekenen van de CO<sub>2</sub>-kosten van houtverbranding.



figuur 24: milieuschadetekosten door directe emissies voor woningverwarming in Vlaanderen in 2030 gerekend met de centrale waarde voor milieuschadetekosten – verdeling over emissiestoffen



figuur 25: milieuschadetekosten door directe emissies voor woningverwarming in Vlaanderen in 2030 gerekend met de centrale waarde voor milieuschadetekosten – verdeling over energiedragers



### 5.3.4 Resultaten 2030: Milieuschadetekosten totale emissies

In tabel 40 staan de milieuschadetekosten van de totale emissies voor het scenario van 2030. De totale kosten bedragen 2,1 miljard euro, wat ten opzichte van de directe kosten in 2030 26% meer is. In vergelijking met de totale kosten in 2015 vindt er een daling plaats van deze kosten van ca. 19%, wat in lijn is met de omvang van de directe emissiereducties.

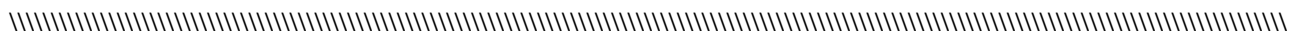
De verdeling van de milieuschadetekosten in het scenario van 2030 over emissiestoffen is te vinden in figuur 26 en de verdeling over energiedragers in figuur 27. Deze verdelingen zijn vergelijkbaar met die van 2015. Dit heeft te maken met het feit dat de milieuschadetekosten van elektriciteitsverbruikende toestellen zeer laag zijn, en met de aanname in het 2030-scenario dat de overschakeling op een warmtenet of warmtepomp geen verband houdt met de energiedrager/warmtetechniek die huishoudens in de huidige situatie gebruiken.



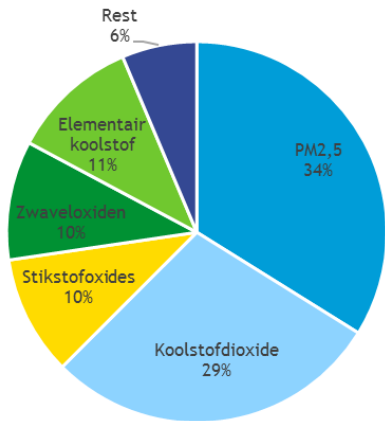


tabel 40: milieuschadetekosten ten gevolge van totale emissies (direct én indirect) per energiedrager voor woningverwarming in Vlaanderen in 2030 in mln euro's gerekend met de centrale waarde voor milieuschadetekosten

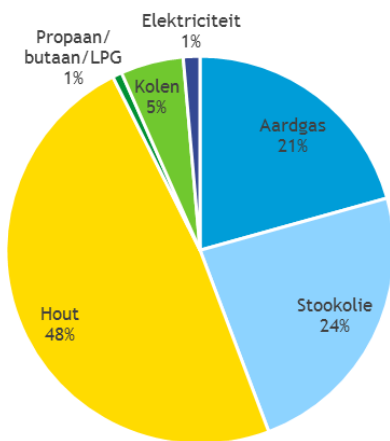
	Aardgas	Stookolie	Hout	Propan/ Butaan/ LPG	Kolen	Elektriciteit	Totaal
Ammoniak	0,2	0,8	20,6	0,02	0,1	0,4	22,2
Arseen	0,02	0,05	0,01	0,002	0,003	0,001	0,1
Benzo(a)pyreen	0,0003	0,0003	0,01	0,00001	0,002	0,000004	0,01
Cadmium	0,01	0,1	0,2	0,004	0,002	0,002	0,3
Chroom	0,0002	0,0002	0,0002	0,00001	0,00001	0,000002	0,001
Dioxines	0,02	0,01	0,3	0,0004	0,04	0,001	0,4
Distikstof(mono)oxide	1,2	0,2	0,2	0,01	0,01	0,2	1,8
Elementair koolstof	0,0001	0,9	229,9	2,6E-06	6,0E-07	3,6E-09	230,9
Koolstofdioxide	264,2	230,8	80,1	7,9	7,6	20,4	611,0
Koolstofmonoxide	0,4	0,2	4,1	0,01	0,3	0,02	5,1
Koper	0,0004	0,001	0,002	0,0001	0,0001	0,0001	0,004
Kwik	0,7	0,8	0,3	0,04	0,2	0,03	2,2
Lood	0,6	1,3	2,3	0,1	0,8	0,1	5,2
Methaan	26,3	3,4	9,7	0,1	1,1	0,01	40,6
NMVOS	0,4	0,04	13,3	0,01	1,1	0,01	14,8
Nikkel	0,01	0,1	0,01	0,004	0,003	0,001	0,1
Selenium	0,001	0,003	0,001	0,0001	0,0003	0,00005	0,01
Stikstofoxides	85,5	86,9	29,8	3,6	3,8	6,7	216,4
PM <sub>2,5-10</sub>	3,5	4,4	34,0	0,2	1,0	0,01	43,1
PM <sub>2,5</sub>	13,8	29,7	598,7	1,1	77,6	0,6	721,5
Zink	0,002	0,004	0,1	0,0002	0,003	0,002	0,1
Zwaveloxiden	43,6	142,6	6,5	3,7	17,9	1,2	215,5
<b>Totaal</b>	<b>440,6</b>	<b>502,3</b>	<b>1.030,2</b>	<b>16,8</b>	<b>111,6</b>	<b>29,7</b>	<b>2.131,1</b>



figuur 26: milieuschadeprijzen door totale emissies voor woningverwarming in Vlaanderen in 2030 berekend met de centrale waarde voor milieuschadeprijzen – verdeling over emissiestoffen



figuur 27: milieuschadeprijzen door totale emissies voor woningverwarming in Vlaanderen in 2030 berekend met de centrale waarde voor milieuschadeprijzen – verdeling over energiedragers



## 6 SCENARIOANALYSE

### 6.1 Inleiding

In dit hoofdstuk worden diverse scenario's gepresenteerd waarvan wij een berekening hebben uitgevoerd en hun invloed op de milieuschadeprijzen hebben vergeleken. We zijn uitgegaan van vijf scenario's:

- 1 Aanpassing van de vervangingsgraad van verwarmingsinstallaties.
- 2 Handhaving huidige brandstofmix.
- 3 Vergelijking houtinstallaties en overschakeling houtinstallaties op lokale pellets.
- 4 Rookgasreiniging bij houtkachels en -ketels.
- 5 Gebruik van de nieuwste technieken voor hoofdverwarming en geen gebruik van open haarden.

Bij de scenario's zullen de milieuschadeprijzen worden vergeleken met de huidige situatie voor Vlaanderen in 2015 zoals gepresenteerd in hoofdstuk 3 en paragraaf 5.3.1, en met het scenario voor 2030 zoals gepresenteerd in hoofdstuk 4 en paragraaf 5.3.2, dat in dit hoofdstuk het '2030-scenario' wordt genoemd.

### 6.2 Scenario 1 – Aanpassing vervangingsgraad alle installaties

De vervangingsgraad is een belangrijke parameter in onze studie. In het 2030-scenario veronderstellen we een jaarlijkse vervangingsgraad van 2,5 tot 5% van de bestaande installaties bij alle energiedragers/warmtetechnieken (zie tabel 25). Het zou natuurlijk kunnen dat wij de vervangingsgraad evenwel te positief hebben ingeschat, en daarom hebben we scenario 1a uitgerekend waarbij we de vervangingsgraad halveren. Daarnaast kijken we wat er zou gebeuren als de vervangingsgraad zou worden verhoogd, om zo een inkijkje te geven in de effecten op milieuschadeprijzen als er beleidsmatig zou worden ingezet op de verhoging van de vervangingsgraad van warmtetoestellen.

Tabel 41 geeft aan wat er met de totale milieuschadeprijzen zou gebeuren als de vervangingsgraad half zo groot zou zijn als wij in onze berekeningen hadden verondersteld. Dit laat zien dat een lagere vervangingsgraad een relatief gering verschil uitmaakt op de totale milieuschadeprijzen: de milieuschadeprijzen van de totale emissies zouden dan ongeveer 7% hoger worden.



tabel 41: vergelijking milieuschadeprijzen van een halvering van de vervangingsgraad ten opzichte van het 2030-scenario voor woningverwarming in Vlaanderen in 2030 in mln euro's gerekend met de centrale waarde voor milieuschadeprijzen

	2030-scenario		Halvering vervangingsgraad	
	Kosten directe emissies (M€)	Kosten totale emissies (M€)	Kosten directe emissies (M€)	Kosten totale emissies (M€)
Broeikasgassen	528	653	536	663
Fijn stof	946	995	1.074	1.124
Stikstofoxiden	106	216	110	222
Overig	110	266	115	274
Totaal	1.691	2.131	1.836	2.282
In % t.o.v. referentie	100%	100%	109%	107%

Noot: In het 2030-scenario zijn de vervangingsgraden 5%/jaar voor aardgas, weerstandsverwarming en de verschillende typen warmtepompen, 2,5%/jaar voor stookolie, propaan/butaan/LPG, steenkool en hout, en 0%/jaar voor het warmtenet. In dit scenario zijn deze waarden gehalveerd.

In tabel 42 wordt inzicht gegeven over wat er met de jaarlijkse milieuschadeprijzen zou gebeuren als alleen voor houtstook zou worden afgeweken van de huidige vervangingsgraad van 2,5%, en huidige oude houtinstallaties versneld worden vervangen door nieuwe installaties van dezelfde typen<sup>37</sup>.

tabel 42: vergelijking milieuschadeprijzen van diverse vervangingsgraden voor alleen houtgestookte installaties voor woningverwarming in Vlaanderen in 2030 ten opzichte van het 2030-scenario in mln euro's gerekend met de centrale waarde voor milieuschadeprijzen

Vervangingsgraad	2030-scenario		Verhoging vervangingsgraad					
	2,5%		5%		7,5%		10%	
	Kosten directe emissies (M€)	Kosten totale emissies (M€)	Kosten directe emissies (M€)	Kosten totale emissies (M€)	Kosten directe emissies (M€)	Kosten totale emissies (M€)	Kosten directe emissies (M€)	Kosten totale emissies (M€)
Broeikasgassen	528	653	525	650	523	648	523	647
Fijn stof	946	995	707	755	513	562	367	415
Stikstofoxiden	106	216	107	217	108	218	109	219
Overig	110	266	103	258	100	256	100	255
Totaal	1.691	2.131	1.442	1.881	1.245	1.684	1.097	1.536
In % t.o.v. referentie	100%	100%	85%	88%	74%	79%	65%	72%

De resultaten laten zien dat de milieuschadeprijzen van de totale emissies zouden afnemen met 29% ten opzichte van 2015 (12% t.o.v. het 2030-scenario) als de vervangingsgraad van houtgestookte installaties zou toenemen tot 5% per jaar, en zelfs met 42% (28% t.o.v. het 2030-scenario) als de vervangingsgraad zou toenemen tot 10%. Een jaarlijkse vervangingsgraad van 10% zou maatschappelijke baten kennen ten waarde van 595 miljoen euro in Vlaanderen in 2030 ten opzichte van de huidige ingeschatte vervangingsgraad van 2,5%.

<sup>37</sup> Hierbij worden de oudste houtinstallaties het eerst vervangen, net zoals in het 2030-scenario.



## 6.4 Scenario 3 – Vergelijking houtinstallaties en houttypen en overschakeling op lokale pellets

De analyse in paragraaf 5.2 liet zien dat het verstoken van houtafval in ketels de laagste totale milieuschadekosten kent van alle houtinstallaties. Voor een aantal andere verwarmingstechnieken kwamen pellets echter als schoonste houtbrandstof naar voren. Het derde scenario betreft een scenario waarbij alle houtgestookte installaties<sup>38</sup> overschakelen op lokale houtpellets, het houttype dat over het geheel genomen de laagste milieuschadekosten per GJ geleverde warmte veroorzaakt. Dit scenario vergelijken we met de huidige situatie (2015). In tabel 44 zijn de resultaten van dit scenario te zien. De overschakeling op lokale pellets resulteert in een afname van de milieuschadekosten per jaar van directe emissies van 19% (402 M€), en van de totale emissies van 15% (402 M€).<sup>39</sup>

tabel 44: totale milieuschadekosten voor woningverwarming in Vlaanderen, in mln euro's gerekend met de centrale waarde voor milieuschadekosten, vergelijking huidige situatie en scenario 3 (alleen lokale houtpellets in houtinstallaties)

	Huidige situatie (2015)		Scenario 3 (2015)	
	Kosten directe emissies (M€)	Kosten totale emissies (M€)	Kosten directe emissies (M€)	Kosten totale emissies (M€)
Broeikasgassen	625	760	625	761
Fijn stof	1.237	1.296	847	907
Stikstofoxiden	136	264	135	261
Overig	133	323	121	313
Totaal	2.131	2.644	1.729	2.242
In % t.o.v. 2015	100%	100%	81%	85%

We hebben hierbij niet onderzocht of de lokale markt voldoende pellets kan leveren om aan deze vraag te voldoen.

## 6.5 Scenario 4 – Rookgasreiniging bij houtinstallaties

De analyse tot dusverre liet zien dat de emissies van houtgestookte installaties tot hoge milieuschadekosten leiden. Daar is in de literatuur en bij fabrikanten van houtgestookte installaties ook aandacht voor en er zijn diverse opties voorgesteld om de emissies te reduceren. In dit scenario bekijken we twee van deze opties:

- a het plaatsen van een katalysator bij houtkachels;
- b het plaatsen van een filter bij houtkachels en ketels.

In dit scenario onderzoeken we het effect daarvan op de milieuschadekosten in de huidige situatie (2015).

<sup>38</sup> Dit omvat ook bijverwarmingsinstallaties, incl. open haarden.

<sup>39</sup> Het feit dat de kostenreductie van de totale emissies gelijk is aan die van de directe emissies betekent dat de milieuschadekosten van de indirecte emissies per saldo gelijk blijven. Dit kan gebeuren doordat de indirecte emissies van sommige stoffen afnemen, maar bij andere juist weer toenemen als gevolg van de overschakeling op lokale pellets. Het blijkt dat dit een netto-effect op de kosten van indirecte emissies geeft van ongeveer nul.

### 6.5.1 Katalysator bij houtkachels

In dit scenario wordt aangenomen dat houtkachels worden voorzien van een katalysator, waarbij de volgende emissiereducties plaatsvinden: 35% fijn stof (PM<sub>2,5-10</sub> en PM<sub>10</sub>), 75% NMVOS, 82% CO, en 95% elementair koolstof.

Deze reducties zijn mogelijk volgens katalysatorleverancier MoreCAT. Sommige katalysatoren kunnen in het rookkanaal van een houtkachel worden geplaatst, andere als nageschakelde technologie (Procede Biomass, 2018). De aanschafkosten van een katalysator zijn 300-750 euro (ECN, 2017).

In tabel 45 staan de milieuschadetekosten voor dit scenario. Te zien is dat de jaarlijkse milieuschadetekosten van de totale emissies dalen met ca. 7,5% als gevolg van de toepassing van katalysatoren bij houtkachels, ofwel 200 miljoen euro per jaar. In Vlaamse huishoudens stonden in 2015 232.720 houtkachels (hoofd- plus bijverwarming); dit is 38,5% van het totale aantal houtstookinstallaties. Wanneer we in overweging nemen dat houtinstallaties verantwoordelijk zijn voor 50% van de milieuschadetekosten van verwarmingsinstallaties in Vlaanderen, en houtkachels 39% van de totale kosten van houtstookinstallaties, dan zien we dat de afname van de milieuschadetekosten van houtkachels aanzienlijk is. Uitgaande van bovengenoemde aanschafkosten zou de aanschaf van katalysators voor al deze kachels tot een eenmalige investering leiden van 70-175 miljoen euro plus de installatiekosten. Afhankelijk van de hoogte van deze installatiekosten lijkt het erop dat de kosten zich dus relatief snel zullen terugverdienen vanuit maatschappelijk perspectief.<sup>40</sup>

tabel 45: totale milieuschadetekosten voor woningverwarming in Vlaanderen, in mln euro's gerekend met de centrale waarde voor milieuschadetekosten, vergelijking huidige situatie en scenario 4a (katalysator bij houtkachels)

	Huidige situatie (2015)		Scenario 4a (2015)	
	Kosten directe emissies (M€)	Kosten totale emissies (M€)	Kosten directe emissies (M€)	Kosten totale emissies (M€)
Broeikasgassen	625	760	625	760
Fijn stof	1.237	1.296	1.045	1.103
Stikstofoxiden	136	264	136	264
Overig	133	323	126	316
Totaal	2.131	2.644	1.932	2.444
In % t.o.v. 2015	100%	100%	91%	92%

### 6.5.2 Filter bij houtkachels en -ketels

Een andere optie is om alle<sup>41</sup> houtkachels en -ketels te voorzien van een filter, waarmee fijn stof, elementair koolstof en zware metalen uit de uitstoot kunnen worden gefilterd. Procede Biomass (2018) haalt een onderzoek aan van Obernberger en Mandl (2011) waaruit blijkt dat elektrostatische filters 50-85% van de fijn stofuitstoot kan afvangen, afhankelijk van o.a. het type kachel of ketel, het type filter, het houttype en de opstartprocedure. Bij een kachel wordt de filter geplaatst in het rookkanaal of bij de rookgasuitmondning. Het stroomverbruik van het filter is 10-30 W (Procede Biomass, 2018) – deze is

<sup>40</sup> Een precieze berekening hangt naast de installatiekosten ook af van de gekozen disconteringsvoet. Daarbij moet eventueel ook in ogenschouw worden genomen de kosten van het financieren van vermogen vanuit het perspectief van huishoudens. Dergelijke berekeningen zijn niet uitgevoerd in het kader van het huidige onderzoek.

<sup>41</sup> Het is technisch mogelijk om een filter te installeren in/op alle typen houtkachels en -ketels. Bij kachels wordt de filter geplaatst in het rookkanaal of bij de rookgasuitmondning. Ook bij ketels is dit veelal het geval (Procede Biomass, 2018).

verwaarloosbaar klein en daarom door ons niet meegenomen bij de berekeningen. De aanschafkosten van een elektrostatisch filter zijn ca. 1.200-1.500 euro (ECN, 2017).

In dit scenario gaan we uit van een reductie van 50% van fijne en grovere stoffracties door het plaatsen van een filter. Het plaatsen van een filter betekent dat ook elementair koolstof met minimaal 50% zal dalen. In tabel 46 staan de totale milieuschadeposten van dit scenario. We zien dat de jaarlijkse milieuschadeposten van de totale emissies van woningverwarming in Vlaanderen in dit scenario met 244 miljoen euro dalen. Dit is 9,2% van de kosten van de totale emissies in de huidige situatie, of 18% van de milieuschadeposten van hout. De grootte van deze reductie heeft zijn oorsprong in het feit dat ca. 40% van de houtinstallaties in Vlaanderen een kachel of ketel is, PM<sub>2,5</sub>, PM<sub>2,5-10</sub> en elementair koolstof gezamenlijk 87% van de milieuschadeposten van houtinstallaties innemen en de fijn stofemissies met 50% afnemen.

tabel 46: totale milieuschadeposten voor woningverwarming in Vlaanderen, in mln euro's gerekend met de centrale waarde voor milieuschadeposten, vergelijking huidige situatie en scenario 4b (filter bij houtkachels en -ketels)

	Huidige situatie (2015)		Scenario 4b (2015)	
	Kosten directe emissies (M€)	Kosten totale emissies (M€)	Kosten directe emissies (M€)	Kosten totale emissies (M€)
Broeikasgassen	625	760	625	760
Fijn stof	1.237	1.296	994	1.052
Stikstofoxiden	136	264	136	264
Overig	133	323	133	323
Totaal	2.131	2.644	1.888	2.400
In % t.o.v. 2015	100%	100%	89%	91%

## 6.6 Scenario 5 – Nieuwste installatietypen en geen gebruik van open haarden

In dit scenario vinden ten opzichte van de huidige situatie (2015) twee veranderingen plaats. Ten eerste worden oudere installatietypen die momenteel in gebruik zijn voor verbranding van aardgas, stookolie en hout vervangen door de nieuwste variant van hetzelfde installatietype die momenteel op de markt is. Dit gaat concreet om alle niet-condenserende aardgasketels en stookolieketels kleiner dan 70 kW met bouwjaar 2011 of ouder, en alle houtinstallaties met bouwjaar 2016 of ouder, omdat voor deze installatietypen in deze studie gerekend wordt met verschillende emissiefactoren voor verschillende bouwjaarklassen (zie de digitale bijlage)<sup>42</sup>. Ten tweede wordt er geen hout meer verstoekt in open haarden in dit scenario.

Het niet gebruiken van open haarden zal leiden tot een hoger energieverbruik van hoofdverwarmingsinstallaties. Omdat niet bekend is in welke mate open haarden effectief bijdragen aan de verwarming van huizen en welke hoofdverwarmingsinstallaties er precies staan in de huizen met een open haard, moeten we hier enkele aannames doen om dit hogere energieverbruik mee te nemen. In de huidige situatie gebruiken de open haarden in Vlaanderen (ca. 85.000 stuks) in totaal 1,1 PJ hout, wat met een installatierendement van 10% op 0,11 PJ warmte komt. We nemen aan dat 100% van deze warmte effectief bijdraagt aan de verwarming van de wooneenheden en dat alle open haarden in huizen staan waar aardgas wordt

<sup>42</sup> Ten opzichte van de huidige situatie worden 97% van de niet-condenserende olieketels kleiner dan 70 kW, 92% van de niet-condenserende aardgasketels kleiner dan 70 kW en 100% van alle houtketels, -kachels, cassettes, en speksteen/tegelmets (zowel hoofdverwarming als bijverwarming) vervangen. In totaal wordt ca. 52% van het totaal aantal verwarmingsinstallaties in Vlaanderen vervangen.



verbruikt in de hoofdverwarmingsinstallatie. Rekenend met een gemiddeld rendement van aardgasinstallaties van 72% is 0,15 PJ extra aardgas nodig om dezelfde hoeveelheid warmte te leveren. In onze berekeningen wordt deze 0,15 PJ verdeeld over alle hoofdverwarmingsinstallaties (rekening houdend met de installatierendementen).

De resultaten van het scenario, gepresenteerd in tabel 47, laten zien dat het gecombineerde effect van de vervanging van de genoemde installatietypen en het niet gebruiken van open haarden leidt tot een reductie van de jaarlijkse milieuschadecosten van de totale emissies van 38% (997 M€) tot 1,6 miljard euro. Van deze 38% komt 86% voor rekening van de nieuwste installatietypen en 14% voor het niet gebruiken van open haarden. Het vervangen van alle oude installaties leidt dus tot een kostenreductie van 33%, en het niet gebruiken van open haarden tot een kostenreductie van 5%.

tabel 47: totale milieuschadecosten voor woningverwarming in Vlaanderen, in mln euro's gerekend met de centrale waarde voor milieuschadecosten, vergelijking huidige situatie en scenario 5 (nieuwste installatietypen en geen gebruik open haarden)

	Huidige situatie (2015)		Scenario 5 (2015)	
	Kosten directe emissies (M€)	Kosten totale emissies (M€)	Kosten directe emissies (M€)	Kosten totale emissies (M€)
Broeikasgassen	625	760	618	753
Fijn stof	1.237	1.296	287	345
Stikstofoxiden	136	264	120	248
Overig	133	323	112	301
Totaal	2.131	2.644	1.137	1.647
In % t.o.v. 2015	100%	100%	53%	62%



## 7 CONCLUSIES

Woningverwarming draagt bij aan luchtverontreiniging in de bebouwde omgeving. Luchtverontreiniging, en dan met name de uitstoot van kleine stofdeeltjes ( $PM_{2,5}$ ) is door de WHO bestempeld als een belangrijke doodsoorzaak in veel landen – belangrijker dan zaken als ondervoeding, overgewicht of alcohol en drugsgebruik (Health Effects Institute, 2018). Naast gezondheidsschade leidt luchtverontreiniging door woningverwarming ook tot schade aan ecosystemen en gebouwen en draagt het verstoken van brandstoffen bij aan klimaatverandering.

In de economische wetenschap is er in toenemende mate aandacht voor het kwantificeren én het monetair waarderen van deze schade. Op deze manier kan inzichtelijk worden gemaakt dat luchtverontreiniging leidt tot een lagere welvaart. Deze studie onderzoekt de milieuschadeposten ten gevolge van woningverwarming in Vlaanderen met als doel inzicht te krijgen welke milieuschadeposten samenhangen met woningverwarming in Vlaanderen en hoe de onderlinge verhouding in milieuschadeposten is voor de verschillende manieren om een woning te verwarmen.

Op basis van deze studie kunnen de volgende conclusies worden getrokken:

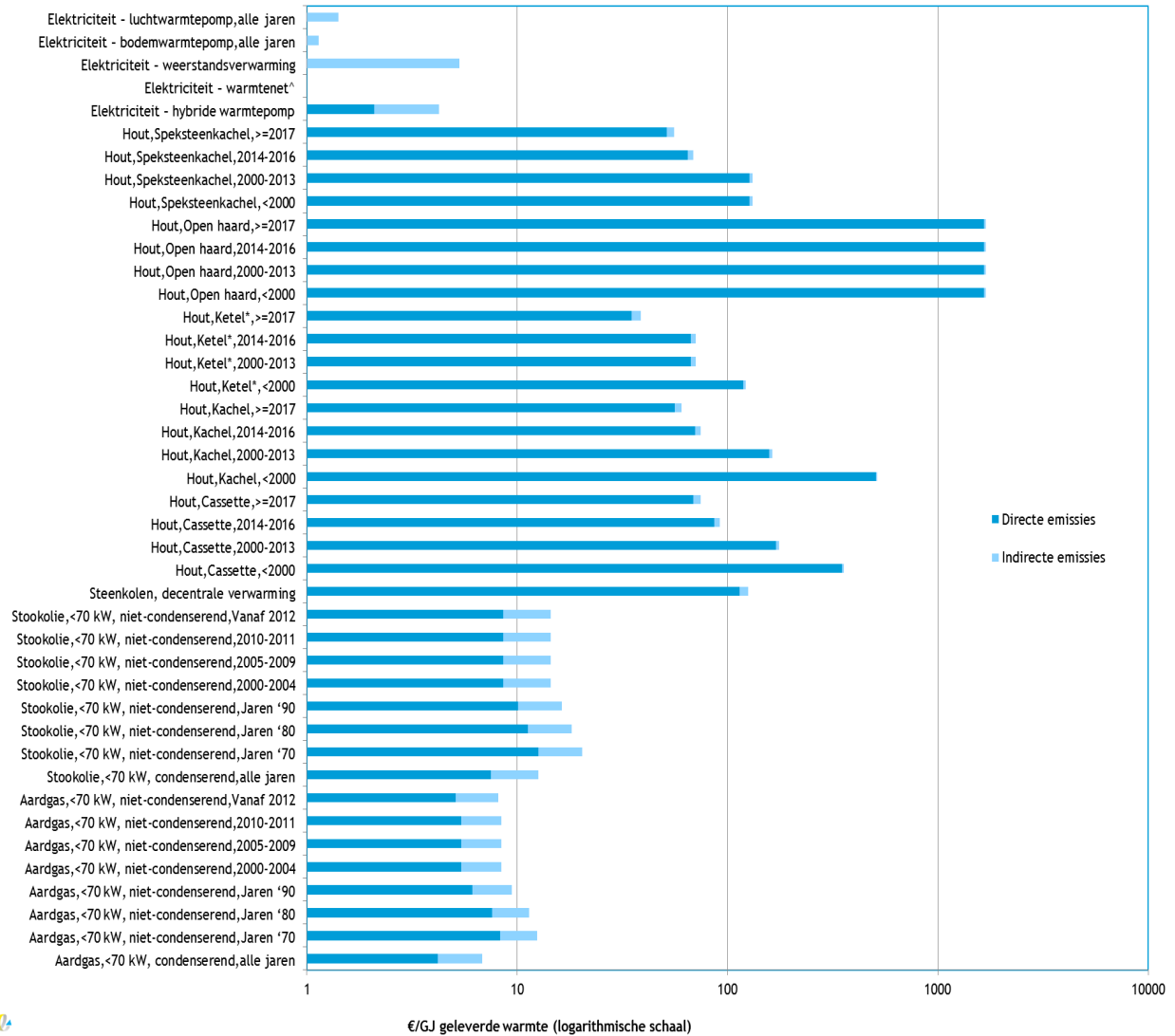
- Woningverwarming leidt in Vlaanderen tot substantiële milieuschade aan menselijke gezondheid, ecosystemen, gebouwen en klimaat. Doordat woningverwarming per definitie in de gebouwde omgeving plaatsvindt, waar bevolkingsdichtheden groter zijn dan de landelijke gemiddelden, en de schoorstenen van woningverwarming een lagere hoogte hebben dan bijvoorbeeld bij elektriciteitscentrales, leidt woningverwarming vooral tot grote gezondheidsschade. In zijn totaliteit schatten we de milieuschade die ontstaat door woningverwarming in Vlaanderen op ongeveer 2,1 miljard per jaar voor de directe emissies en een additionele minimale 0,5 miljard euro per jaar voor de indirecte emissies (emissies in de voorketen bij de productie en transport van brandstoffen).
- Het gebruik van hout als middel voor woningverwarming is in zijn totaliteit verantwoordelijk voor 50% van de totale milieuschadeposten en 60% van de directe milieuschadeposten (zonder emissies in de voorketen). Dit ondanks het feit dat houtstook maar wordt toegepast in 1,6% van de huishoudens als hoofdverwarming en in 19,1% van de huishoudens als bij- of sfeerverwarming.

Er is een heel groot verschil in de milieuschadeposten per eenheid geleverde warmte voor de diverse technieken (zie figuur 28 en 29). Over het algemeen kennen op afvalwarmte (warmtenet) of elektriciteit gebaseerde warmte technieken (zoals weerstandsverwarming en warmtepompen) de laagste milieuschadeposten. Dit is niet bevreemdend aangezien de directe emissies dan nul zijn. Op hout en steenkolen gestookte toestellen leiden tot de hoogste milieuschadeposten. Veelgebruikte houtgestookte toestellen voor ruimteverwarming, ook de meest moderne kachels en ketels, kennen een factor 5-12 hogere milieuschadeposten dan de schoonste gasgestookte alternatieven (een condenserende ketel) (zie figuur 29).

- Van alle houtgestookte toestellen zijn open haarden veruit de meest milieuvervuilende. Eén GJ warmte geleverd door een open haard kent ruim 1.600 maal hogere milieuschadeposten dan één GJ warmte geleverd door een bodemwarmtepomp. Open haarden worden echter vooral als sfeerverwarming ingezet. Het gebruik van open haarden in Vlaanderen is in totaliteit verantwoordelijk voor ongeveer 5% van de totale milieuschadeposten, ca. 130 miljoen euro per jaar.
- Bovenstaande cijfers zijn inclusief toerekening van  $CO_2$ -emissies aan houtverbranding. Als de  $CO_2$ -emissies van houtstook buiten beschouwing worden gelaten, dalen de directe milieuschadeposten met

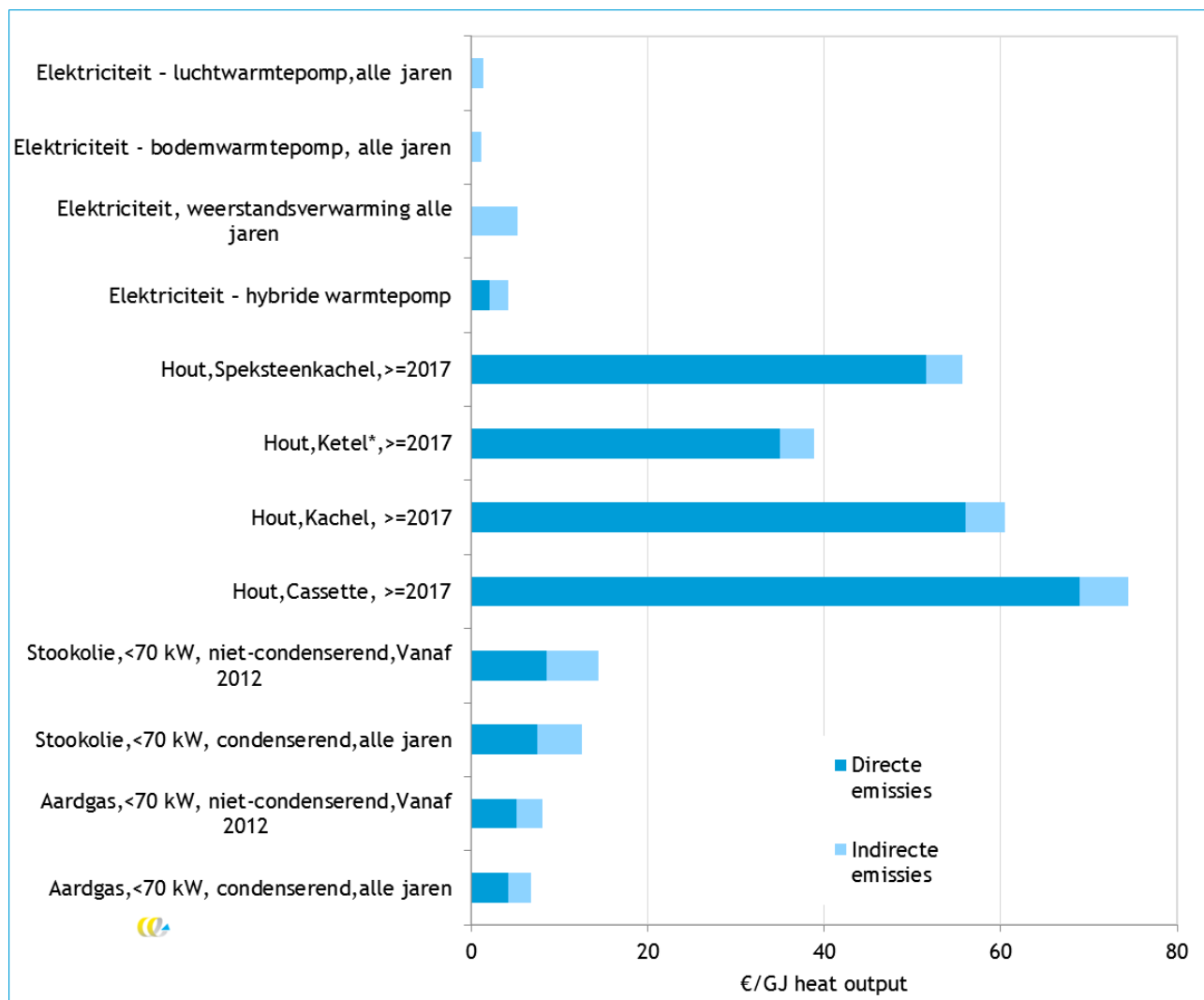
ongeveer 80 miljoen euro (4%). De resultaten van de milieuschadekosten worden daarom niet noemenswaardig beïnvloed door de keuze hoe om te gaan met CO<sub>2</sub>-emissies van biomassa.

figuur 28: overzicht van milieuschadekosten van diverse technieken en leeftijdsklassen van verwarmingstoestellen in euro's per GJ geleverde warmte (logaritmische schaal)



Noten: \* Voor houtgestookte ketels is een gemiddelde genomen van de brandstof met de hoogste emissies en de brandstof met de laagste emissies. Effecten van houtgestookte installaties zijn inclusief schadekosten voor (biogene) CO<sub>2</sub>-emissies.  
 ^ Het elektriciteitsverbruik van een warmtenet betreft de elektriciteit die nodig is om aard- of restwarmte te leveren aan huishoudens. Er is geen rekening gehouden met een dervingsfactor voor eventuele rendementsverliezen bij de installatie die restwarmte levert.

figuur 29: overzicht van milieuschadekosten van diverse technieken van verwarmingstoestellen in euro's per GJ geleverde warmte: meest moderne toestellen (normale schaal)



Voorts blijkt uit de analyse dat de niet-condenserende verwarmingseenheden hogere emissiekosten kennen dan de condenserende eenheden (20% hoger voor aardgasgestookte ketels en 14% voor stookoliegestookte ketels). Het toepassen van moderne hoogrendementsketels (condenserende gasgestookte toestellen) in plaats van niet-condenserende gas- of oliegestookte verwarmingseenheden kan dus ook de milieuschadekosten doen dalen, maar niet zoveel als vervanging van houtgestookte eenheden door gasgestookte eenheden.

- Tot op zekere hoogte is er bij het gebruik van hout als woningverwarming een verschil in de diverse soorten hout die verstoekt kunnen worden. Het verstoken van pellets leidt over het algemeen tot de laagste milieuschadekosten, behalve bij de nieuwste ketels, waar het verstoken van houtafval tot de laagste kosten leidt. Het verstoken van houtafval in de nieuwste ketels leidt met milieuschadekosten van € 33,71 per GJ geleverde warmte tot de laagst mogelijke milieuschadekosten bij het verbranden van hout. Toch zijn hierbij de milieuschadekosten nog steeds een factor 5 hoger dan bij een modern condenserend gasgestookt toestel.



Het verschil tussen lokale pellets en pellets uit Canada en Noord-Amerika zijn de indirecte emissies. Hierdoor liggen de schadekosten van pellets uit Canada en Noord-Amerika ongeveer 10% hoger bij alle nieuwste installatietypen (met uitzondering van de open haard).

In diverse scenario's en toekomstverwachtingen is verder onderzocht wat het effect is op de milieuschadecosten van toekomstige veranderingen in de wijze van woningverwarming in Vlaanderen. Tabel 48 geeft een overzicht van de scenario's en toekomstverwachtingen die zijn gehanteerd in deze studie en hun invloed op de totale milieuschadecosten.

tabel 48: overzicht van de ontwikkeling van milieuschadecosten (M€/jaar) door ruimteverwarming bij diverse varianten en vergeleken ten opzichte van de huidige schadecosten

	Directe emissies	Totale emissies	Reductie totale emissies t.o.v. 2015
1. Huidige situatie 2015	2.131	2.644	
2. Huidige situatie 2015 zonder CO <sub>2</sub> -kosten houtverbranding	2.051	nb	-4%*
3. Situatie 2030 na invoering Energieplan	1.691	2.131	-19%
4. Situatatie 2030 met vervangingsgraad naar 10%	1.097	1.536	-42%/-28%^
5. Situatie 2015 als er alleen pellets worden verstoekt bij houtinstallaties	1.729	2.242	-15%
6. Situatie 2015 als alle houtkachels worden uitgerust met katalysator	1.932	2.444	-8%
7. Situatie 2015 als open haarden niet langer worden gebruikt en alle toestellen vervangen worden door de nieuwste technieken	1.137	1.647	-38%

nb = niet beschouwd in deze studie.

\* Reductie ten opzichte van de directe emissies, niet totale emissies.

^ -28% is de reductie ten opzichte van 2030 na invoering van het Energieplan.

Volgens het scenario 2030 zijn, na invoering van het Energieplan Vlaanderen (Vlaamse Regering, 2018), de jaarlijkse milieuschadecosten van de totale emissies gedaald met ongeveer 19% ten opzichte van de huidige situatie. Dit komt deels door de natuurlijke vervanging van verwarmingstoestellen en deels door de veranderingen in de brandstofvraag door invoering van het Energieplan. De vervangingsgraad is van deze invloeden waarschijnlijk dominant. Indien de vervangingsgraad een factor 2-4 zou worden verhoogd naar 10% per jaar, zouden in 2030 de milieuschadecosten met ongeveer 42% dalen ten opzichte van de huidige situatie (of 28% ten opzichte de veronderstelde situatie in 2030 na invoering van het Energieplan).

Additioneel op het Energieplan worden in dit scenario de verouderde verwarmingstoestellen versneld afgeschreven en wordt alleen nog maar gebruik gemaakt van de meest moderne technieken binnen elk brandstoftype.

Een ander scenario dat is doorgerekend is het scenario waarbij alleen nog maar pellets worden verstoekt in de hout verbruikende installaties. In dat geval zouden de milieuschadecosten met 15% dalen. Indien men alle huidige houtkachels zou uitrusten met katalysatoren zouden de schadecosten met 8% dalen. De meest significante daling kan worden verkregen als men alle verwarmingstoestellen vervangt door de meest moderne varianten binnen elke brandstofklasse en men tegelijkertijd geen open haarden meer zou gebruiken. Een dergelijke variant zou de milieuschadecosten met 38% doen dalen ten opzichte van de huidige situatie (33% door de vervanging van alle oude toestellen en 5% door het niet gebruiken van open haarden).











Obernberger en Mandl, 2011. Survey on the present state of particle precipitation devices for residential biomass combustion with a nominal capacity up to 50 kW in IEA Bioenergy Task 32 member countries, IEA Bioenergy Task 32; Beschikbaar via: <https://www.bios-bioenergy.at/uploads/media/Filter-study-IEA-Dez-2011.pdf>

OVAM, 2018. Bio-economie in Vlaanderen - visie en strategie van de Vlaamse overheid voor een duurzame en competitieve bio-economie in 2030; Vlaamse overheid, De Interdepartementale Werkgroep Bio-Economie; Beschikbaar via: <https://www.vlaanderen.be/nl/publicaties/detail/bio-economie-in-vlaanderen>

Procede Biomass, 2018. Kennisdokument Houtstook in Nederland, J. Koppejan en F. de Bree, in opdracht van RVO.nl, Project PB201704, september 2018; Beschikbaar via: <https://www.rvo.nl/sites/default/files/2018/09/Kennisdokument%20houtstook%2020180910definitief.pdf>

Ricardo-AEA, 2014. Update of the Handbook on External Costs of Transport, London: Ricardo-AEA.

TNO, 2014. Update NO<sub>x</sub>-emissiefactoren kleine vuurhaarden – glastuinbouw en huishoudens, H.J.G. Kok, in opdracht van RIVM, projectnummer 060.03100.

TNO, 2016. Vernieuwd Emissiemodel Houtkachels, Ing. B.I. Jansen, in opdracht van RIVM, projectnummer 060.03100.

UBA, 2012. Ökonomische Bewertung von Umweltschäden: Methodenkonvention 2.0 zur Schätzung von Umweltkosten. Dessau, Umweltbundesamt (UBA).

Verbeeck en Ceulemans, 2015a. Analyse van de EPC-databank: Resultaten tot en met 2012, Steunpunt Wonen; Beschikbaar via: [https://steunpuntwonen.be/Documenten\\_2012-2015/Onderzoek\\_Werkpakketten/WP5\\_Analyse\\_van\\_de\\_epc-databank\\_Resultaten\\_tem\\_2012.pdf](https://steunpuntwonen.be/Documenten_2012-2015/Onderzoek_Werkpakketten/WP5_Analyse_van_de_epc-databank_Resultaten_tem_2012.pdf)

Verbeeck en Ceulemans, 2015b. Samenvattend rapport analyse van de EPC-databank: Resultaten tot en met 2012, rapport, Steunpunt Wonen, [https://steunpuntwonen.be/Documenten\\_2012-2015/Onderzoek\\_Werkpakketten/WP5\\_Samenvattend\\_rapport\\_Analyse\\_van\\_de\\_epc\\_databank\\_Resultaten\\_tem\\_2012](https://steunpuntwonen.be/Documenten_2012-2015/Onderzoek_Werkpakketten/WP5_Samenvattend_rapport_Analyse_van_de_epc_databank_Resultaten_tem_2012)

Verbeeck en Ceulemans, 2016. Samenvattend rapport analyse van de EPC-databank: Resultaten tot en met 2014, rapport, Steunpunt Wonen, [https://steunpuntwonen.be/Documenten\\_2012-2015/Onderzoek\\_Werkpakketten/WP5\\_Samenvattend\\_rapport\\_Analyse\\_van\\_de\\_epc\\_resultaten\\_tem\\_2014.pdf](https://steunpuntwonen.be/Documenten_2012-2015/Onderzoek_Werkpakketten/WP5_Samenvattend_rapport_Analyse_van_de_epc_resultaten_tem_2014.pdf)

VITO, 2010. Actualisering van de externe milieuschadetekosten (algemeen voor Vlaanderen) met betrekking tot luchtverontreiniging en klimaatverandering, MIRA/2010/03.

VITO, 2011. Emissies door houtverbranding - Sectoren gebouwenverwarming en landbouw, in opdracht van VMM, 2011/TEM/R/158, <https://docplayer.nl/44113580-Emissies-door-houtverbranding-sectoren-gebouwenverwarming-en-landbouw.html>





# BIJLAGEN



## bijlage 1 Definities

**Cassette:** Een verbeterde versie van een open haard waarbij de verbrandingskamer is gesloten met deurtjes of schuiven. Hierdoor kan de luchttoevoer beter worden geregeld en wordt het rendement verhoogd.

**Centrale verwarming:** Een verwarmingssysteem waarbij de warmte centraal wordt opgewekt en met behulp van een warmteoverbrengend medium (meestal water) via een buizenstelsel wordt getransporteerd naar verschillende vertrekken in een gebouw.

**Collectieve verwarming:** Betreft verwarmingsinstallaties, meestal groter dan 70 kW, die meerdere huizen verwarmen, zoals een CV-ketel die een appartementencomplex verwarmt. Wordt ook wel blokverwarming genoemd.

**Condenserende ketel:** Een CV-ketel die een warmtewisselaar heeft waarin warmte van de rookgassen aan het retourwater wordt afgegeven, waardoor de energie-efficiëntie (rendement) hoger is dan bij een niet-condenserende ketel. Wordt ook wel een hoogrendementsketel (HR-ketel) genoemd.

**Decentrale verwarming:** Een verwarmingsinstallatie die alleen het vertrek verwarmt waarin de installatie zelf staat.

**Directe emissies:** De emissies die vrijkomen bij verbranding van brandstof voor woningverwarming.

**Houtkachel:** Een verwarmingstoestel met een gesloten verbrandingskamer die stralingswarmte afgeeft. Een kachel verwarmt meestal één vertrek (decentrale verwarming), hoewel er ook situaties denkbaar zijn waarbij de warmte via leidingen wordt getransporteerd naar nabijgelegen ruimtes.

**Houtketel:** In een houtketel wordt water verwarmd dat via een buizenstelsel wordt overgebracht naar meerdere vertrekken. Dit is een CV-ketel (centrale verwarming).

**HR-ketel (Hoogrendementsketel):** Zie 'condenserende ketel'.

**Hybride warmtepomp:** Een hybride warmtepomp combineert een (elektrische) warmtepomp met de HR-ketel op aardgas. De warmtepomp kan ongeveer voor de helft van de warmtevraag zorgen.

**Indirecte emissies:** De emissies die gerelateerd zijn aan de voorketen van de brandstof, d.w.z. de emissies die vrijkomen bij de productie en het transport van de brandstof. In het geval van elektriciteit gaat het om de emissies die vrijkomen bij de elektriciteitsproductie.

**Inzethaard:** Zie Cassette.

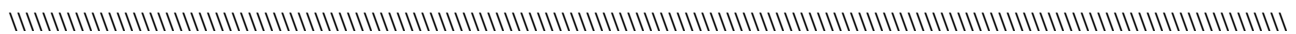
**Niet-condenserende ketel:** Een CV-ketel die de warmte van de rookgassen niet gedeeltelijk terugwint met behulp van een warmtewisselaar, en daarom een lager rendement heeft dan een condenserende ketel.

**Open haard:** Een open haard bevat een verbrandingskamer met een opening aan de voorzijde die niet met deurtjes of schuiven kan worden afgesloten van de ruimte die wordt verwarmd. Sommige open haarden zijn eveneens voorzien van ingebouwde leidingen en een ventilator voor convectiewarmte (VITO, 2011). Een open haard wordt meestal ingezet als bijverwarming of als sfeerverwarming.

**Totale emissies:** De som van de directe emissies en de indirecte emissies.

**Warmtepomp:** Een warmtepomp gebruikt elektriciteit om warmte uit de lucht (luchtwarmtepomp) of bodem (bodemwarmtepomp) op te waarden voor de verwarming van woningen.

**Weerstandsverwarming:** Een elektrische weerstandsverwarming zet elektriciteit om in warmte. Dit gebeurt in het verwarmingselement (bijvoorbeeld een radiator) zelf. Er is geen centrale verwarmingsinstallatie nodig, zoals een ketel of warmtepomp. De verwarmingselementen kunnen wel als één systeem fungeren, waarbij je centraal kunt instellen hoe warm je elke ruimte wilt hebben.



## bijlage 2 Emissiefactoren van energiedragers

### Inleiding

Om in dit project tot een inschatting te komen van milieuschadeprijzen van verschillende technologieën voor woningverwarming in Vlaanderen, hebben we de emissiefactoren (hoeveelheid uitstoot per eenheid geleverde warmte) nodig van deze technologieën, van alle belangrijke emissiestoffen m.b.t. luchtverontreiniging en klimaatverandering, en voor verschillende brandstoffen. Verder willen we de afhankelijkheid van de emissiewaarden weten van de leeftijd van de warmte-installaties, en een onderscheid maken tussen individuele verwarming en collectieve verwarming (ook wel blokverwarming genoemd, zie bijlage 1). Het onderzoek beperkt zicht tot de huishoudelijke sector, en legt de focus op verbrandingsinstallaties. Houtverbrandingsinstallaties krijgen hier bijzondere aandacht, omdat deze installaties een bijdrage kunnen leveren aan de verduurzaming van het energieverbruik voor woningverwarming, maar ook stoffen emitteren die schadelijk zijn voor de gezondheid.

Dit hoofdstuk is als volgt opgebouwd. Allereerst beschrijven we de emissiefactordata die de Vlaamse Milieumaatschappij (VMM) heeft verzameld, en die door VITO zijn gebruikt in diens rapport over emissies door gebouwenverwarming in Vlaanderen (VITO, 2017a; VMM, 2017a). Daarna vergelijken we deze data met emissiewaarden uit andere databronnen. Vervolgens gaan we in op emissies van houtverbrandingsinstallaties en collectieve verwarming, en tot slot beschrijven we hoe we emissiefactoren van elektrische verwarming en aardwarmtenetten kunnen berekenen, om in een latere fase een vergelijking te kunnen maken tussen emissies van verschillende woningverwarmingstechnologieën.

### Emissiefactordata van VMM

VMM heeft de emissiefactorwaarden aangeleverd die ook gebruikt zijn in VITO (2017a). Deze emissiefactorwaarden zijn voor het grootste deel gebaseerd op EMEP/EEA (2017a) en IPCC (2006). Ook zijn waarden zo nodig aangepast op de emissienormen in Vlaanderen<sup>43</sup>.

In de datalijst wordt een onderscheid gemaakt tussen de volgende brandstoffen: aardgas, stookolie, hout, kolen, en propaan/butaan/LPG. De emissiestoffen die hierin zijn opgenomen staan in tabel 49 met de stofsymbolen tussen haakjes (VITO, 2017a).

Voor installaties op aardgas en stookolie wordt onderscheid gemaakt tussen condenserende en niet-condenserende installaties (zie bijlage 1), en tussen installaties groter dan 70 kW en kleiner dan 70 kW. Installaties groter dan 70 kW zijn meestal collectieve installaties die meerdere huishoudens van warmte voorzien (VITO, 2017a). Bij hout als brandstof worden er zes houttypen en vijf installatietypen onderscheiden.

*Houttypen:* briketten, houtafval (met onderverdeling in niet-verontreinigd behandeld, verontreinigd behandeld, en onbehandeld), houtkrullen, pellets, snoeihout, stukhout.

*Installatietypen:* Cassette, kachel, ketel, open haard, speksteen/tegelkachel.

---

<sup>43</sup> Ronny Vercruyse (VMM), e-mail, 3 mei 2018.

tabel 49: overzicht emissiestoffen (VITO, 2017a; VMM, 2017a)

Stoffengroep	Stoffen
Broeikasgassen	Distikstof(mono)oxide (N <sub>2</sub> O), Koolstofdioxide (CO <sub>2</sub> ), Methaan (CH <sub>4</sub> )
Ozonprecursoren	Koolstofmonoxide (CO), niet-methaan vluchtige organische stoffen (NMVOS)
Verzuring en vermesting	Ammoniak (NH <sub>3</sub> ), stikstofoxides (NO <sub>x</sub> ), zwaveloxiden (SO <sub>x</sub> )
Fijn stof	Elementair koolstof (C), stof met diameter < 10 µm (PM <sub>10</sub> ), stof met diameter < 2,5 µm (PM <sub>2,5</sub> )
Polyaromatische koolwaterstoffen (PAK's)	Benzo(a)pyreen (B(a)P), benzo(b)fluorantheen (B(b)Flu), benzo(k)fluorantheen (B(k)Flu), indeno(1,2,3-cd)pyreen (IP)
Persistente Organische Polluenten (POP's)	Dioxines (PCDD-F), hexachloorbenzeen (HCBz), polychloorbifenyl (PCB t)
Zware metalen	Arseen (As), Cadmium (Cd), Chroom (Cr), Koper (Cu), Kwik (Hg), Lood (Pb), Nikkel (Ni), Selenium (Se), Zink (Zn)

Verder worden ook verschillende bouwjaren weergegeven voor de installaties op aardgas, stookolie en hout. Nieuwere installaties stoten in de regel lagere concentraties uit. Tot slot wordt voor de installaties op fossiele brandstoffen aangegeven of de installaties centraal of decentraal zijn. Decentrale installaties maken geen gebruik van een centrale ketel met warmte transporterende buizen naar verschillende kamers, maar produceren de warmte in de ruimtes zelf. In Vlaanderen wordt minder dan 16% van de wooneenheden decentraal verwarmd, aannemende dat alle houtinstallaties behalve de houtketel decentraal zijn (VITO, 2017a).

### Overzicht van databronnen

In tabel 50 wordt een overzicht gegeven van de gevonden databronnen met emissiefactoren van huishoudelijke verbrandingsinstallaties. Het gaat hier om Tier 2-emissies, waarbij tenminste de brandstof en het installatietype worden gespecificeerd.



tabel 50: overzicht van emissiefactordata van huishoudelijke verwarmingsinstallaties uit verschillende bronnen

Bron	Brandstoffen	Houttypen	Installatietypen	Emissiestoffen*	Vermogens	Leeftijden
CE Delft (2016)	Aardwarmte, biomassa, aardgas, afval	-	Warmtenet (met warmte uit STEG, AVI, geothermie, biocentrale, restwarmte)	CO <sub>2</sub>	-	-
EMEP/EEA (2017a)	Kolen, gasolie, aardgas, vaste brandstof (niet- biomassa), hout, houtafval	-	Verbeterde kolenkachel, gastubine, zuigermotor, kachel, haarden, sauna's en buitenverwarming, verbeterde kachels en ketels, energie- efficiënte kachels, open haarden, pelletkachels en ketels, conventionele kachels	As, C, B(a)P, B(b)Flu, B(k)Flu, Cd, CO, Cr, Cu, HCB, Hg, IP, NH <sub>3</sub> , Ni, NMVOS, NO <sub>x</sub> , Pb, PCB, PCDD-F, PM <sub>10</sub> , PM <sub>2,5</sub> , Se, SO <sub>x</sub> , totaal stof, Zn	< 50 kW, 50 kW – 1 MW, 1 MW – 50 MW	-
IPCC (2006)	Verscheidene fossiele brandstoffen, biodiesel, biobenzine, stortgas, gemeentelijk afval, hout/houtafval	-	Kachels, ketels en fornuizen, katalytische kachel, conventionele kachel, haard, verbrander, non-katalytische kachel, houtputoven	CO <sub>2</sub> , CO, CH <sub>4</sub> , NO <sub>x</sub> , N <sub>2</sub> O, NMVOS	-	-
TNO (2014)	Aardgas	-	HR-ketel, VR-ketel, CR-ketel, gaskachel	NO <sub>x</sub>	-	Aanschafjaar 2002-2006, nieuw in 2009, prognose 2018
TNO (2016)	Hout	-	Conventionele houtkachel, verbeterde houtkachel, DINplus- houtkachel, open haard	Antraceen, Benzo-.. (vijf typen), Cd, C, CH <sub>4</sub> , chryseen, CO, CO <sub>2</sub> , fenantreen, fluorantheen, grof stof, IP, Cu, Hg, KWS*, Pb, N <sub>2</sub> O, naftaleen, NMVOS, NO <sub>x</sub> , PAK's, PCDD-F, PM <sub>10</sub> , PM <sub>2,5</sub> , SO <sub>2</sub> , Zn	-	-
VITO (2011)	Hout	Pellets, briketten, blokken, snippers, biomassa, natuurlijk hout, houtafval, behandeld hout, onbehandeld hout, beuk/berk	Ketel, automatische ketel, handmatige ketel, stukhoutketel, open haard, gesloten haard, kachel, moderne kachel, katalytische kachel, pelletkachel, cassette, accumulator	CO, SO <sub>2</sub> , NO <sub>x</sub> , NH <sub>3</sub> , N <sub>2</sub> O, NMVOS, VOS* (C <sub>3</sub> H <sub>8</sub> ), TOC*, CH <sub>4</sub> , CO <sub>2</sub> , PM, PM <sub>10</sub> , PM <sub>2,5</sub> , Hg, Cd, Pb, As, Cr, Cu, Ni, Se, Zn, PCB's, PAK's, B(b)Flu, B(k)Flu, B(a)P, IP, PCDD-F	< 50 kW, > 50 kW, < 1-5 MW (niet- huishoudens), vaak niet aan- geduid	-

////////////////////////////////////





De emissiefactordata van VMM (2017a) zijn beschreven in de vorige sectie. Deze data zijn afkomstig uit de IPCC guidelines 2006 (IPCC, 2006), en de emissiefactoren van verontreinigende stoffen komen voornamelijk uit de EMEP/EEA air pollutant emission inventory guidebook 2016 (update juli 2017)<sup>44</sup> (EMEP/EEA, 2017a). Deze databronnen hebben wij ook opgezocht. EMEP/EEA (2017a) bevat nieuwe data t.o.v. de waarden in VMM (2017a)<sup>45</sup>. Ook geeft EMEP/EEA (2017a) betrouwbaarheidsintervallen voor de emissiefactoren, en zijn de data uitgebreid gedocumenteerd (EMEP/EEA, 2017b).

Een vergelijking van de verschillende databronnen levert het volgende op:

*Brandstoffen:* Behalve VMM (2017a), EMEP/EEA (2017a) en IPCC (2006) omvat geen van gevonden bronnen de volle breedte aan brandstoftypen. TNO (2016), VITO (2011) en VMM en Universiteit Antwerpen (2018) richten zich op hout; TNO (2014) op aardgas.

*Houttypen:* Naast VMM (2017a) onderscheiden alleen VITO (2011) en VMM en Universiteit Antwerpen (2018) verschillende houttypen. In deze laatste bron worden ook verschillende houtsoorten, zoals beuk, eik en vurenhout, gespecificeerd.

*Installatietypen:* Alle bronnen onderscheiden verschillende installatietypen, maar de benamingen lopen uiteen, wat het lastiger maakt om emissiefactoren met elkaar te vergelijken.

*Emissiestoffen:* IPCC (2006) beperkt zich tot broeikasgassen; EMEP/EEA (2017a) juist tot andere emissiestoffen. Dit komt samen in VMM (2017a). CE Delft (2016) geeft echter alleen CO<sub>2</sub>-emissiefactoren, TNO (2014) alleen NO<sub>x</sub>-factoren, en VMM en Universiteit Antwerpen (2018) vier (voor houtverbranding belangrijke) schadelijke stoffen. TNO (2016) en VITO (2011) geven beide een lange lijst van emissiestoffen, die voor een groot deel overeenkomt met die van VMM (2017a).

*Vermogens:* VMM (2017a) maakt een onderscheid tussen installaties kleiner en groter dan 50 kW<sub>th</sub>. EMEP/EEA (2017a) geeft emissiedata voor huishoudelijke installaties (categorie 1.A.4.b), maar ook data voor 'niet-huishoudelijke' installaties (Categorie 1.A.4.a), en collectieve verwarming voor huishoudens valt hier onder. De volgende vermogensklassen worden gebruikt: kleiner dan 50 kW (huishoudelijk), tussen 50 kW en 1 MW, en tussen 1 MW en 50 MW ('niet huishoudelijk') (EMEP/EEA,2017b). Er wordt echter niet bij de emissiefactordata zelf aangegeven om welke vermogensklasse het gaat.

*Bouwjaren:* Behalve VMM (2017a) geeft alleen TNO (2014) emissiefactoren voor verschillende aanschafjaren (maar dit is dus alleen voor NO<sub>x</sub> bij aardgasgestookte installaties).

De vergelijking van emissiefactoren uit verschillende bronnen wordt bemoeilijkt doordat beschikbare data zijn gespecificeerd voor een beperkte groep brandstoffen en emissiestoffen, en leeftijden van installaties vaak niet worden gegeven. Bovendien zijn er verschillende wijzen waarop emissiefactoren kunnen worden gemeten en berekend. Metingen kunnen sterk variëren als gevolg van verschillende meetcondities en installatiekenmerken<sup>46</sup>. In berekeningen kunnen verschillende aannamen worden gedaan. Emissiefactoren in de EMEP/EEA Guidebook 2016 (update juli 2017) worden berekend op basis van de standaard emissieconcentraties en de specifieke theoretische rookgasvolumes voor de verschillende brandstoffen, waardoor meetonnauwkeurigheden worden voorkomen (EMEP/EEA, 2017b). In de praktijk zullen de emissiefactoren afwijken van de berekende waarden, omdat ze afhankelijk zijn van o.a. de leeftijd van de installatie, stookwijze en kwaliteit van de brandstof.

---

<sup>44</sup> Dit zullen we in het vervolg van dit document afkorten tot 'EMEP/EEA guidebook 2016'.

<sup>45</sup> De VMM heeft haar data al geüpdatet op basis van de EMEP/EEA guidebook 2016 update van juli 2017.

<sup>46</sup> Emissiefactoren zijn vaak gemiddelden. De helft van de betreffende installaties zal meestal een hogere emissiewaarde hebben dan de emissiefactor, en de andere helft een lagere waarde (Nussbaumer et al., 2008) (Dit gaat dus om installaties van hetzelfde type, met gebruik van soortgelijke meetmethoden).

Vergelijking van de emissiefactoren voor open haard en houtkachels in VITO (2011), TNO (2016) en VMM (2017a), die zich op hun beurt ook weer op verschillende bronnen baseren, bevestigt dat waardes sterk uiteen kunnen lopen (soms wel met een factor 100 verschil, maar vaker met een factor 2-5). Zie tabel 51, waarin de emissiestoffen staan die in alle drie de bronnen voorkomen.

De verschillen worden voor een groot deel veroorzaakt door het meenemen van verschillende typen kachels en open haarden, bouwjaren en gebruikte houttypen<sup>47</sup>. Ook technologische ontwikkeling van installaties kan een rol spelen, omdat emissiefactorwaarden in verschillende jaren bepaald zijn. Bij fijn stof is niet altijd duidelijk of bij de metingen is rekening gehouden met condenseerbare verontreinigingen (TNO, 2016).

tabel 51: vergelijking van emissiefactoren in kg/PJ voor open haard en houtkachels in verschillende bronnen. De brede ranges worden veroorzaakt door variaties in metingen, veroorzaakt door verschillende meetcondities en installatiekenmerken.

Emissiestof	VITO (2011)		TNO (2016)		VMM (2017a)	
	Kachel*	Open haard*	Kachel**	Open haard	Kachel***	Open haard***
B(a)P	5,9-1.713	117-180	59-116	65	10-121	121
B(b)Flu	6,9-523	180-260	54-112	65	16-111	111
B(k)Flu	5,4-918	117	30-58	32	5-42	42
Cd	0,6-2,5	0,6-2,5	3,2	3,2	13	13
PCDD-F	0,000006-0,0102	0,00001-0,0294	0,00017	0,0016	0,0001-0,0097	0,0008-0,0097
N2O	4.000-18.500	9.000	4.000	4.000	0	9.000
IP	5,4-882	59	30-58	32	4-71	71
CO <sub>2</sub>	95.000.000-132.000.000	95.000.000-132.000.000	112.000.000	112.000.000	112.000.000	112.000.000
CO	275.000-7.212.000	4.400.000-7.212.000	2.900.000-6.450.000	3.226.000	300.000-4.000.000	300.000-4.000.000
Cu	4,8-11,2	4,8-11,2	22	22	6	6
Hg	0,4	0,4	1,9	1,9	0,56	0,56
Pb	24-56	24-56	4,7	4,7	27	27
CH <sub>4</sub>	259.000-2.190.000	190.000	300.000	300.000	497.000	0
NMVOS	720.000-1.500.000	720.000-1.500.000	252.000-774.000	1.290.000	10.000-600.000	600.000
NO <sub>x</sub>	29.000-118.000	50.000-87.500	129.000	77.000	50.000-95.000	50.000
PM <sub>10</sub>	70.000-1.450.000	300.000-1.156.000	52.000-194.000	161.000	52.000-760.000	840.000
PM <sub>2,5</sub>	235.000-529.000	850.000	49.000-183.000	153.000	52.000-740.000	820.000
Zn	60-250	60-250	46	46	512	512
SO <sub>x</sub>	5.900-20.000	10.000-12.500	13.000	13.000	11.000	11.000

\*: Hier staat het bereik over verschillende waardes in het literatuuroverzicht van VITO (2011).

\*\* : Hier staat het bereik over drie typen houtkachels: conventioneel, verbeterd en DINplus. TNO (2016) geeft verder enkele waarden.

\*\*\*: Hier worden de minimum en maximum waarde gegeven (indien deze verschillen) over verschillende houttypen, houtbehandelingswijzen en bouwjaren.

<sup>47</sup> Deze informatie werd veelal niet gepresenteerd in VITO (2011) en TNO (2016), waardoor een gedetailleerdere vergelijking niet mogelijk was.

## Houtkachels

De spreiding van emissiewaarden van handmatig aangestuurde houtverbrandingseenheden is een stuk groter dan bij automatische eenheden, en de emissies kunnen twee keer zo hoog liggen als bij optimale aansturing, en zelfs tien keer zo hoog bij verkeerde aansturing (Nussbaumer et al., 2008). Verder is voor fijn stofuitstoot van belang of houtstookinstallaties filters of andere afvangsystemen hebben. Anorganische fijn stofdeeltjes kunnen goed worden verwijderd met behulp van bijvoorbeeld electrostatic precipitators of fabric filters (Nussbaumer, 2017). Bij houtkachels kan een fijn stoffilter tot wel 95% van het fijn stof afvangen<sup>48</sup>.

Fijn stof is een belangrijke emissiestof bij houtverbrandingsinstallaties (naast o.a. PAK's en dioxines). Het is schadelijk voor de gezondheid, en deze installaties hebben een hoge fijn stofuitstoot. Onderzoek van Thomas Nussbaumer voor de IEA Bioenergy Task 32 naar emissies van biomassaverbranding richt zich specifiek op emissies van fijn stof, waarbinnen een onderscheid kan worden gemaakt tussen roet, teer en zouten, en tussen primaire en secundaire aerosolen (Nussbaumer, 2017; interview Jaap Koppejan<sup>49</sup>). Dit onderscheid wordt in beschikbare emissiefactordata niet gemaakt.

## Collectieve verwarming

Ook collectieve verwarming wordt in deze studie meegenomen. Circa 15% van de wooneenheden in Vlaanderen wordt verwarmd door een installatie groter dan 15 kW (VITO, 2017a). In collectieve verwarmingsinstallaties wordt in Vlaanderen veelal aardgas of stookolie gebruikt. Voor blokverwarming kan ook hout als brandstof worden gebruikt, maar dit gebeurt nog niet of nauwelijks. De warmtevraag van grote gebouwen zoals flatgebouwen, bejaardentehuizen en openbare gebouwen ligt tussen de 50 en 800 kW (Meulman en Koppejan, 2002). Dit betekent dat bij de data van EMEP/EEA (2017a) de voor collectieve verwarming relevante vermogensklasse die tussen 50 kW en 1 MW is. Dit wordt echter niet in de data zelf gespecificeerd. Nadere bestudering van EMEP/EEA (2017b) leert dat alleen voor geavanceerde kolenkachels, middelgrote kolenketels en houtketels er emissiefactoren in deze vermogensklasse worden gegeven<sup>50</sup>. Voor andere installatie- en brandstoftypen in de categorie 'niet-huishoudelijk' ligt het vermogen tussen 50 kW en 50 MW, waardoor de emissiefactoren niet specifiek van toepassing zijn op collectieve verwarming voor huishoudens.

## Emissiefactoren elektriciteit

Ook elektriciteit-gebaseerde verwarmingsinstallaties worden meegenomen in de studie. Hieronder verstaan we niet alleen weerstandsverwarming en warmtepompen, maar ook warmtenetten, aangezien de winning van aardwarmte en de transport van warmte naar de huishoudens met behulp van elektrische pompen plaatsvindt. De directe emissies van elektriciteitverbruikende warmtetechnieken zijn nul; er wordt immers geen brandstof verbrand. De indirecte emissies zijn de emissies die vrijkomen bij de elektriciteitsproductie. Om deze te bepalen moet rekening worden gehouden met de elektriciteitsproductiemix van België.

In de Ecoinvent-database in SimaPro<sup>51</sup> staan de gemiddelde aandelen van productietechnologieën voor België, gebaseerd op statistieken uit 2014 (Ecoinvent, 2018)<sup>52</sup>. Zie tabel 52. We nemen aan dat deze

---

<sup>48</sup> [Stoken met hout? Duurzaam of niet?](#)

<sup>49</sup> Interview met Jaap Koppejan, Procède BV en IEA Bioenergy Task 32, 14 juni 2018.

<sup>50</sup> Deze data staan in tabellen in EMEP/EEA (2017b), maar ontbreken vreemd genoeg in EMEP/EEA (2017a).

<sup>51</sup> SimaPro 8.5.2.0 Multi user, Pré Consultants, 2017. SimaPro is een LCA-softwarepakket, waarin o.a. de Ecoinvent-database is geïntegreerd.

<sup>52</sup> Aandelen in percentages van de nationale elektriciteitsproductie: steenkool 3,7%; waterkracht 2,7%; aardgas 26,1%; nucleair 56,3%; wind 8,1%; biomassa 3,1%. Dit omvat een gemiddelde over meerdere jaren. De emissiewaarden per productietechnologie gaan uit van internationale gemiddelde energie-efficiënties van opwekkingseenheden.

aandelen ook voor 2015 gelden, en hebben deze gebruikt om de emissiefactoren van elektriciteit in België in 2015 te bepalen. Met SimaPro worden normaliter de volledige ketenemissies berekend. Om hier alleen de emissies die vrijkomen bij de elektriciteitsproductie te berekenen is een aangepaste analyse uitgevoerd. Voor de broeikasgassen is, conform de afspraken in het EU ETS, het biogene deel van de uitstoot (d.w.z., de broeikasgasemissies bij verbranding van biomassa) niet in de emissiefactoren opgenomen. De broeikasgasemissies verbonden aan de transformatie van land zijn ook niet meegenomen, omdat dit indirecte emissies zijn.

De emissiefactoren van elektriciteit geproduceerd in België in 2030 zijn ingeschat met SimaPro op basis van een verwachting van de elektriciteitsproductiemix in België in 2030 (zie tabel 52). Deze verwachting baseren we op een simulatiestudie<sup>53</sup> van de ontwikkeling van de elektriciteitsmarkt in België door Federaal Planbureau (2017). Omdat in die studie is uitgegaan van een volledige uitfasering van nucleaire energie (conform de ambitie van de regering<sup>54</sup>), komt het aandeel nucleair op 0% in 2030. Verder nemen we aan dat de percentages ‘hydro – pumped storage’, ‘hydro – run of river’ en ‘wood chips – CHP’ hetzelfde zijn als in 2015, dat het aandeel van aardgas wordt onderverdeeld over verschillende typen centrales in dezelfde verhouding als in 2015, en dat het aandeel windenergie wordt onderverdeeld over onshore en offshore op basis van verwachte totale geïnstalleerde vermogens in 2030 (Federaal Planbureau, 2017; Vlaamse Regering 2018).

tabel 52: verwachte aandelen van technologieën in elektriciteitsproductie in België in 2030 (Federaal Planbureau 2017; eigen aannames)

Technologie	Aandeel - 2015	Aandeel - 2030
Steenkool	3,7%	0,5%
Waterkracht - pumped storage	2,2%	2,2%
Waterkracht - run-of-river	0,5%	0,5%
Aardgas - combined cycle power plant	13,1%	28,9%
Aardgas - conventionele centrale	3,0%	6,7%
Nucleair - pressure water reactor	56,3%	0,0%
Olie	0,0%	0,0%
Wind - onshore	4,9%	8,8%
Wind - offshore	3,2%	13,2%
Biogas - WKK - gasmotor	0,5%	8,4%
Aardgas - WKK - combined cycle power plant – 400 MWel	3,0%	6,6%
Aardgas – WKK-conventionele centrale – 100 MWel	7,0%	15,5%
Olie - WKK	0,0%	0,0%
Houtsnippen - WKK – 6.667 kW - state-of-the-art 2014	2,6%	2,6%
Zon-PV <sup>55</sup>	0,0%	6,0%
<b>Totaal</b>	<b>100,0%</b>	<b>100,0%</b>

<sup>53</sup> Dit omvat een simulatie met het PRIMES-model, een veelomvattend model van het Europese energiesysteem, waarin techno-economische kenmerken van productietechnologieën en het bij elkaar komen van vraag en aanbod in de elektriciteitsmarkt over de tijd worden gemodelleerd (Federaal Planbureau, 2017).

<sup>54</sup> <https://nl.wikipedia.org/wiki/Kernuitstap>

<sup>55</sup> Zon-PV staat niet in de Ecoinvent-database voor België in 2014; in werkelijkheid was het aandeel zon-PV ca. 3,8%.

De emissiefactoren van elektriciteit voor België in 2015 en 2030 zijn weergegeven in tabel 57.

De emissiefactoren voor 2030 zijn voor de meeste emissiestoffen (tot 86,5%) lager dan die van 2015, maar voor NO<sub>x</sub>, cadmium, CO<sub>2</sub>, CO, methaan, NMVOS en N<sub>2</sub>O zijn de emissiefactoren 23-101% hoger.

**Keuze emissiefactoren voor deze studie**

Op basis van het bovenstaande overzicht van emissiefactordata concluderen we dat de data van VMM (2017a) het meest volledig, gedetailleerd en recent is voor wat betreft alle installatietypen en energiedragers, en daarom zal worden gebruikt in deze studie.

In tabel 53 t/m tabel 57 worden de emissiefactoren voor de directe emissies (in kilogram per petajoule) gegeven die we zullen gebruiken. In de digitale bijlage is de volledige lijst met gebruikte emissiefactoren te vinden.









tabel 55: emissiefactoren voor directe emissies van hout – gemiddelden\* voor verschillende houttypen (kg/PJ) (VMM, 2017a)

	Briketten	Houtafval	Houtkrullen	Pellets	Snoeihout	Stukhout
Ammoniak	55.100	55.100	55.100	30.200	55.100	55.100
Arseen	0,19	0,19	0,19	0,19	0,19	0,19
Benzo(a)pyreen	65,5	65,5	65,5	43,3	65,5	65,5
Cadmium	13,0	13,0	13,0	13,0	13,0	13,0
Chroom	23,0	23,0	23,0	23,0	23,0	23,0
Dioxines	0,00040	0,00169	0,00040	0,00031	0,00040	0,00040
Distikstof(mono)oxide	1.800	1.800	1.800	1.800	1.800	1.800
Elementair koolstof	45.328	45.328	45.328	25.180	45.328	45.328
Koolstofdioxide	112.000.000	112.000.000	112.000.000	112.000.000	112.000.000	112.000.000
Koolstofmonoxide	2.951.400	2.951.400	2.951.400	855.000	2.951.400	2.951.400
Koper	6,00	6,00	6,00	6,00	6,00	6,00
Kwik	0,56	0,56	0,56	0,56	0,56	0,56
Lood	27,0	27,0	27,0	27,0	27,0	27,0
Methaan	397.600	397.600	397.600	397.600	397.600	397.600
NMVOS	395.000	395.000	395.000	187.000	395.000	395.000
Nikkel	2,00	2,00	2,00	2,00	2,00	2,00
Selenium	0,50	0,50	0,50	0,50	0,50	0,50
Stikstofoxides	75.500	75.500	75.500	71.000	75.500	75.500
Fijn stof met diameter < 10 µm	384.250	384.250	384.250	286.000	384.250	384.250
Fijn stof met diameter < 2,5 µm	375.100	375.100	375.100	280.000	375.100	375.100
Zink	512	512	512	512	512	512
Zwavel dioxide	11.000	11.000	11.000	11.000	11.000	11.000

\*: Dit zijn niet gewogen gemiddelden, maar zuivere gemiddelden. De volledige lijst met emissiefactoren is te vinden in de digitale bijlage.







## Informatie over de meegenomen end-points:

Bron	Impacts op endpointniveaus die worden onderscheiden									Toepasbaarheid op Vlaanderen
	mortaliteit	morbiditeit	IQ	ecosysteemdienste	biodiversiteit	gebouwen	materialen	grondstoffen	overig	
VITO (2010)	ja	ja	nee	ja, landbouw (granen, aardappelen, suikerbiet en erwten)	ja	ja	ja	nee	volksgezondheid andere EU landen	Ja, gericht op Vlaanderen en buurregio's. Niet voor specifieke locaties of trajecten, maar voor hele sector in Vlaanderen.
Ricardo-AEA (2014)	ja	ja	nee	ja	ja	ja	ja	nee	Geluid, congestie, ongevallen, infrastructurele belasting, overige milieu-impacts.	Gaat uit van EU-gemiddelden
CE Delft (2017)	ja	ja	ja	ja, diverse landbouwgewassen	ja	ja	ja	wel behandeld maar niet gekwantificeerd	Geluid	Niet zonermeer, gaat uit van Nl-se waarden. Vanwege transparantie is omrekening Vlaanderen mogelijk.
UBA (2012)	ja	ja	nee	Effecten op natuur meegenomen bij verkeersingrepen (weg)	ja	ja	ja	nee	Omrekeningen naar verkeersmodi en brandstoffen	Niet zondermeer
EnvEcon (2015)	ja	ja	nee	Onduidelijk	ja	nee	nee	nee		Nee

## Meegenomen stoffen:

Het volgende schema geeft een overzicht voor welke stoffen, die relevant zijn voor dit onderzoek, er milieuschadecosten zijn meegenomen in de diverse publicaties. Uit deze analyse blijkt dat de meeste stoffen zijn meegenomen in het CE Delft-onderzoek en de minste in het Ierse onderzoek van EnvEcon.

Bron	Beschikbaarheid cijfers																			Overig				
	PM2.5	PM10	Black	Nox	SO2	NH3	CO	PAKs	Dioxines	NMVOS	CO2	CH4	N2O	roet	As	Cd	CR	Cu	Hg		Pb	Ni	Se	Zn
VITO (2010)	ja	ja	nee	ja, excl. en incl. ozon	ja	ja	nee	nee	ja	ja	ja	ja	ja	nee	ja	ja	ja	nee	ja	ja	ja	nee	nee	Pmcoarse, SF6 en formaldehyde
Ricardo-AEA (2014)	ja	ja	nee	ja	ja	nee	ja	ja	nee	nee	ja	niet direct	niet direct	nee	ja	ja	ja	nee	ja	ja	ja	nee	nee	Onderscheid naar voertuigtipes (soort vervoer, brandstof, Euroklasse en bevolkingsdichtheid (rural, suburban en urban).
CE Delft (2017)	ja	ja	nee	ja	ja	ja	als benzo (a) pyreen	ja	ja	ja	ja	ja	ja	nee	ja	ja	ja	ja	ja	ja	ja	ja	ja	>2500 pollutants with emissions to air, water and soil
UBA (2012)	ja	ja	nee	ja	ja	nee	nee	nee	ja	ja	niet direct	niet direct	niet direct	nee	nee	nee	nee	nee	nee	nee	nee	nee	nee	
EnvEcon (2015)	ja	nee	nee	ja	ja	nee	nee	nee	nee	ja	nee	nee	nee	nee	nee	nee	nee	nee	nee	nee	nee	nee	nee	Resultaat is voorlopig, in toekomstig onderzoek kan nog worden gekeken naar de volgende organische verontreinigende stoffen en zware metalen voor taxatie; Benzeen, polycyclische aromatische koolwaterstoffen (PAK's), Dioxinen en Furanen, Kwik, Lood, Nikkel, Chroom, cadmium en arseen. Ook CH4 en koolwaterstoffen zijn niet meegenomen

////////////////////////////////////

## Een analyse van de overige kenmerken van de diverse studies:

Bron	Schadeschatting op basis van WHO (2013) studie	Differentiatie naar de hoogte van uitstoot en naar bevolkingsdichtheid?	Toepasbaar op zowel directe als indirecte emissies.	Ruimtelijke en tijdschalen van milieu-impacts die worden meegenomen in de cijfers?	Onzekerheidsmarges	Andere kenmerken	Waarde VOLY/DALY	Prijspeil
VITO (2010)	Nee	Ja, onderscheid tussen hoge schouwen, lage schouwen en verkeer (stad, platteland en snelweg). Blootstelling op basis van (Europese en lokale) bevolkingskaart en verwachte ontwikkeling hierin.	Nee, alleen directe emissies.	Kengetallen voor 2010 en 2020. Bij broeikasgasemissies jaren 2010, 2020, 2030, 2040 en 2050, zware metalen 2010. Cijfers voor Europa (EU-model). Aandacht voor waardering effecten in ontwikkelde v.s. ontwikkelingslanden.	Worden benoemd.	Structuur van het rapport is wat onduidelijk.	€ 44.379/yoll na chronische blootstelling, € 66.569/yoll (volwassenen en pasgeborenen)(omgerekend naar € 2009)	2009
Ricardo-AEA (2014)	Nee	Deels, bij luchtvervuilende stoffen aandacht voor relevante parameters als locatie (rural, suburban, urban), tijdstip (peak, off-peak, night-time), voertuigspecificaties (e.g. EURO-normering).	Belang van indirecte emissies wordt benoemd. Voor wegverkeer, railverkeer, binnen- en luchtvaart worden pre-combustion effecten op luchtvervuiling en klimaatverandering gerapporteerd.	Cijfers voor 2010. Alleen EU-impacts.	Onderzekerheden worden benoemd.		€ 6.3550 per YOLL (€ 52.000 in 2000 prijspeil)	2010
CE Delft (2017)	ja	alleen voor PM2.5, PM10, Nox en SO2.	Ja, maar geen apart cijfer voor elektriciteit (moet berekend worden)	Kengetallen voor 2015, en voor 2015,2020,2025,2030,2040,2050 voor broeikasgasemissies. Cijfers voor EU28 (verwacht juli 2018). Geen waardering effecten ontwikkelingslanden	Gekwantificeerd voor waardering. Andere onzekerheden worden benoemd		€50.000 voor onderwaarde, €70.000 centrale waarde en €110.000 bovenwaarde	2015
UBA (2012)	nee	Ja, er is een uitsplitsing ook naar kleinfeuring met schoorstenen van 3-20m hoogte mogelijk.	Ja, ook aparte waarden voor elektriciteit en andere brandstoffen	Kengetallen voor 2010. Broeikasgassen ook voor 2030 en 2050.	Worden benoemd maar niet gekwantificeerd.	Rapport alleen in Duitse beschikbaar.		
EnvEcon (2015)	ja, deels. Impact secundaire aerosolen en directe gezondheidsimpacts Nox niet meegenomen	wel naar bevolkingsdichtheid	Geen gegevens voor brandstoffen gegeven			Rapport is vaag, er staat geen vermelding van gebruikte VOLY en andere waarderingen, geen informatie over CRFs die zijn meegenomen, ook de eco-metrische relatie tussen emissies en concentraties is niet gegeven. Interessant is dat de biodiversiteitsimpacts van NMVOS zijn gekwantificeerd dit in t Handboek Milieuprijzen.		

## bijlage 4 Extra uitwerkingen milieuschadetekosten

### Black carbon

Black Carbon (BC, ook wel elementair carbon (EC) of roet genoemd) kent een gezondheids- en een klimaateffect. Het gezondheidseffect is onderzocht in WHO (2012) door middel van een systematische literatuurreview. WHO (2012) geeft aan dat er voldoende bewijs is in epidemiologische studies voor een verband tussen dagelijkse variaties in roetconcentraties met korte termijn veranderingen in de gezondheid. Onderzoek naar gezondheid op de korte termijn effecten suggereren ook dat BC een betere indicator is voor schadelijke deeltjesvormige stoffen uit verbrandingsbronnen dan ongedifferentieerde deeltjes (PM)-massa, maar dit geldt niet voor de langere termijn. E.a. betekent dat BC morbiditeit beter voorspelt dan  $PM_{2,5}$ , maar niet mortaliteit. Een praktisch probleem daarbij is dat de gezondheidseffecten van de emissies van BC moeilijk te scheiden zijn van de gezondheidseffecten van  $PM_{2,5}$ . Men zal dus moeten kiezen tussen hetzij het bepalen van de gezondheidseffecten aan de hand van Black Carbon, of het bepalen van de gezondheidseffecten aan de hand van  $PM_{2,5}$ . Dit zal mede afhangen van het aandeel black-carbon ten opzichte van  $PM_{2,5}$ -emissies. Op basis van WHO (2012) lijkt een Relative Risk voor een all-cause mortality van 1.05 tot 1.06 aannemelijk voor black carbon emissies. De toegepaste RR voor  $PM_{2,5}$ -emissies in deze studie bedraagt 1.006 – een factor 10 lager. We stellen voor om in de huidige studie deze verhouding te gebruiken. Dit betekent dat als de emissies van EC kleiner zijn dan 10% van de emissies van  $PM_{2,5}$ , we de schadelijkheid van de rookgassen bepalen aan de hand van de emissies van  $PM_{2,5}$ . Als de emissies van EC groter zijn dan 10% van de emissies van  $PM_{2,5}$  wordt de schadelijkheid van de extra emissies van EC met een RR van 1.06 bepaald. De factor waarmee de mortaliteit wordt opgehoogd wordt ook gebruikt om de morbiditeits-effecten mee op te hogen<sup>56</sup>. In de praktijk voor residentiële woningverwarming betekent dit dat de schadelijkheid van de emissies van houtkachels met een additionele component voor de black carbon worden opgehoogd.

Deze waardering is niet gedifferentieerd tussen stad en platteland omdat informatie over het verschil in schadelijkheid tussen stad en platteland niet beschikbaar is. In deze studie is besloten om dit niet verder te onderzoeken omdat er geen verspreidingsmodellen beschikbaar zijn voor specifiek black carbon. Het is aannemelijk te veronderstellen dat de schadelijkheid van black carbon in de stedelijke omgeving met deze benadering wordt onderschat.

Black carbon heeft ook een klimaatimpact omdat het invloed heeft op de hoeveelheid zonlicht dat de aarde kan weerkaatsen. Doordat roet donker van kleur is absorbeert het meer zonlicht wat leidt tot een verdere temperatuurstijging. Dit is met name het geval wanneer de roetdeeltjes terecht komen op met sneeuw bedekte oppervlaktes, omdat met name deze oppervlaktes vrijwel al het zonlicht dat de aarde bereikt terugkaatsen. Er zijn ook emissies die een verkoelend effect hebben, zoals  $SO_2$ .  $SO_2$  heeft zowel een direct als indirect verkoelend effect; de directe verkoeling wordt veroorzaakt doordat  $SO_2$ -deeltjes zonlicht weerkaatsen, het indirecte verkoelingseffect resulteert uit het feit dat  $SO_2$ -emissies bijdragen aan wolkvorming, hetgeen leidt tot een verkoeling (Fuglestad, et al., 2010). Hoewel deze effecten belangrijk kunnen zijn voor het bepalen van de effecten van klimaatverandering is IPCC van mening dat de wetenschappelijke onzekerheid nog te groot is om deze emissies in een Global Warming Potential uit te drukken. Daarom is dat hier ook niet ondernomen.

---

<sup>56</sup> Op basis van WHO (2012) zou men kunnen concluderen dat een lagere factor (bijvoorbeeld 5) kan volstaan voor het bepalen van de morbiditeitsimpacts. We wijzen er echter op dat de standaarddeviatie van de morbiditeitsimpacts groter is dan die van de mortaliteitsimpacts. Daarom is eenzelfde factor te hanteren voor morbiditeit en mortaliteit met het oogpunt op prudentie goed te verdedigen.





Core Endpoints	pollutant	risk group (RG)	RGF value	Age Group (AG)	AGF value	Bevolkingsgroei	CRF [1/ug/m3]	phys. Impact per person per ug per m3 [1/ug/m3]	unit
Primary and SIA < 2.5 i.e. Particle < 2,5 um									
Life expectancy reduction - YOLL	PM2.5	all	1	Total	1	1	6.51E-04	6.51E-04	YOLL
netto Restricted activity days (netRADs)	PM2.5	all	1	MIX	1	1	9.59E-03	9.59E-03	days
Work loss days (WLD)	PM2.5	all	1	Adults_15	0.672	1	2.07E-02	1.39E-02	days
Minor restricted activity days (MRAD)	PM2.5	all	1	Adults_18	0.64	1	5.77E-02	3.69E-02	days
Primary and SIA < 10 i.e. Particle < 10 um									
Increased mortality risk (infants)	PM10	infants	0.0019	Total	0.009	1	4.00E-03	6.84E-08	cases
New cases of chronic bronchitis	PM10	all	1	Adults_27	0.74	1	2.65E-05	1.96E-05	cases
respiratory hospital admissions	PM10	all	1	Total	1	1	7.03E-06	7.03E-06	cases
cardiac hospital admissions	PM10	all	1	Total	1	1	4.34E-06	4.34E-06	cases
medication use/bronchodilator use	PM10	Children meeting PEACE criteria - EU average	0.2	Children_	0.112	1	1.80E-02	4.03E-04	cases
medication use/bronchodilator use	PM10	asthmatic	0.045	Adults_20	0.798	1	9.12E-02	3.27E-03	cases
lower respiratory symptoms (adult)	PM10	symptom	0.3	Adults_	0.83	1	1.30E-01	3.24E-02	days
lower respiratory symptoms (child)	PM10	all	1	Children_	0.1124	1	1.96E-01	2.20E-02	days
Ozone [ug/m3] - from SOMO35									
Increased mortality risk	SOMO35	baseline_	0.0099	Total (YOL	1	0.75	3.00E-04	2.23E-06	YOLL
respiratory hospital admissions	SOMO35	all	1	Elderly_65	0.158	1	1.25E-05	1.98E-06	cases
MRAD	SOMO35	all	1	Adults_18	0.64	1	1.15E-02	7.36E-03	days
medication use/bronchodilator use	SOMO35	asthmatic	0.045	Adults_20	0.798	1	7.30E-02	2.62E-03	cases
LRS excluding cough	SOMO35	all	1	Children_	0.112	1	1.60E-02	1.79E-03	days
Cough days	SOMO35	all	1	Children_	0.112	1	9.30E-02	1.04E-02	days

Noot: Verklarende variabelen: Risk Group, RG: group within the general population with a handicap; RGF value: share of RG within the general population; Age group, AG: groups distinguished by different age cohorts; AG value: share of different age cohorts; CRF: concentration-response function; YOLL: Years of Life Lost; RAD: Restricted Activity Days; SIA: Secondary Inorganic Aerosols; SOMO35: sum of ozone means over 35 ppb; WLD: Work Loss Days; MRAD: Minor Restricted Activity Days; LRS: lower respiratory symptoms.

#### Aanpassingen CRF functies en bevolkingsopbouw

Bovenstaande tabel geeft de gecombineerde impact weer van bevolkingsopbouw (AGF value) en CRF functies op de inschatting van de schadekosten ten gevolge van menselijke gezondheid.

De informatie uit NEEDS (2008) is echter verouderd door veranderende bevolkingssamenstelling en veranderende CRF-functies door nieuwe WHO-studies. Daarom hebben we deze tabel aangepast.

De bevolkingssamenstelling (AGF-value) is aangepast aan de hand van Statbel voor Vlaanderen.

Daaruit is ook geconcludeerd dat Vlaanderen in 2015 een 4% hogere bevolking had dan in de NEEDS Excel tool is gebruik (als waarde voor 2010). De diverse CRF-functies zijn kritisch nagelopen in CE Delft (2017a en 2018), hetgeen tot aanpassing van diverse waarden heeft geleid en toevoeging van de gezondheidsschade door NO<sub>2</sub>.

De aanpassingen staan vermeld in onderstaande tabel waarin alle donkergroene cellen de aanpassingen geven ten opzichte van de originele NEEDS-data.

////////////////////////////////////  
 //////////////////////////////////////

Core Endpoints	pollutant	risk group (RG)	RGF value	Age Group (AG)	AGF value	Bevolkin gsgroei	CRF [1/ug/m3 ]	phys. Impact per person per ug per m3 [1/ug/m3]	unit
Primary and SIA < 2.5 i.e. Particle < 2,5 um									
Life expectancy reduction - YOLL	PM2.5	all	1	Total	1	1.04	6.51E-04	6.77E-04	YOLL
netto Restricted activity days (netRADs)	PM2.5	all	1	MIX	1	1.04	9.59E-03	9.97E-03	days
Work loss days (WLD)	PM2.5	all	1	Beroepsb	0.692	1.04	2.07E-02	1.49E-02	days
Minor restricted activity days (MRAD)	PM2.5	all	1	Adults_18	0.606	1.04	5.77E-02	3.64E-02	days
Primary and SIA < 10 i.e. Particle < 10 um									
Increased mortality risk (infants)	PM10	infants	0.0019	Total	0.010	1.04	4.00E-03	7.82E-08	cases
New cases of chronic bronchitis	PM10	all	1	Adults_18	0.806	1.04	4.51E-05	3.78E-05	cases
respiratory hospital admissions	PM10	all	1	Total	1.000	1.04	7.03E-06	7.31E-06	cases
cardiac hospital admissions	PM10	all	1	Total	1.000	1.04	4.34E-06	4.51E-06	cases
medication use/bronchodilator use	PM10	Children with severe asthma	0.049	Children	0.111	1.04	4.76E-03	2.69E-05	cases
medication use/bronchodilator use	PM10	asthmatics	0.045	Adults_20	0.784	1.04	0.00E+00	0.00E+00	cases
lower respiratory symptoms (adult)	PM10	symptomatic_a	0.3	Adults	0.806	1.04	0.00E+00	0.00E+00	days
lower respiratory symptoms (child)	PM10	all	1	Children	0.111	1.04	0.00E+00	0.00E+00	days
Ozone [ug/m3] - from SOMO35									
Increased mortality risk	SOMO35	baseline_morta	0.0099	Total (YOL	1.000	1.04	1.80E-03	1.85E-05	YOLL
respiratory hospital admissions	SOMO35	all	1	Elderly_65	0.200	1.04	3.43E-05	7.12E-06	cases
MRAD	SOMO35	all	1	Adults_18	0.606	1.04	1.15E-02	7.25E-03	days
medication use/bronchodilator use	SOMO35	asthmatics	0.049	Adults_20	0.784	1.04	0.00E+00	0.00E+00	cases
LRS excluding cough	SOMO35	all	1	Children	0.111	1.04	0.00E+00	0.00E+00	days
Cough days	SOMO35	all	1	Children	0.111	1.04	0.00E+00	0.00E+00	days
NO2 [ug/m3]									
Increased mortality risk	NO2	>20ug/m3	0.34	Adults 30	0.665297	1.04	4.41E-04	1.04E-04	YOLL
Prevalence of bronchitis in asthmatic child	NO2	>20ug/m3	0.049	Children	0.163563	1.04	5.25E-03	4.38E-05	cases
Hospital admissions due to respiratory dise	NO2	all	1	Total	1	1.04	1.11E-05	1.16E-05	cases

Noot: Verklarende variabelen: Risk Group, RG: group within the general population with a handicap; RGF value: share of RG within the general population; Age group, AG: groups distinguished by different age cohorts; AG value: share of different age cohorts; CRF: concentration-response function; YOLL: Years of Life Lost; RAD: Restricted Activity Days; SIA: Secondary Inorganic Aerosols; SOMO35: sum of ozone means over 35 ppb; WLD: Work Loss Days; MRAD: Minor Restricted Activity Days; LRS: lower respiratory symptoms.

Deze veranderingen zijn divers: sommige factoren leiden tot een hogere waardering voor de gezondheidsschadetekosten van emissies, terwijl andere factoren leiden tot een lagere waardering voor de gezondheidsschadetekosten van emissies. De netto invloed van zowel de veranderende bevolkingssamenstelling als de netto invloed van de verandering in CRF-functies is weer te geven in de volgende tabel:

tabel 60: factoren gebruikt voor ophoging van de schadetekosten voor gezondheid uit NEEDS door veranderingen in de CRF, bevolkingssamenstelling en bevolkingssamenstelling

NH <sub>3</sub>	1.04
NMVOG	1.58
NO <sub>x</sub>	1.62
PPM <sub>co</sub>	1.00
PPM <sub>25</sub>	1.04
SO <sub>2</sub>	1.04

Hieruit blijkt dat vooral emissies van NMVOS en NO<sub>x</sub> leiden tot hogere schadelijkheid in vergelijking met de inschatting uit NEEDS (2008).

////////////////////////////////////  
 //////////////////////////////////////

### Aanpassing waardering

Vervolgens is de waardering ook aangepast aan het huidige prijspeil en de nieuwste inzichten in de waardering. Waardering voor elk van de impacts is opnieuw bekeken en geëvalueerd in het Handboek Milieuprijzen (CE Delft, 2017a). Daarbij is uitgegaan van een gemiddelde Europese waardering, conform de aanpak in NEEDS (2008) waarbij er geen individuele waardering per land kon worden vastgesteld. De voornaamste aanpassingen ten opzichte van de waardering die in NEEDS werd gehanteerd wordt weergegeven in de onderstaande tabel. Voor de argumentatie voor de gekozen waarden en alle precieze verschillen in aanpak verwijzen we naar CE Delft (2017a).

tabel 61: overzicht van prijzen gehanteerd in de berekening van milieuschadetekosten in NEEDS (2008) en de huidige studie gebaseerd op CE Delft (2017a)

	NEEDS waarde (prijzen 2000/2005)*	Gekozen in deze studie (prijspeil 2015)
Life expectancy reduction - YOLLchronic	40 000	70 000
Work loss days (WLD)	295	150
Increased mortality risk	60 000	70 000
IQ-points	8.600	17.500
respiratory hospital admissions	2.000	2.360
lower respiratory symptoms	38	49

\* Er is in het NEEDS-project waarschijnlijk geen eenduidig prijsniveau gekozen en de verschillende categorieën hebben waarschijnlijk een verschillend uitgangspunt qua prijsniveau. Zie CE Delft (2017a) voor een nadere beschouwing).

### Aanpassing schadelijkheid secundaire aerosolen en NMVOS

De verspreiding van emissies in het NEEDS-project is ingeschat door een atmosferische transportmodel van MET-NO voor het jaar 2010. De daadwerkelijke emissies in 2015 in België verschillen van die van waarmee de modellering is uitgevoerd. Tabel 62 geeft een overzicht van de verschillen:

tabel 62: emissies van luchtvervuilende emissies, aanname modellering MET-NO en actuele waarden

	2010 MET-NO	2015 Statbel	Reductie
NH <sub>3</sub>	79.387	65.407	-18%
NMVOG	150.390	119.266	-21%
NO <sub>x</sub>	232.194	189.665	-18%
PPM <sub>25</sub>	28.227	26.359	-7%
SO <sub>2</sub>	98.513	43.782	-56%

Hieruit blijkt dat NH<sub>3</sub> en NO<sub>x</sub> allebei met ongeveer 18% zijn gereduceerd, maar SO<sub>2</sub> veel sterker is gereduceerd. Om redenen toegelicht in hoofdstuk 2 betekent e.a. dat de relatieve schadelijkheid van met name SO<sub>2</sub>, en in mindere mate NO<sub>x</sub> toeneemt omdat de reductie in NH<sub>3</sub> niet meer dan evenredig heeft plaatsgevonden.

Aan de hand van de NEEDS-resultaten van verschillende emissiescenario's is een inschatting gemaakt wat dit zou betekenen voor de schadetekosten. Tabel 63 geeft het overzicht van de correctiefactoren die zijn doorgevoerd voor de diverse emissies die zijn gebaseerd op de modellering van diverse emissiescenario's met MET-NO.



tabel 63: inschatting schadelijkheid van emissies op het thema menselijke gezondheid in vergelijking met de NEEDS-modelresultaten voor 2010

NH <sub>3</sub>	80%
NMVOOC	55%
NO <sub>x</sub>	119%
PPM <sub>CO</sub>	100%
PPM <sub>25</sub>	100%
SO <sub>2</sub>	133%

Dit laat zien dat de schadelijkheid van SO<sub>2</sub> en NO<sub>x</sub> toeneemt doordat NH<sub>3</sub> niet meer dan evenredig is afgenomen. Tegelijkertijd laat het ook zien dat de schadelijkheid van NH<sub>3</sub> afneemt doordat er minder NO<sub>x</sub> en SO<sub>2</sub> is om mee te reageren. De schadelijkheid van NMVOS neemt af doordat de emissies minder vaak boven de grenswaarden van 35 ppm zich bevinden.



## bijlage 5 Rendementen houtgestookte installaties

Voor gas, stookolie, steenkolen en LPG/propana/butaan is er door VITO (2017a) een analyse gedaan op de rendementen. Deze zijn meegenomen bij het toedelen van het totale energieverbruik over de diverse toestellen. Voor hout ontbreekt een dergelijke analyse. Daarom is voor hout een aparte berekening opgezet conform de methodiek uit VITO (2017a).

In VITO (2017a) wordt het installatierendement gedefinieerd als het product van vier rendementen: het productierendement, het distributierendement, het afgifterendement en het regelrendement (VITO, 2017a). Volgens de omschrijving van VITO (2017a) is het productierendement de verhouding tussen de nuttige warmte afgegeven door de ketel aan de water/luchtkring en de energie die hiertoe werd verbruikt ter hoogte van de brander. Het distributierendement houdt rekening met de warmteverliezen langs de leidingen van het verwarmingscircuit. Het is de verhouding van de warmte die aan de afgifte-elementen wordt geleverd ten opzichte van de warmte die nuttig door de ketel werd geleverd. Het afgifterendement houdt rekening met warmteverliezen door temperatuurstratificatie in de leefruimte en met verliezen langs de achterzijde van afgifte-elementen die zich voor buitenwanden bevinden. Het is de verhouding van de warmte die nuttig aan de kamer wordt afgegeven ten opzichte van de warmte geleverd aan de afgifte-elementen. Het regelrendement tenslotte houdt rekening met het feit dat een regelsysteem in de praktijk nooit perfect de warmte op de juiste plaats en het juiste tijdstip voorziet. Het is de verhouding tussen de warmte die finaal en netto nuttig is voor het realiseren van de comfortcondities en de nuttige warmte die door de afgifte-elementen in de kamers terecht komt.

Voor hout hebben we een soortgelijke analyse ondernomen. Gebaseerd op Procédé Biomass (2018), VITO (2017a) en expertinschattingen<sup>57</sup> komen we tot een installatierendement voor houtinstallaties zoals gepresenteerd in tabel 64 waarbij het distributierendement van kachels gelijk is aan een decentraal gastoestel en voor ketels gelijk aan een centraal gasgestookte verwarmingseenheid zoals in VITO (2017a) bepaald. Het regelrendement is gelijk aan kolengestookte eenheden. Het afgifterendement is voor alle kachels gesteld op 95%, terwijl het productierendement is vastgesteld op basis van Procédé Biomass (2018).

tabel 64: rendementen van houtverbrandingsinstallaties

Installatietype	Productie- rendement	Distributie- rendement	Afgifte- rendement	Regel- rendement	Installatie- rendement
Open haard	15%	100%	95%	70%	10%
Klassieke houtkachel	45%	100%	95%	70%	30%
Kachel 2000-2013	70%	100%	95%	70%	47%
Moderne houtkachel	80%	100%	95%	70%	53%
Ketel	87%	95%	95%	95%	75%
Cassette	65%	100%	95%	70%	43%
Speksteen <span>kachel</span>	87%	100%	95%	70%	58%

<sup>57</sup> Sander de Bruyn, CE Delft, november 2018.



